

BİLDİRİ KİTABI

SÖZLÜ BİLDİRİLER

SS01 İDİYO PATİK EPİRETİNAL MEMBRANLARDA ÇEŞİTLİ PARAMETRELERİN GÖRME KESKİNLİĞİ ÜZERİNE ETKİLERİNİN OPTİK KOHORENS TOMOGRAFİ İLE İNCELENMESİ

Sıla Doğan, Seda Karaca Adıyeke
TC SBÜ İzmir Tepecik SUAM

AMAÇ: Epiretinal membran retinal yüzeyde fibroselüler zar oluşumu ile karakterize vitreoretinal arayüzey hastalığıdır. Literatürde epiretinal membranlarda görme keskinliğine (GK) etki edebilecek parametreler ve çeşitli retinal tabakalar optik koherens tomografi (OCT) ile değerlendirilmiştir. Bu çalışmamızda herhangi bir oküler hastalığı olmayan olgularda, OCT'de saptanan GK'ne etki edebileceğini düşündüğümüz çeşitli parametrelerin GK ile ilişkisini araştırmayı amaçladık.

GEREÇ: Kliniğimizde 2013-2017 yılları arasında takip edilmiş hastalardan idiyopatik epiretinal membran (iERM) saptanan hastalar tarandı. Görme azlığına sebep olacak başka göz hastalığı olmayan 93 hastanın 112 gözü çalışmaya dahil edildi, demografik verileri kaydedildi. Standart oftalmolojik muayene ve optik koherens tomografi (OCT) uygulandı. GK istatistiksel analiz için logMAR'a çevrildi. Foveal kontur, fovea merkezli santral 1 mm'lik dairedeki ortalama retinal kalınlık (CFT) ve hacim (FV), ortalama maküler gangliyon hücre tabakası ve iç pleksiform tabaka kalınlıkları (GCL+IPL), iç ve dış nukleer tabakalar (INL-ONL) ile iç ve dış retinal tabakaların kalınlıkları, dış limitan membran (ELM) bütünlüğü, elipsoid zon (EZ) bütünlüğü, interdijitasyon zon (IZ) bütünlüğü kaydedildi. Görme keskinliği ile bu parametreler arasında korelasyon olup olmadığı istatistiksel olarak değerlendirildi.

BULGULAR: Düzgün foveal kontur, intakt ELM, EZ ve IZ daha iyi GK ile ilişkili bulundu. LogMAR GK ile CFT ($p<0,01$; $r=0,36$), FV ($p<0,01$; $r=0,36$), INL kalınlığı ($p<0,01$; $r=0,37$) ve iç retinal tabakalar kalınlığı ($p<0,01$; $r=0,36$) arasında pozitif korelasyon saptandı. Maküler GCL+IPL kalınlığı, foveal ONL kalınlığı ve dış retinal tabakalar kalınlığı GK ile ilişkili bulunmadı ($p>0,05$).

SONUÇ: iERM'de dış retinal tabaka bütünlüklerinin korunmuş olması daha iyi GK ile ilişkilidir. GK'nin sırayla; INL kalınlığı, CFT, iç retinal tabakalar kalınlığı ve FV ile pozitif korele olduğu tespit edilmiştir.

Anahtar Kelimeler: epiretinal membran, görme keskinliği, optik koherens tomografi

SS02 RETİNA VEN DAL TIKANIKLIĞINDA MAKULA YÜZEYEL KAPİLLER VE RADYAL PERİPAPİLLER KAPİLLER PLEKSUSUN OPTİK KOHERENS TOMOGRAFİ ANJİOGRAFİ İLE KANTİTATİF ANALİZİ

Sehnaz Özçalışkan¹, Yasin Özcan²

¹T.C. Sağlık Bilimleri Üniversitesi Beyoğlu Göz Eğitim ve Araştırma Hastanesi

²Yeditepe Üniversitesi, Göz Hastalıkları Anabilim Dalı

AMAÇ: Retina ven dal tıkanıklığı (RVDT) tanılı olgularda makuler bölgedeki yüzeyel ve optik disk çevresinde yer alan radyal peripapiller kapiller (RPK) pleksusa ait vasküler dansitelerin optik koherens tomografi anjiyografi (OKTA) ile incelenmesi.

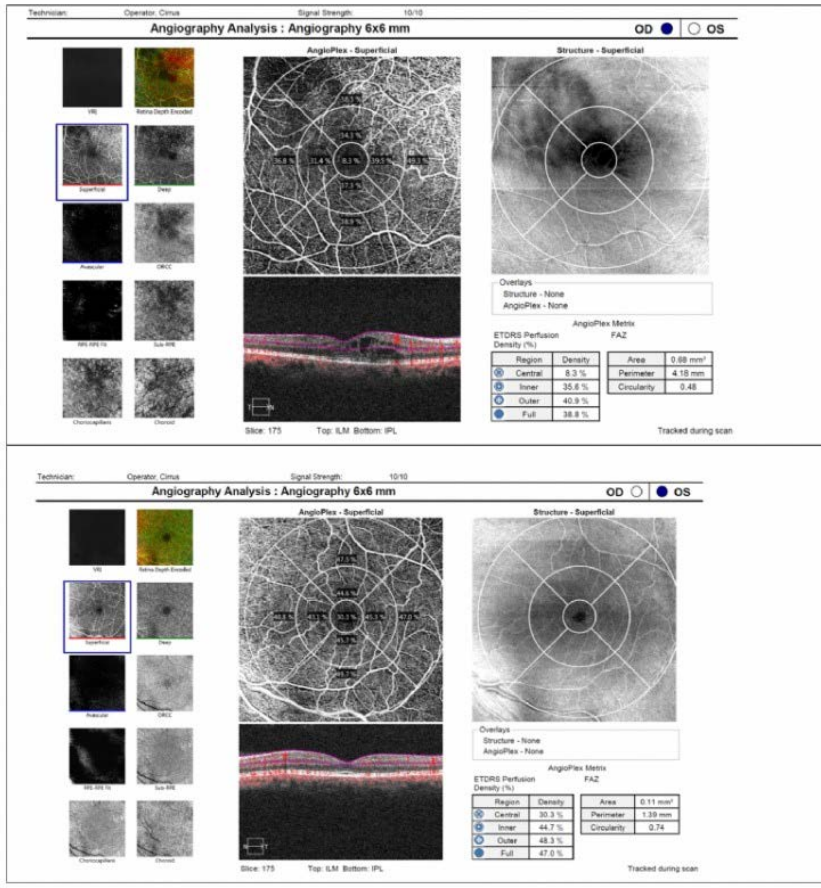
GEREÇ: Kliniğimizde retina ven dal tıkanıklığı tanısıyla takip ve tedavi altında olan olguların, RVDT gelişen gözlerinde OKTA ile saptanan makula bölgesi yüzeyel kapiller damar ve perfüzyon dansitesi ile radyal peripapiller kapiller pleksus perfüzyon dansiteleri sağlıklı gözleri ile karşılaştırıldı. Olguların ölçümleri AngioPlex Cirrus 5000 (Carl Zeiss Meditec, Dublin, CA) cihazı ile fovea merkezli 6x6 mm ve optik disk merkezli 4.5x4.5 mm olarak yapıldı.

BULGULAR: Çalışmaya 30'u (%55.6) erkek, 24'ü (%44.4) kadın olmak üzere toplam 54 olgunun 108 gözü dahil edildi. Hastaların ortalama yaşı 61.66±10.53 yıl idi. Olguların 39'unda (%36.1) temporal RVDT, 12'sinde (%11.1) makuler dal RVDT ve 3'ünde (%2.8) ise hemisantral RVDT mevcuttu. Olguların etkilenen gözünde perifoveal damar dansitesi 14.45± 3.24 ve tam (full) damar dansitesi 14.36±3.45 olup, kontrol gözlerine göre anlamlı düşüktü. (sırasıyla p=0.014, p=0.016). Makulanın yüzeyel ortalama perifoveal perfüzyon dansitesi etkilenen gözde 37.08± 8.39, kontrol grubunda 39.60±8.9 saptandı (p=0.02). Etkilenen gözlerde dört kadranda incelenen RPK pleksus dansitesi yalnızca üst kadranda kontrol grubuna oranla anlamlı düşük bulundu (p=0.002).

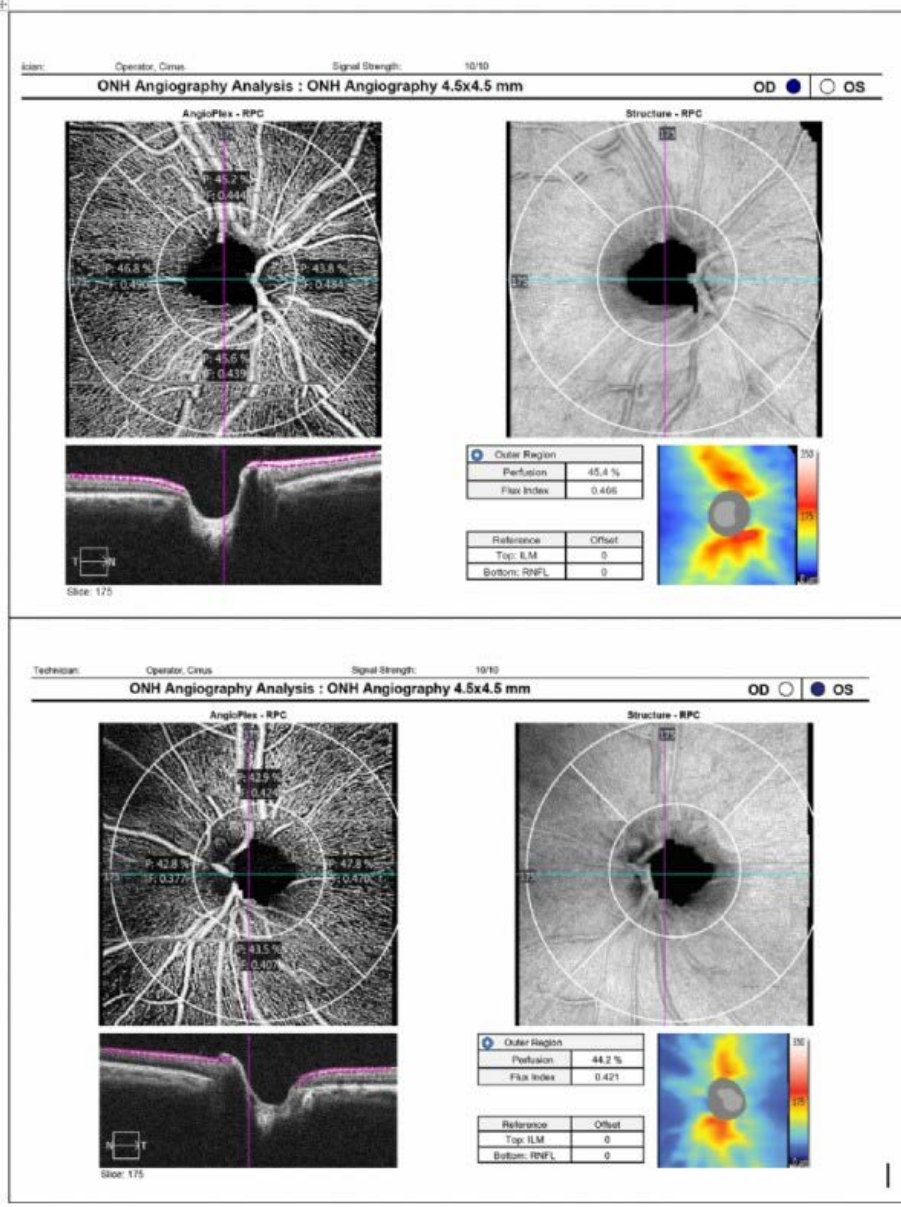
SONUÇ: Retina ven dal tıkanıklığında OKTA ile perifoveal kapiller ağda ve optik disk çevresinde yer alan RPK pleksusta değişiklikler saptamıştır. Perifoveal perfüzyonu ve makula iskemisini belirlemesinin yanı sıra, OKTA ile ölçülen RPK perfüzyon dansitesi RVDT olgularında ONH'nin perfüzyon durumunu değerlendirmede kullanılabilecek yararlı bir parametre olabilir.

Anahtar Kelimeler: retina ven tıkanıklığı, optik koherens tomografi anjiyografi, radyal peripapiller kapiller pleksus

Resim 1



OKTA ile makulanın 6x6 analizi



Resim 2

Optik sinir başının OKTA ile 4.5x4.5 analizi

SS03 İNTRAVİTREAL ENJEKSİYONLARLA MAKÜLA ÖDEMİ GERİLEYEN RETİNA VEN TIKANIKLIKLARINDA DIŞ RETİNAL TABAKA KALINLIĞININ OKT İLE DEĞERLENDİRİLMESİ: 12. AY SONUÇLARI

Berrak Şekeryapan Gediz

Sağlık Bilimleri Üniversitesi Ulucanlar Göz Eğitim ve Araştırma Hastanesi, Ankara

AMAÇ: Retina ven tıkanıklığına (RVT) bağlı maküla ödemi nedeniyle intravitreal enjeksiyon uygulanmış ve ödemi gerilemiş hastalarda dış retinal tabaka (DRT) kalınlığının optik koherens tomografi (OKT) ile değerlendirilmesi.

GEREÇ: Kliniğimizde RVT'ye bağlı maküla ödemi nedeniyle intravitreal enjeksiyon uygulanmış hastaların dosyaları geriye dönük olarak incelendi. 12. ay kontrolünde OKT'de maküla ödemi izlenmeyen, tek taraflı retina ven tıkanıklığı olguları çalışmaya dahil edildi. Hastaların diğer gözleri kontrol olarak kabul edildi. Dış retinal tabaka kalınlığı OKT'nin otomatik segmentasyon özelliği kullanılarak ölçüldü. Standart ETDRS halkasının merkez (r: 0.5 mm), iç halka (r: 0.5-1.5 mm) ve dış halkaya (r:1.5-3 mm) karşılık gelen alanlarındaki değerlerin ortalaması alınarak DRT hesaplandı. Verilerin değerlendirmesi SPSS kullanılarak t testi ile yapıldı, p<0.05 istatistiksel olarak anlamlı kabul edildi.

BULGULAR: Çalışmaya 38 hastanın 76 gözü dahil edildi. Ortalama yaş 61.1 ± 14.5 (20-83) idi. Hastaların 9'unda santral retinal ven tıkanıklığı (%23.7), 29'unda ise retina ven dal tıkanıklığı (%76.3) mevcuttu. RVT grubunda ortalama en iyi düzeltilmiş görme keskinliği tedavi öncesinde 0.80 ± 0.44 logMar (0.2-1.5), 12. ay kontrolünde ise 0.45 ± 0.42 logMar (0-1.3) idi, (p <0.01). RVT grubunda ortalama enjeksiyon sayısı 6.05 ± 1.96 (4-11) idi. Enjeksiyonların %37.6'sı (50/133) deksametazon implant, geri kalanı da anti-vasküler büyüme faktörü ilaçlardan oluşmaktaydı. 12. ay ortalama göz içi basıncı 16.3 ± 4.7 (8-25) idi. 12. ay ortalama santral foveal kalınlık değerleri RVT grubunda 265.8 ± 32.5 μ (194-322) ve kontrol grubunda 274.1 ± 30.7 μ (223-333) idi, (p>0.05). Ortalama DRT kalınlığı ise RVT grubunda 79.6 ± 2.14 μ (75.8-84.6), kontrol grubunda 81.6 ± 2.68 μ (77.8-86.8) idi, (p<0.05).

SONUÇ: RVT hastalarında ödem geriledikten sonra ölçülen DRT kalınlığı sağlam gözlerine göre daha ince bulunmuştur. Bu sonuç RVT'nin uzun dönemde nöronal dejenerasyona yol açabileceğini düşündürmektedir

Anahtar Kelimeler: retina ven tıkanıklığı, optik koherens tomografi, anti-VEBF, deksametazon, dış retinal tabaka kalınlığı, otomatik segmentasyon

SS04 DİYABETİK MAKULAR ÖDEM TEDAVİSİNDE DEKSAMETAZON VE ANTI-VEGF ETKİNLİĞİNİN OKT-ANJİOGRAFİ İLE DEĞERLENDİRİLMESİ

Emine Çiloğlu

Adana Şehir Eğitim ve Araştırma Hastanesi, Göz Hastalıkları Kliniği, Adana

AMAÇ: Diyabetik makula ödemi (DMÖ) nedeniyle Anti-VEGF ve Deksametazon implant uygulanan hastaların anatomik ve fonksiyonel sonuçlarının Optik koherens tomografi anjiyografi (OKTA) ile değerlendirilmesi.

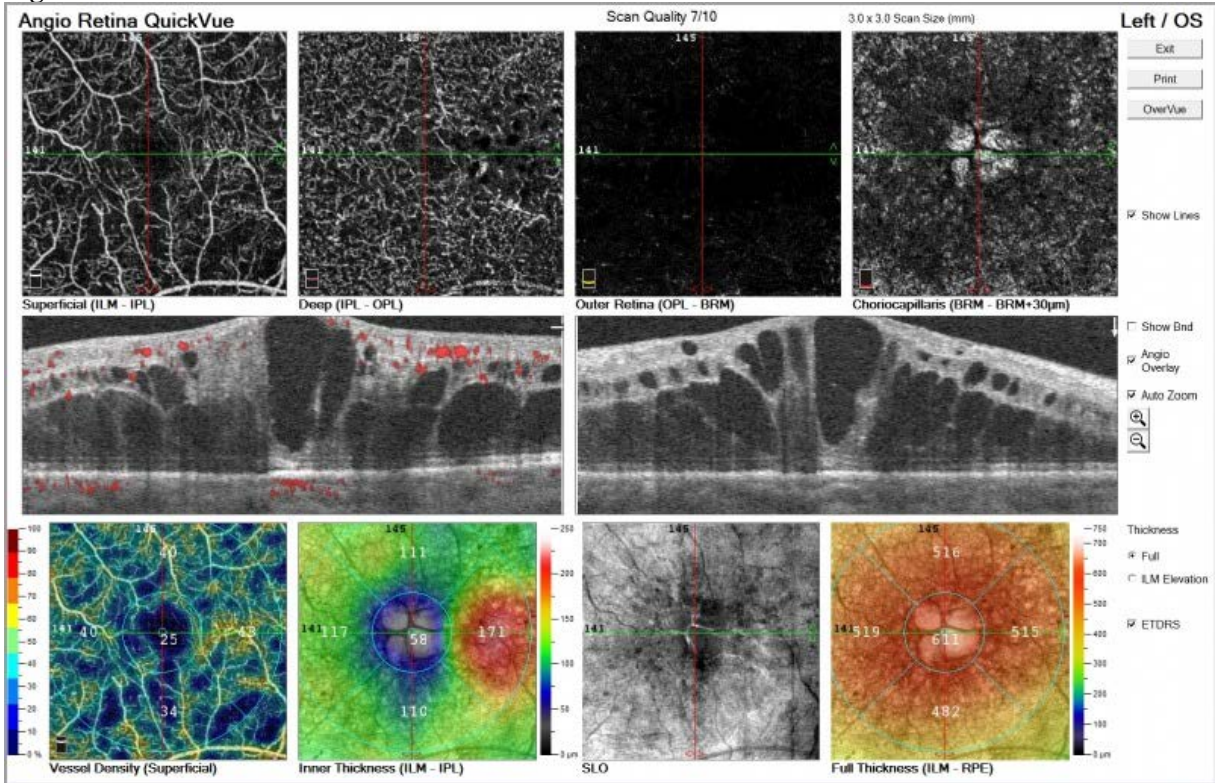
GEREÇ: Çalışmaya Tip 2 diyabeti olup, DMÖ nedeniyle Anti-VEGF uygulanan 25 hasta ile deksametazon uygulanan 20 hasta dahil edildi. Daha önce Anti-VEGF tedavi ve lazer uygulaması yapılan hastalar çalışmaya dahil edilmedi. Hastalara 3 doz yükleme anti-VEGF tedavisi veya 1 doz deksametazon implant enjeksiyonu uygulandı. Hastaların enjeksiyon öncesi ve tedavi sonrası en iyi düzeltilmiş görme keskinliği, santral makula kalınlığı (SMK), OKTA ile retinal kapiller pleksus yoğunlukları ve en-face görüntü ile vasküler yapıdaki değişiklikler değerlendirildi.

BULGULAR: Hastaların ortalama yaşı 54.6 ± 10.2 idi. Her iki grupta yaş, cinsiyet, HbA1c düzeyleri arasında farklılık yoktu. Her iki grupta tedavi sonrası görme keskinliğinde anlamlı yükselme, SMK da anlamlı gerileme saptandı. OKTA ile kapiller vasküler yoğunlukta artış, perifoveal vasküler arkada iyileşme, kapiller yatakta düzelleme, nonperfüze alanlarda azalma olduğu saptandı.

SONUÇ: Anti-VEGF ve deksametazon implant DMÖ tedavisinde hem anatomik hem de fonksiyonel olarak etkin ajanlardır.

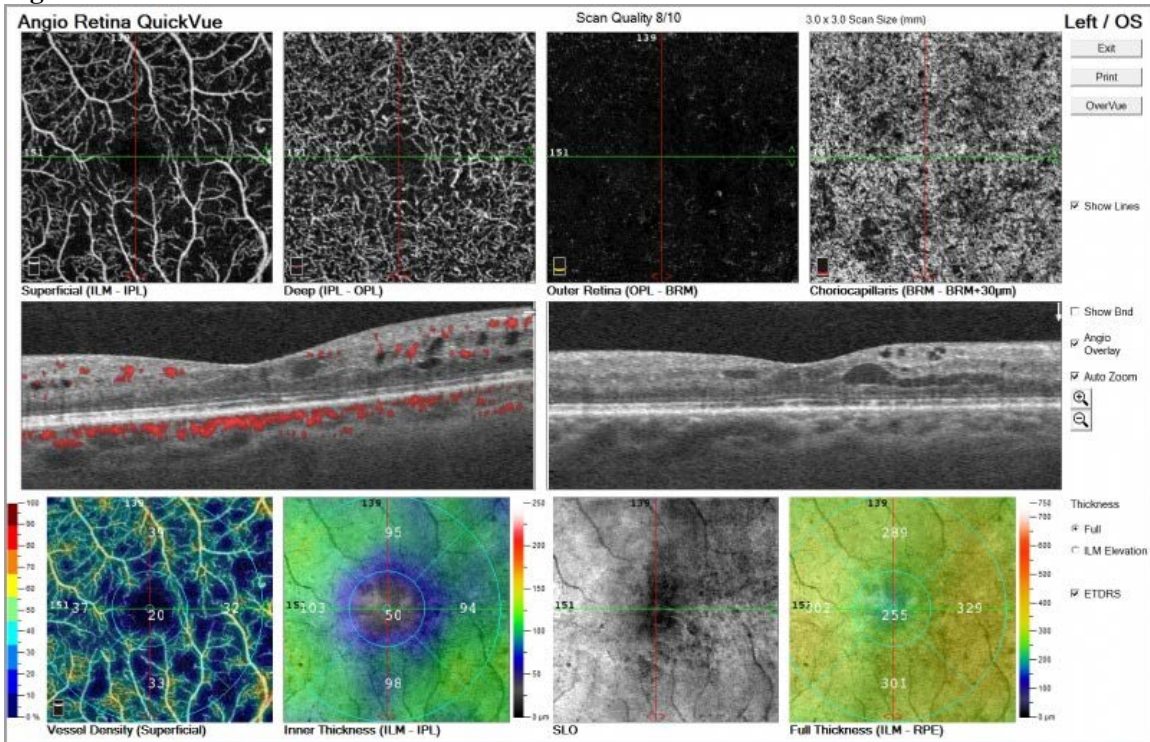
Anahtar Kelimeler: anti-VEGF, deksametazon implant, diyabetik makular ödem, optik koherens tomografi anjiyografi

Figür 1



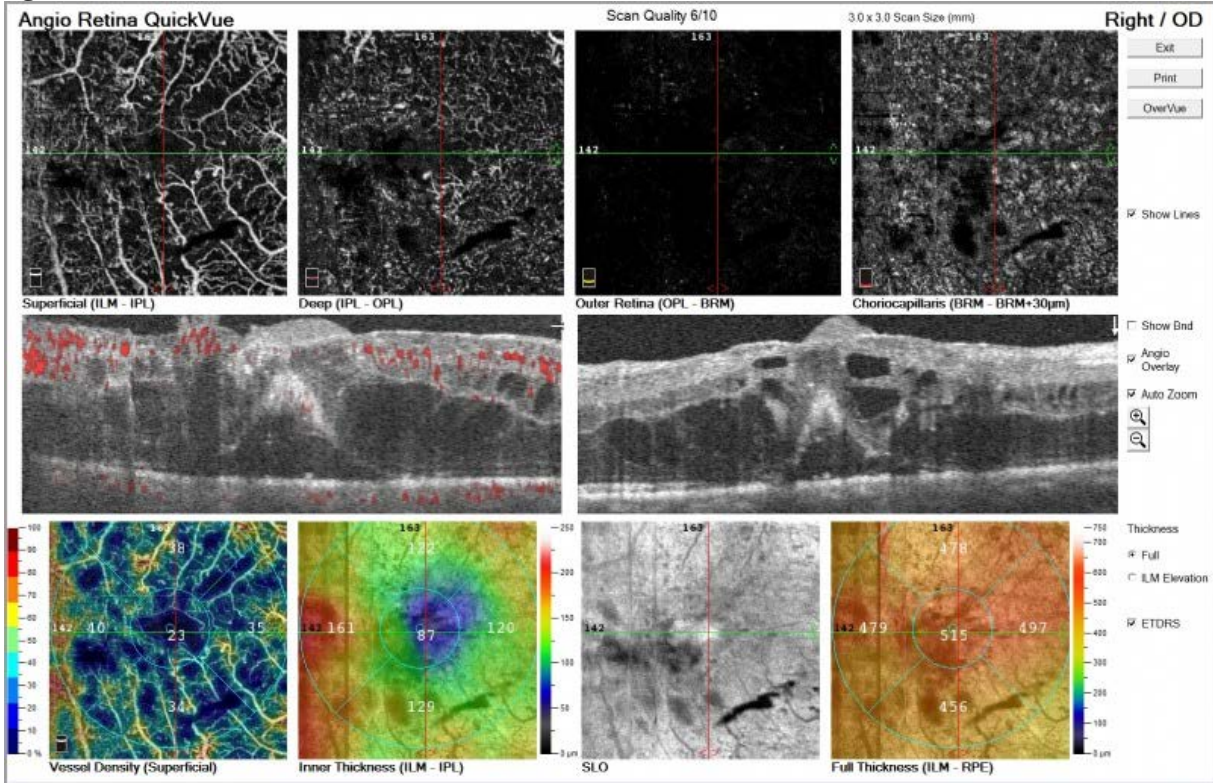
Deksametazon implant uygulamadan önceki görüntü; diffüz kistoid makula ödemi, FAZ sınırlarında düzensizlik, perfüze olmayan alanlar izlenmekte.

Figür 2



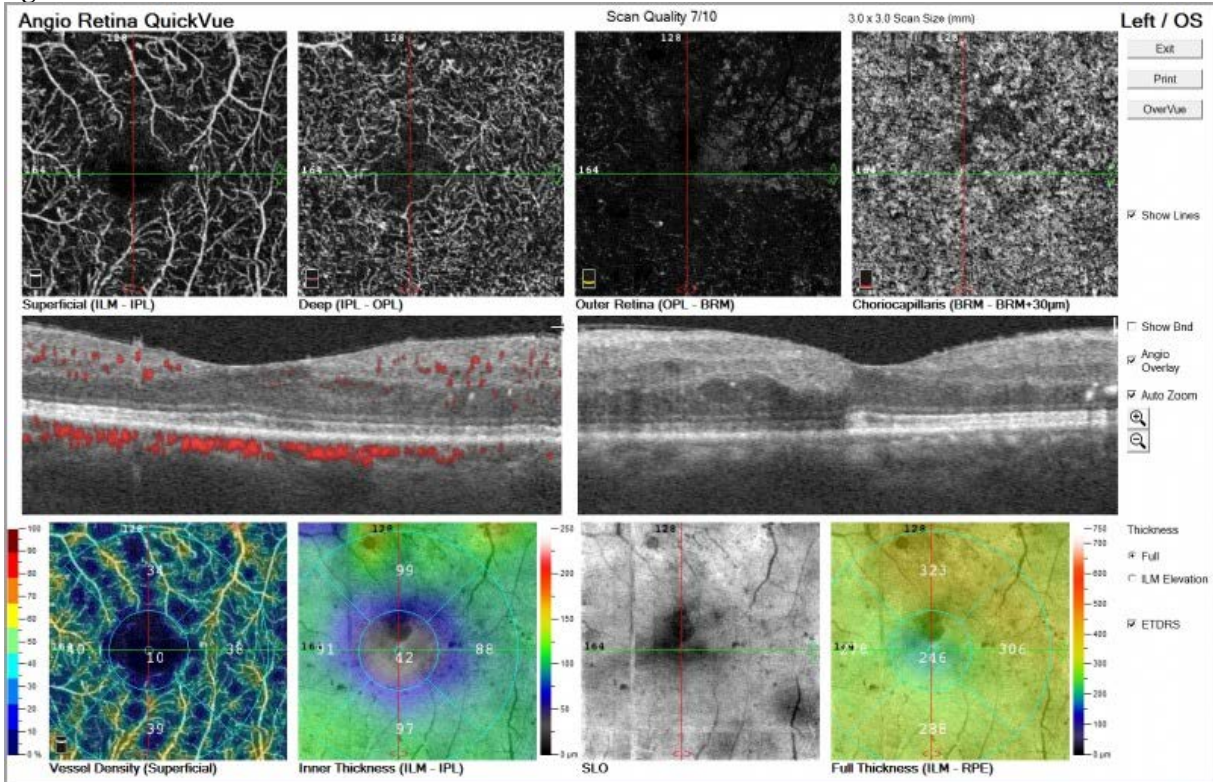
Deksametazon implant enjeksiyonu uygulandıktan 3 ay sonrası; makula ödeminde gerileme, FAZ sınırlarında düzelme, non-perfüze alanlarda azalma izlenmekte.

figür 3



anti-VEGF tedavi öncesi görüntü

figür 4



3 doz anti-VEGF tedavi sonrası görüntü

SS05 OKSİJEN ENDÜKTE RETİNOPATİ İN VİVO FARE MODELİNDE APİGENİN'İN RETİNAL ENDOTELYAL HÜCRE PROLİFERASYONUNA, RETİNA MORFOLOJİSİNE VE APOPTOTİK HÜCRE ÖLÜMÜNE ETKİSİ

Almila Sarıgül Sezenöz¹, Fatma Helvacıoğlu², Nihan Haberal³, Attila Dağdeviren², Didem Bacanlı⁴, Gürsel Yılmaz¹, İmren Akkoyun¹

¹Başkent Üniversitesi, Göz Hastalıkları Ana Bilim Dalı, Ankara

²Başkent Üniversitesi, Histoloji ve Embriyoloji Ana Bilim Dalı, Ankara

³Başkent Üniversitesi, Patoloji Ana Bilim Dalı, Ankara

⁴Başkent Üniversitesi, Laboratuvar Hayvanları Üretim ve Araştırma Merkezi, Ankara

AMAÇ:Oksijen endükte retinopati in vivo fare modelinde Apigenin'in retinal endotelial hücre proliferasyonu, retina morfolojisi ve apoptoz üzerindeki etkilerinin incelenmesi

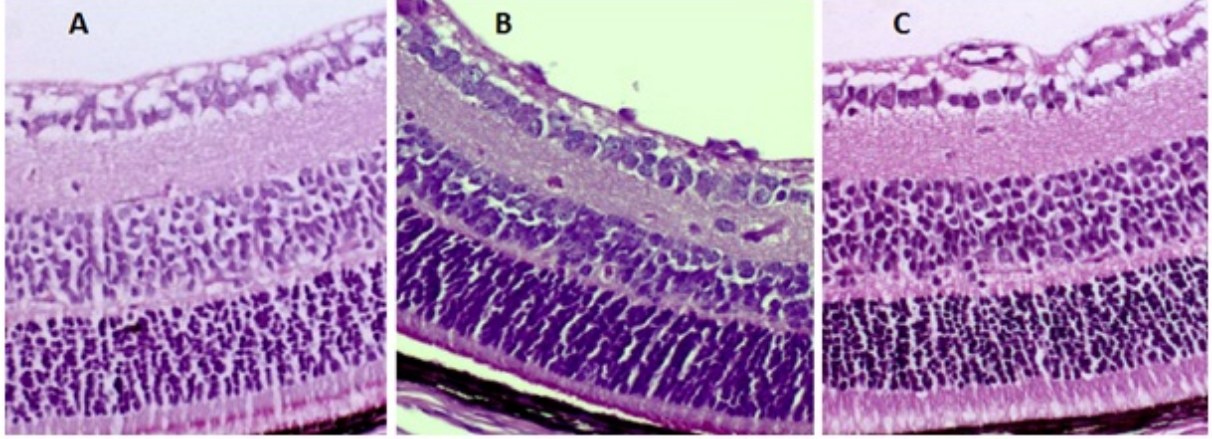
GEREÇ:50 yenidoğan C57BL/6J ırkı fare çalışmaya dahil edilmiştir. Otuz beş fare,anneleriyle birlikte postnatal 7.güne kadar oda ortamında yaşadıkdan sonra postnatal 7-12.günler arasında %75 oksijene tabi tutulmuştur ve postnatal 12.günde tekrar oda ortamına(%21 oksijen) alınarak enjeksiyon uygulamaları yapılmıştır. Postnatal 17.gün fareler enükle edilmiştir ve preretinal neovaskularizasyonun kantitatif analizi, apoptotik hücre ölümü ve morfolojik yapı incelenmesi yapılmıştır. Analizler için beşer fareden oluşan 10 grup oluşturulmuştur. Grup-A oksijene tabi tutulmamış, işlem görmemiş; Grup-B oksijene tabi tutulmadan 1 µl intravitreal(IV) steril dimetilsülfoksit(DMSO) solüsyon enjeksiyonu uygulanmış; Grup-C oksijene tabi tutulmuş, işlem görmemiş; Grup-D oksijene tabi tutulmuş,1µl IV steril DMSO solüsyon enjeksiyonu uygulanmış; Grup-E ve -F sırasıyla oksijen sonrası 10 µg/ml ve 20 µg/ml IV Apigenin enjeksiyonu uygulanmış; Grup-G ve -H sırasıyla oksijen sonrası 10 mg/kg ve 20 mg/kg intraperitoneal(IP) Apigenin enjeksiyonu uygulanmış; Grup-I oksijene tabi tutulmadan 3 µl IP steril DMSO solüsyon enjeksiyonu uygulanmış; Grup-J oksijene tabi tutularak, 3 µl IP steril DMSO solüsyon enjeksiyonu uygulanmış grupları temsil etmektedir.

BULGULAR:Oksijene tabi tutulan gruplarda endotel hücre çekirdeği ve atipik mitokondri sayısında anlamlı artış saptanmıştır (p<0,0001). Grup-C ile karşılaştırıldığında, Grup-E, -F, -G ve -H'de endotelial hücre çekirdeği, atipik mitokondri ve apoptotik hücre sayısında istatistiksel anlamlı azalma olduğu izlenmiştir(tümü için p<0,0001). Işık mikroskopisi ile Apigenin gruplarında kistik dejenerasyon veya hücre kaybı tespit edilmemiştir.

SONUÇ:Apigenin neovaskularizasyon, mitokondriyal dismorfoloji ve apoptotik aktiviteyi baskılamakta, oküler neovasküler hastalıkların tedavisinde umut vaat etmektedir.

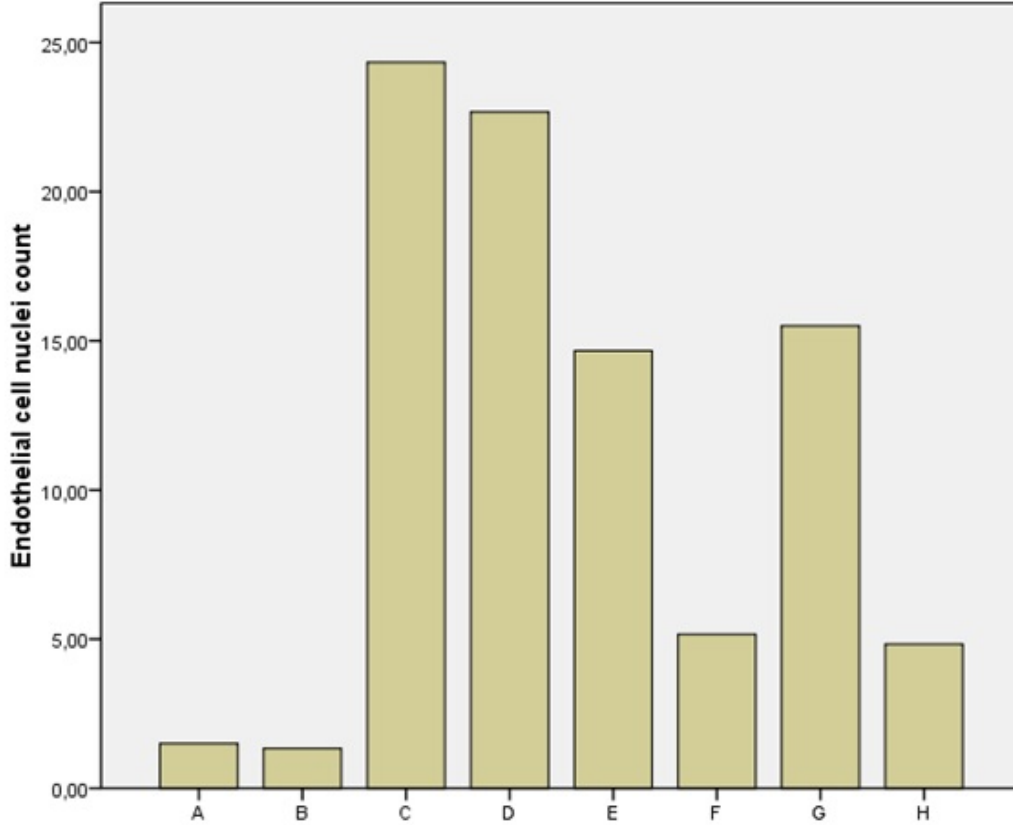
Anahtar Kelimeler: Apigenin, retinal neovaskularizasyon, prematüre retinopatisi

Figür 1: Işık mikroskopi kesitleri



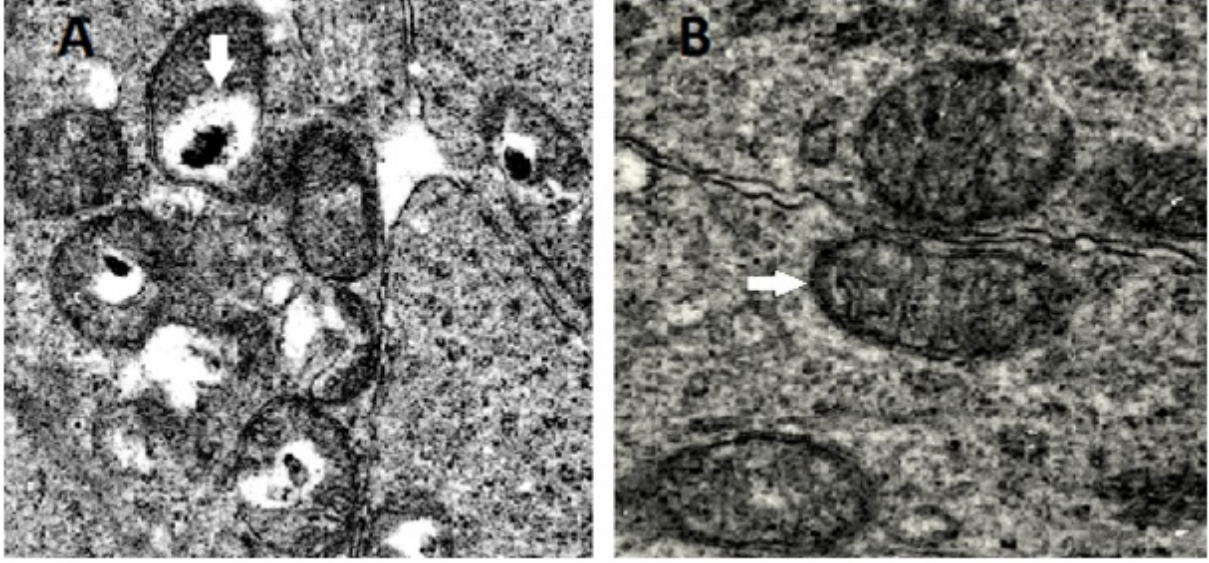
A. Oda ortamında tutulmuş, işlem görmemiş (Grup-A) C57BL/6J fare retinasının ışık mikroskopi kesitleri görülmektedir. B. Postnatal 7-12. günler arasında hiperoksiye tabi tutulan işlem görmemiş kontrol grubunda ILM iç yüzünde endotel hücreleri görülmektedir. C. Postnatal 7-12. günler arasında hiperoksiye tabi tutulan, intravitreal 10 µg/ml Apigenin uygulanmış (Grup-E) C57BL/6J fare retinasının ışık mikroskopi kesitleri görülmektedir (PAS & HE, 20x).

Figür 2: Grup-A-H'de ışık mikroskopi ile neovaskülarizasyonun kantifiye analizi



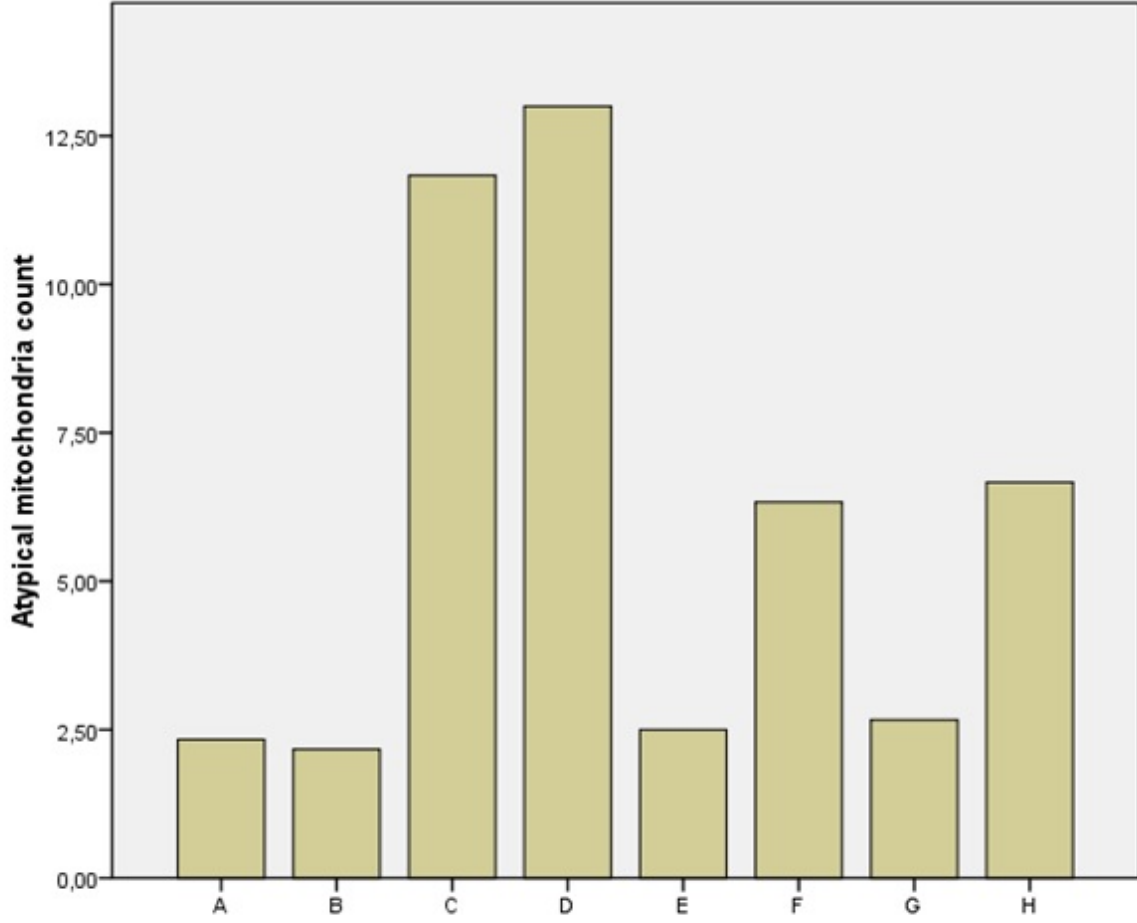
Neovaskülarizasyon internal limitan membranın vitreusa bakan yüzeyindeki vasküler hücre çekirdeklerinin sayısıyla kantifiye edilmiştir ve diyagramda gruplarda vasküler hücre çekirdeklerinin sayısının değeri ortalama olarak verilmiştir.

Figür 3: Elektron mikroskopi kesitleri



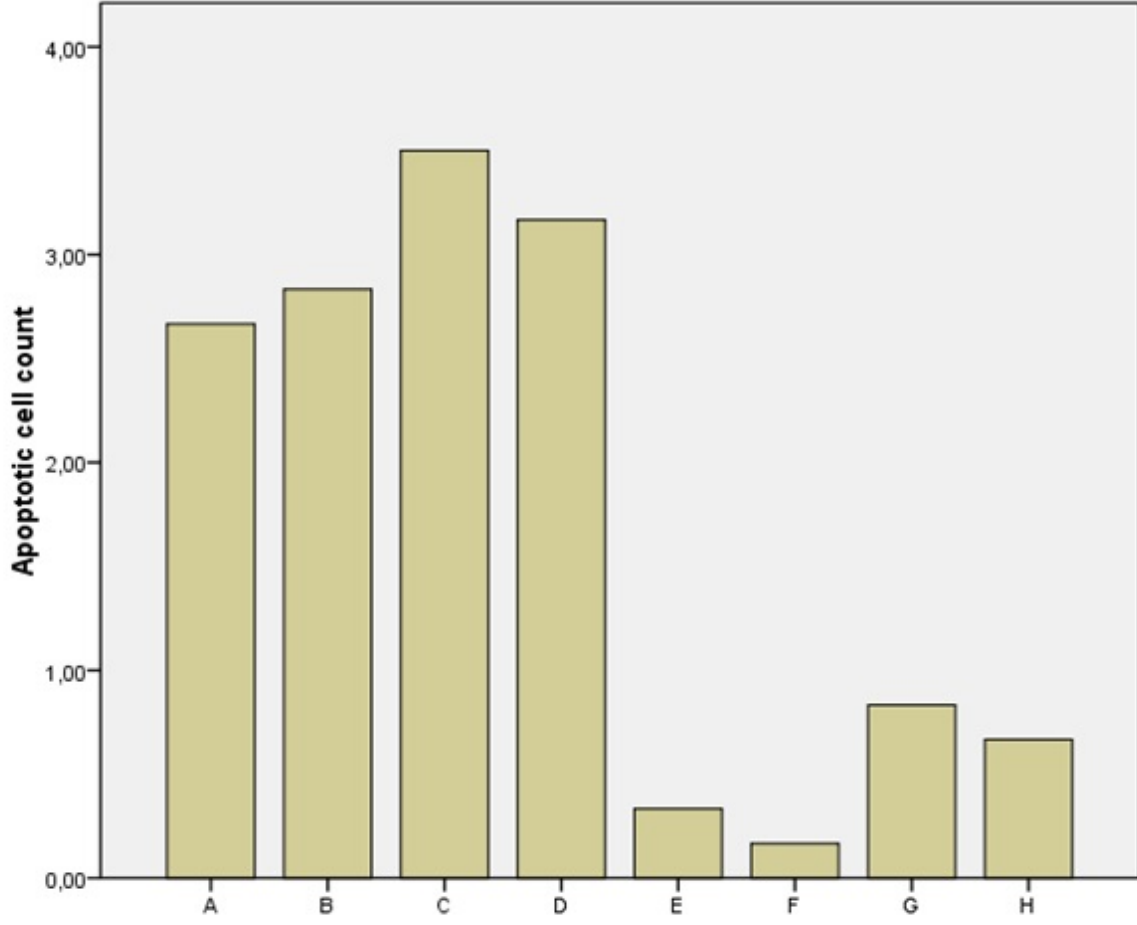
A. Fotreseptör iç segment bölümünde irregüler mitokondri, litik matiks, elektron dens madde içeren atipik mitokondrilerin (beyaz ok) izlendiği, hiperoksi maruziyeti sonrası işlem görmemiş Grup-C'ye ait elektron mikroskopi kesiti görülmektedir. B. Mitokondrilerde tipik çift membranlı tübüler transvers düzenli mitokondrial kristalların (beyaz ok) izlendiği, hiperoksi maruziyeti sonrası Apigenin enjeksiyonu yapılan Grup-E'ye ait elektron mikroskopi kesiti görülmektedir (6000x).

Figür 4: Grup-A-H’de elektron mikroskopi ile atipik mitokondri analizi



Elektron mikroskopi ile ultrastrüktürel mitokondriyal değişiklikler değerlendirilmiş ve diyagramda gruplardaki atipik mitokondri sayıları ortalama olarak verilmiştir.

Figür 5: Grup-A-H'de apoptotik hücre analizi



TUNEL tekniği ile apoptotik aktivite analizi gerçekleştirilmiş ve diyagramda gruplardaki apoptotik hücre sayıları ortalama olarak verilmiştir.

SS06 ERİŞKİN BAŞLANGIÇLI FOVEOMAKULAR VİTELLİFORM DİSTROFİ TANILI OLGULARDA RETİNA DAMAR YOĞUNLUĞU VE KORYOKAPİLLARİS KAN AKIMININ OPTİK KOHERENS TOMOGRAFİ ANJİYOĞRAFİ İLE DEĞERLENDİRİLMESİ

İ. Umut Onur, Özge Pınar Akarsu Açar
Bakırköy Dr Sadi Konuk Eğitim ve Araştırma Hastanesi, Göz Kliniği, İstanbul

AMAÇ: Erişkin başlangıçlı foveomakular vitelliform distrofi (EBFVD) tanılı hastalarda, makula yüzeysel kapiller pleksus (SKP) ve derin kapiller pleksus (DKP) damar yoğunluğu ile koryokapillaris kan akımının optik koherens tomografi anjiyografi (OKTA) ile değerlendirilmesi.

GEREÇ: EBFVD tanısı ile kliniğimiz retina biriminde takipli hastalar ile kontrol grubunu oluşturan sağlıklı olgular bu kesitsel gözlemsel çalışma kapsamına alındı. Hastaların tümüne; ayrıntılı oftalmolojik muayenenin ardından makula 6x6 mm OKTA çekimleri yapıldı. Makula SKP ve DKP damar yoğunluğu ile koryokapillaris kan akımının kantitatif sonuçları değerlendirildi.

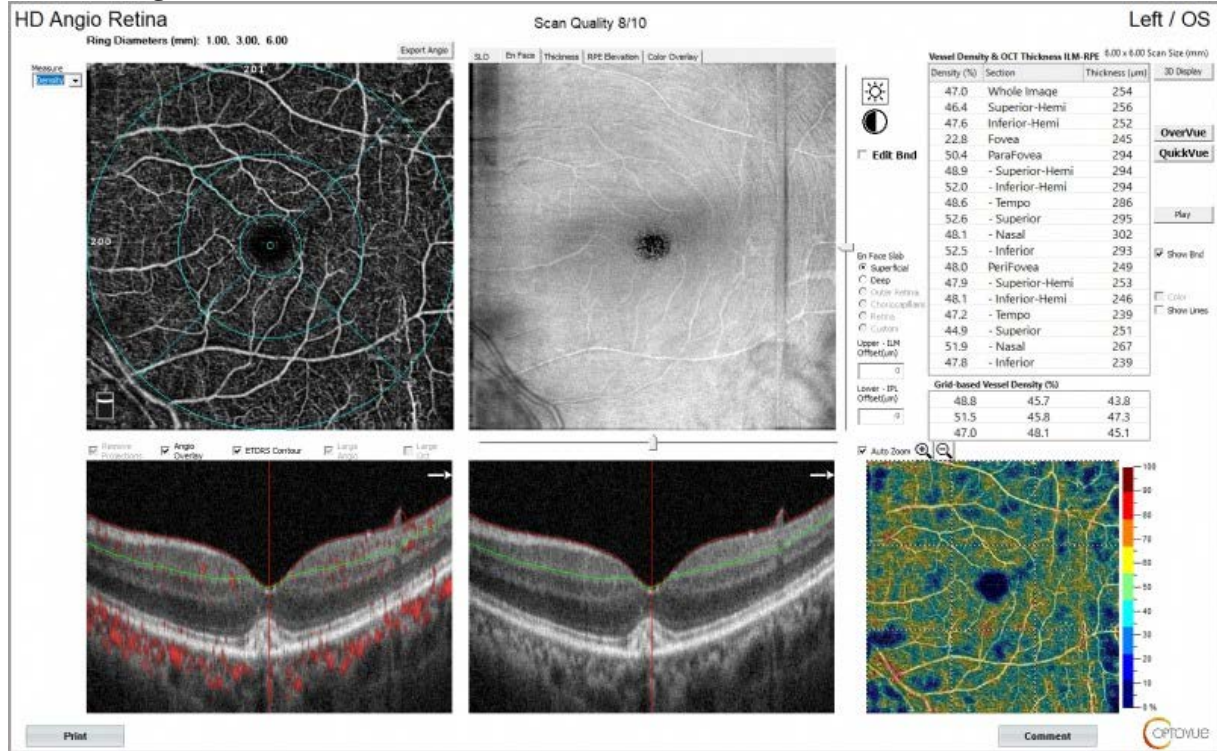
BULGULAR: EBFVD tanılı 14 hastanın 17 gözü çalışma grubuna, 17 sağlıklı bireyin 17 gözü ise kontrol grubuna dahil edilerek incelendi. Çalışma grubunun yaş ortalaması 67.2 ± 5.6 , kontrol grubunun yaş ortalaması ise 66.3 ± 8.5 bulundu. Yaş ortalaması açısından gruplar arasında anlamlı fark saptanmadı ($p=0.968$).

Ortalama makula SKP ve DKP damar yoğunluğu verilerinin çalışma grubunda daha düşük olduğu izlense de istatistiksel anlamlı fark parafoveal nazal SKP ($p=0.048$), parafoveal ($p=0.037$) ve parafoveal temporal DKP ($p=0.048$) damar yoğunluğunda saptandı (Figür 1,2). Koryokapillaris akım alanı ve akım yoğunluğu ise EBFVD tanılı hastalarda anlamlı olarak daha düşük bulundu ($p=0.001$ ve $p=0.001$, sırasıyla) (Figür 3).

SONUÇ: EBFVD, foveal veya parafoveal sarımsı subretinal lezyonlar şeklinde görülen kalıtsal ve çoğunlukla bilateral olan progressif bir hastalıktır (1). OKTA, retina ve koroid damarlarındaki kan akımını değerlendirmede kullanılabilen ve girişimsel olmayan yeni bir görüntüleme yöntemidir (2). Literatürde EBFVD tanılı hastalarda OKTA ile yapılan, morfolojik ve kantitatif değerlendirme sonuçlarını veren çalışmalar mevcuttur (3-6). Biz de bu çalışmada, EBFVD tanılı hastalarda kantitatif olarak değerlendirilebilen vasküler değişiklikler olduğunu gözlemledik.

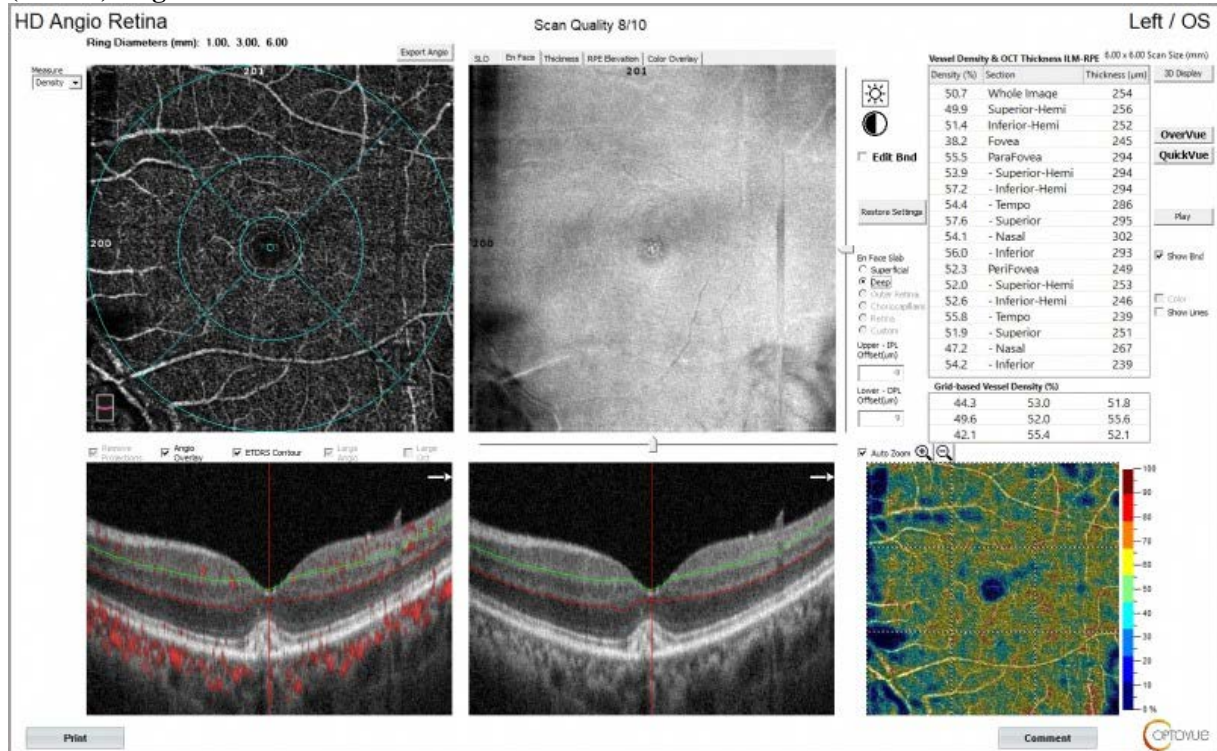
Anahtar Kelimeler: derin kapiller pleksus, erişkin başlangıçlı foveomakular vitelliform distrofi, koryokapillaris, optik koherens tomografi anjiyografi, yüzeysel kapiller pleksus

Figür 1: Yüzeysel kapiller pleksus (SKP) damar yoğunluğunun optik koherens tomografi anjiyografi (OKTA) ile görüntülenmesi



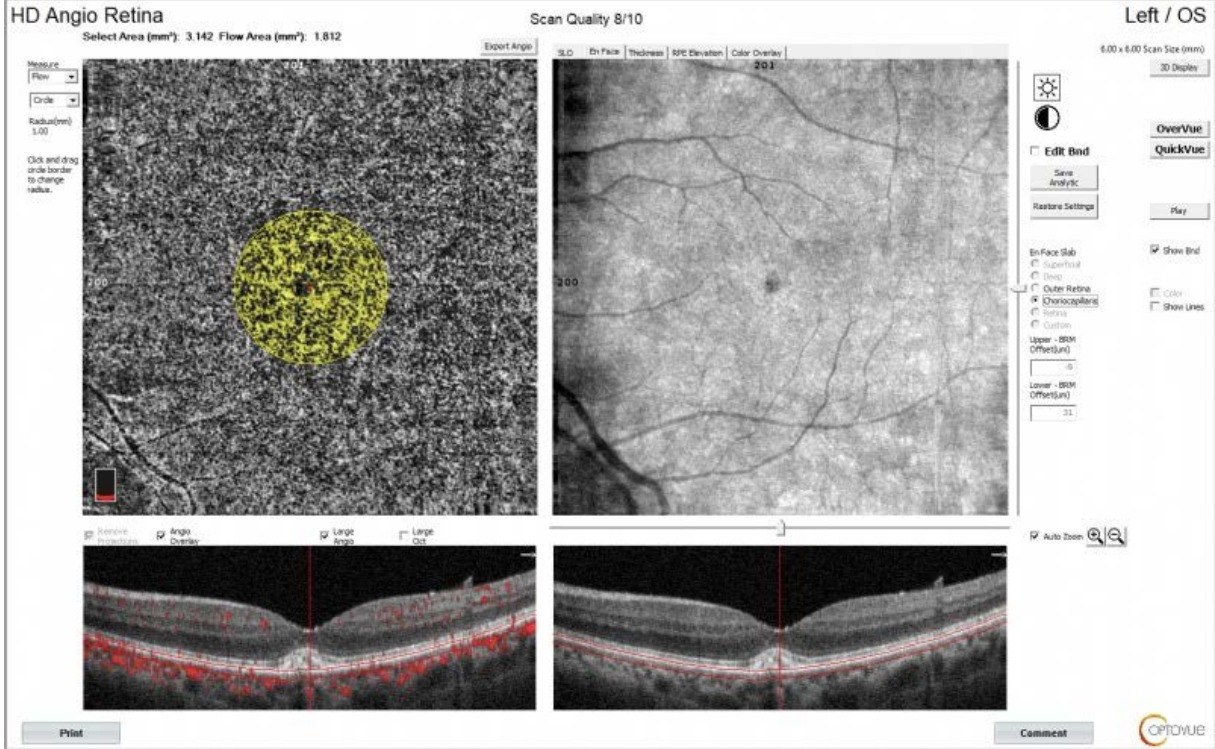
Optik koherens tomografi anjiyografi (OKTA) ile elde edilen yüzeysel kapiller pleksus (SKP) damar yoğunluğu kantitatif verileri sağ üst köşedeki tabloda görülmektedir.

Figür 2: Derin kapiller pleksus (DKP) damar yoğunluğunun optik koherens tomografi anjiyografi (OKTA) ile görüntülenmesi



Optik koherens tomografi anjiyografi (OKTA) ile elde edilen derin kapiller pleksus (DKP) damar yoğunluğu kantitatif verileri sağ üst köşedeki tabloda görülmektedir.

Figür 3: Koryokapillaris akım alanının optik koherens tomografi anjiyografi (OKTA) ile görüntülenmesi



Sarı dairesel alan koryokapillaris akım alanını göstermektedir.

SS07 İNTRAVİTREAL BEVASİZUMAB UYGULANAN HASTALARDA GÖRÜLEN YAN ETKİLER

Hafize Gökben Ulutaş, Gamze Dereli Can

Sağlık Bilimleri Üniversitesi Bursa Yüksek İhtisas Eğitim Araştırma Hastanesi, Göz Hastalıkları ABD, Bursa

AMAÇ:İntravitreal 0,05 ml (1,25 mg) bevacizumab enjeksiyonu sonrasında görülen yan etkileri sunmak.

GEREÇ:Çalışmaya çeşitli retinal hastalıklar nedeniyle yükleme dozunda intravitreal 0,05 ml (1,25 mg) bevacizumab enjeksiyonu uygulanan hastalar dahil edildi. Enjeksiyon öncesi hastaların en iyi düzeltilmiş görme keskinlikleri (EİDGK), göz içi basıncı (GİB), biyomikroskopik ön ve arka segment muayeneleri ile fundus flöresan anjiyografi ve optik koherens tomografi incelemeleri kaydedildi. Enjeksiyon sonrası hastalarda görülen oküler ve sistemik istenmeyen hadiseler yan etki olarak kaydedildi.

BULGULAR:Çalışmaya yaş ortalaması 64.8 ± 10.6 yıl olan 121 kadın (%51.1) 116 erkek (%48.9) 237 hastanın 324 gözü dahil edildi. Hastaların %62.3'ünde diyabetik maküler ödem (DMÖ), %25.6'sında yaş tip yaşa bağlı makula dejenerasyonu, %7.4'ünde santral retinal ven oklüzyonu, %4.6'sında retina ven dal oklüzyonu nedeniyle enjeksiyon uygulanmıştı. Hastaların %89.2'sinde diyabet, hipertansiyon, kardiyovasküler hastalıklar mevcuttu. 6 aylık takip süresinde ortalama enjeksiyon sayısı 2.3 ± 0.9 idi. Enjeksiyon öncesi ortalama EİDGK 0.2 ± 0.2 (snellen) ve ortalama GİB 17.4 ± 3.0 mmHg idi. İlk 3 enjeksiyon sonrası ortalama EİDGK ve GİB değerlerinde istatistiksel anlamlı değişiklik izlenmedi. Enjeksiyon sonrası 1. günde 1 gözde (%0.3) ön kamara steril inflamasyonu, 2 gözde (%0.6) vitreus hemorajisi ve 1 hastanın enjeksiyon sonrası 2. günde diğer gözünde (%0.3) santral retinal arter oklüzyonu (SRAO), 3. günde 4 gözde (%1.2) geçici GİB yükselmesi izlendi. Enjeksiyon sonrası 15. gün, 1. ay ve 2. ayda toplam 3 hastada (%0.9) kardiyovasküler olay izlendi.

SONUÇ:En sık enjeksiyon endikasyonu DMÖ, oküler en sık komplikasyon GİB yükselmesi, sistemik en ciddi komplikasyon kardiyovasküler olay ve santral retinal arter oklüzyonu idi. Sistemik komplikasyonlar açısından hastaların enjeksiyon öncesi ayrıntılı sorgulanması ve koinsidans ihtimalinin de göz önünde bulundurulması tıbbi ve yasal zorunluluklar açısından önem arz etmektedir.

Anahtar Kelimeler: intravitreal bevasizumab, yan etki, kardiyovasküler olay

SS08 HİDROKSİKLOROKİN KULLANIMININ RETİNA VE MAKÜLER PİGMENT OPTİK DENSİTESİ ÜZERİNE ETKİSİ

Naciye Kabataş¹, Neşe Arslan Avarisli¹, Cem Özişler²

¹S.B.Ü. Dışkapı Yıldırım Beyazıt Eğitim ve Araştırma Hastanesi Göz Hastalıkları Kliniği, Ankara

²S.B.Ü. Dışkapı Yıldırım Beyazıt Eğitim ve Araştırma Hastanesi Romatoloji Bölümü, Ankara

AMAÇ:Hidroksiklorokin kullanımının retina ve maküler pigment optik dansitesi (MPOD) üzerine etkilerini araştırmak

GEREÇ:Çalışmaya hidroksiklorokin kullanan ve oküler patolojisi olmayan hastalar dahil edildi. Kontrol grubu olarak yaş ve cinsiyet uyumlu sağlıklı bireyler alındı. Hastalara tam oftalmolojik muayene, fundus fotoğrafı, fundus otofloresan, optik koherens tomografi, görme alanı (10-2) yapıldı. Maküler pigment optik dansite fundus reflektometre ile ölçüldü.

BULGULAR:Çalışmaya hidroksiklorokin kullanan 53 hasta ile 40 sağlıklı kişi dahil edildi. Hastaların 4'ü (%7,5) erkekti. Yaş ortalaması ilaç kullanan grupta 53,2±10,1 kontrol grubunda 52,1±8,3 idi (p=0,992). Santral fovea kalınlığı ve görme alanındaki ortalama deviasyon ve patern standart deviasyon açısından gruplar arasında fark saptanmadı (sırasıyla p=0,611, p=0,527, p=0,286). Beş (%9,4) hastada parafoveal hiperfloresan lezyon görüldü. Koroid kalınlığı ilaç kullanan grupta daha ince olarak saptandı (p=0,001). MPOD maksimum değeri ilaç kullanan grupta 0,30±0,09 kontrol grubunda 0,37±0,07, MPOD ortalama değeri ilaç kullanan grupta 0,11±0,04 kontrol grubunda 0,13±0,03 bulundu (sırasıyla p=0,001, p=0,015).

SONUÇ:Hidroksiklorokin kullanımı koroid kalınlığında incelmeye ve makula pigmentinde azalmaya neden olabilir. Bu durumun uzun dönem görsel prognoza etkisi araştırılmalıdır.

Anahtar Kelimeler: hidroksiklorokin, maküler pigment optik dansite, otofloresans

SS09 İNTRAVİTREAL AFLİBERCEPT ENJEKSİYONU YAPILAN PREMATÜRE RETİNOPATİLİ BEBEKLERDE; SERUM VASKÜLER ENDOTELYAL BÜYÜME FAKTÖRÜ, İNSÜLİN BENZERİ BÜYÜME FAKTÖRÜ-1 VE AFLİBERCEPT KONSANTRASYONLARININ DEĞERLENDİRİLMESİ

Utku Furuncuoğlu, Aslı Vural, Fadime Ulviye Yiğit
T.C. Sağlık Bilimleri Üniversitesi Bakırköy Dr. Sadi Konuk Sağlık ve Uygulama Merkezi

AMAÇ:Kliniğimizde, prematüre retinopatili (PR) bebeklerde uygulanan anti-VEGF ajan olan afliberceptin sistemik dolaşıma geçişini; enjeksiyon öncesi ve sonrası serum vasküler endotelyal büyüme faktörü (VEGF) ve insülin büyüme faktörü-1 (IGF-1) düzeylerini değerlendirmek

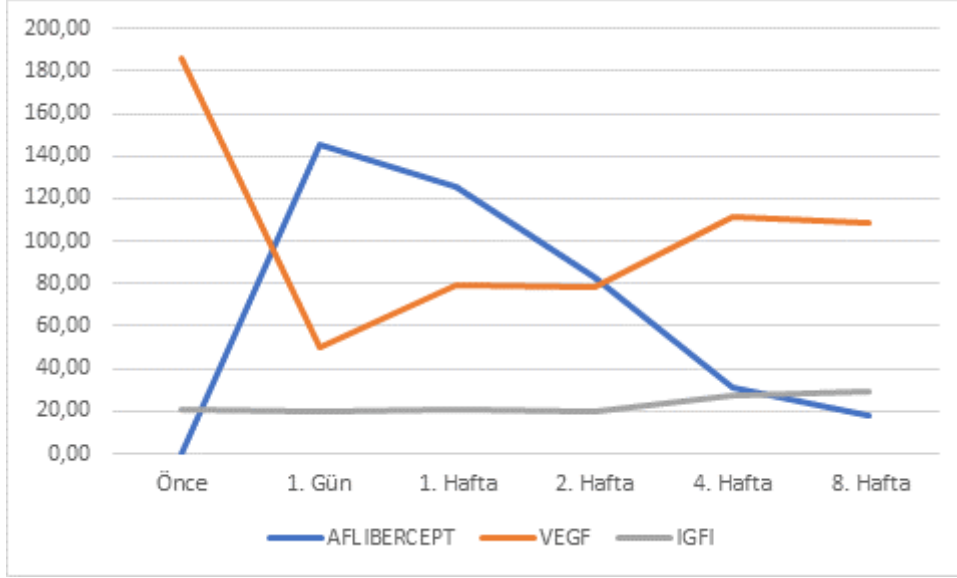
GEREÇ:Kliniğimiz PR Tanı ve Tedavi Merkezi'nde Kasım 2018 ile Temmuz 2019 arasında primer tedavi olarak intravitreal aflibercept (İVA) tedavisi alan PR'li bebekler çalışmaya dahil edildi. Hastaların; enjeksiyon öncesi; enjeksiyon sonrası sırasıyla 1.gün, 1., 2., 4., ve 8. haftalarda rutin laboratuvar ölçümleri için alınan venöz kan örneklerinden, alınabilen uygun bir miktarı (en az 0,2 ml) sarı kapaklı jelli tüplere ayrıldı. Alınan örnekler Biyokimya laboratuvarında 10 dakika santrifüj edilerek -80 C' de analiz edilene kadar saklandı. Tüm örnekler toplandıktan sonra toplu olarak analiz edildi.

BULGULAR:Çalışmaya 15 hasta dahil edilmiştir. 15 hastanın her iki gözüne; toplam 30 göze 1 mg/0.025 ml aflibercept enjeksiyonu uygulanmıştır. Hastaların 5'i kız, 10'u erkek idi. Hastaların doğum kilosu ortalaması 1360±400 g, gebelik yaşı (GY) ortalaması 30±3, enjeksiyon sırasında postmenstrüel yaş ortalaması 37±2 hafta idi. Hastaların tümünde, tek doz İVA enjeksiyonu tedavisi ile hastalığın gerilemesi sağlandı.Ortalama serum VEGF düzeyleri enjeksiyon öncesi değere göre enjeksiyon sonrası sırasıyla 1. gün, 1., 2., 4., ve 8. haftalarda anlamlı olarak düşüktü ($p<0.005$). Ortalama serum aflibercept düzeyleri İVA enjeksiyonu sonrası 1. gün ile kıyaslandığında; 1., 2., 4. ve 8. haftalarda anlamlı olarak düşüktü ($p<0.005$).

SONUÇ:PR'li bebeklerde İVA enjeksiyonu sonrası serum VEGF düzeyleri önceki seviyelerine göre anlamlı olarak düşüş göstermektedir. 8. haftada dahi İVA enjeksiyonu öncesi seviyelerine dönmemiştir. PR'li bebeklerde intravitreal uygulama sonrası aflibercept, 1. günde serumda en yüksek düzeye ulaşmış, sonrasında düşüşe geçmiştir. Bebeklerde anti-VEGF ajanların sistemik yan etkileri konusunda dikkatli olunmalıdır.

Anahtar Kelimeler: Aflibercept, İntravitreal enjeksiyon, Prematüre retinopatisi

Ortalama serum aflibercept, VEGF, IGF-1 düzeylerinin haftalara göre değişimi



Ortalama serum aflibercept, VEGF, IGF-1 düzeylerinin haftalara göre değişimi

SS10 MAKÜLA PİGMENT OPTİK YOĞUNLUĞUNUN YÜKSEK DUYARLIKLILIKLI C-REAKTİF PROTEİN, D VİTAMİNİ VE SERUM LİPİDLERİ İLE İLİŞKİSİNİN DEĞERLENDİRİLMESİ

Neslihan Bayraktar Bilen¹, Derya Köseoğlu²

¹Ankara Bilkent Şehir Hastanesi

²Hitit Üniversitesi Erol Olçok Eğitim ve Araştırma Hastanesi

AMAÇ:Yaşa bağlı makula dejenerasyonunun (YBMD) etiyojisinde oksidatif stres, inflamasyon, yüksek serum lipid düzeyleri gibi aterosklerotik risk faktörleri rol almaktadır. Makula pigmentleri (lutein ve zeaksantin) antioksidandır ve retinayı YBMD'ye karşı korur. Makula pigment optik yoğunluğu (MPOY) ölçülebilen ve YBMD için modifiye edilebilen bir risk faktörüdür. Bu çalışmanın amacı MPOY ile sistemik inflamasyon belirteci olan yüksek duyarlılık C-reaktif protein (hs-CRP), antiinflamatuvar etkili D vitamini ve kardiyovasküler risk faktörü olarak bilinen serum lipid değerleri arasındaki ilişkiyi belirlemektir.

GEREÇ:102 gönüllü bu prospektif kesitsel çalışmaya dahil edilmiştir. Çalışmaya dahil etme kriterleri 18 yaş ve üzeri olmak, hafif katarakt dışında bir göz hastalığı olmamak, normal fundus muayenesine sahip olmak ve görme keskinliğinin 0,8 ve üzeri olmasıdır. Dışlama kriterleri $\geq \pm 4$ sferik eşdeğer, göz cerrahisi geçirmek, göz hastalığı (orta veya ileri katarakt, glokom, YBMD), göze lazer veya enjeksiyon yapılmış olması. Çalışmaya her katılımcının tek gözü alındı, MPOY heterokromik fliker fotometri prensibi ile çalışan Macular Pigment Screener (MPS II, England) ile ölçüldü. Hastaların serum hs-CRP, 25-hidroksi vitamin D, HDL, LDL, TG ve total kolesterol seviyeleri belirlendi.

BULGULAR:Katılımcılar hs-CRP değerlerine göre 3 gruba ayrıldı: Grup 1 (hs-CRP < 1 mg/l) (n = 15), Group 2 (hs-CRP 1-3 mg/l) (n = 32) and Group 3 (hs-CRP > 3 mg/l) (n = 41). D vitamini seviyesi düşük (<20 ng/ml) (n = 71) ve yeterli (≥ 20 ng/ml) (n = 12) olarak iki gruba ayrıldı. Gruplar arasında yaş, cinsiyet ve sigara içimi açısından fark yoktu. Hs-CRP grupları arasında MPOY açısından fark izlenmedi ($0,56 \pm 0,14$ & $0,56 \pm 0,14$ & $0,56 \pm 0,15$; $p > 0,05$). D vitamini grupları arasında MPOY açısından anlamlı fark izlendi ($0,55 \pm 0,14$ & $0,63 \pm 0,11$; $P = 0,043$). MPOY ile HDL, LDL, TG ve total kolesterol değerleri arasında anlamlı bir korelasyon izlenmedi.

SONUÇ:Yüksek vitamin D seviyeleri yüksek MPOY ile ilişkilidir.

Anahtar Kelimeler: D vitamini, hs-CRP, makula pigment optik yoğunluğu

SS11 DİYABETİK MAKÜLER ÖDEM TEDAVİSİNDE İNTRAVİTREAL BEVACİZUMAB TEDAVİSİNE YATNITSIZ DEKSAMETAZON İMPLANTA YANIT ALINAN HASTALARDA PROGNOSTİK FAKTÖRLER

Ayşegül Penbe, Hatice Selen Kanar, Aysu Arsan

Kartal Lütfi Kırdar Eğitim ve Araştırma Hastanesi, Göz Hastalıkları Ana Bilim Dalı

AMAÇ:Diyabetik maküler ödem (DMÖ) nedeniyle intravitreal bevacizumab tedavisi alan hastaların deksametazon implantına (Dİ) geçiş oranlarını karşılaştırmak ve hastaların başlangıç klinik ve spektral domain optik koherens tomografi (SD-OKT) bulgularını ve sonuç bulgularını karşılaştırmak

GEREÇ:DMÖ nedeniyle İVB tedavisi alan hastalar dahil edildi.Tüm hastalara başlangıçta en iyi düzeltilmiş görme keskinliği (EİDGK),oküler tonus ölçümü,ön ve arka segment muayenelerinden sonra fundus flöresein anjiyografi (FA) ve SD-OKT yapıldı.FA'da iskemi,SD-OKT'de santral maküler kalınlık(SMK),subfoveal koroidal kalınlık(SFKK),foveyayı çeviren 1500 µm alanda hiperreflektif nokta (HRN) sayısı,Elipsoid zone (EZ) distupsiyonu,subretinal sıvı(SRS) varlığı değerlendirildi.3 yükleme İVB enjeksiyonlarından sonra aylık kontroller yapıldı.EİDGK'de ≥ 1 sıra artış olması ve/veya SD-OKT'de SMK'de %20 azalma olması 'tedaviye cevap var' şeklinde değerlendirildi.Bu kriterleri sağlamayan hastalarda Dİ tedavisine geçildi.Hastaların enjeksiyon sayıları, Dİ tedavisine geçiş oranları ve geçiş süreleri kaydedildi. Dİ'ye cevap veren ancak İVB'ye cevap vermeyen hastaların başlangıç klinik ve görüntüleme bulguları karşılaştırıldı

BULGULAR:Çalışmaya 104 hastanın 104 gözü dahil edildi. Başlangıç ortalama (ort.) EİDGK 0.65 ± 1.24 LogMAR, ort.SMK 478.33 ± 67.25 µm ve ort.subfoveal koroidal kalınlık (SFKK) 263.45 ± 55.83 µm olarak saptandı. İlk 3 yükleme İVB tedavisinden sonra 4. ay kontrollerinde 38 hastada Dİ tedavisine geçildi,daha sonraki kontrollerde ise 11 hastada daha Dİ tedavisine geçiş oldu.Başlangıç EİDGK ≥ 0.72 LogMAR olan,OKT'de başlangıç SFKK ≤ 234 µm ve EZ distupsiyonu olması univaryant analizde anlamlı bulunmuştur.SMK, subretinal sıvı ve HRN bulunup bulunmaması,Dİ'ye geçiş ve Dİ tedavisine cevap verme açısından anlamlı bulunmamıştır

SONUÇ:DMÖ tedavisinde İVB tedavisinden Dİ tedavisine geçiş oranı literatürdeki örneklere göre daha fazla bulunmuştur.Başlangıç OKT ve klinik bulguları tedavi değişimi ve idamesi hakkında bilgi vermektedir

Anahtar Kelimeler: Bevacizumab, Deksametazon implant, Diyabetik maküler ödem, Optik koherens tomografi

SS12 NON-PROLİFERATİF DİYABETİK RETİNOPATİ HASTALARINDA PUPİL YANITLARI

Seyfettin Erdem

Dicle üniversitesi Tıp fakültesi, Göz hastalıkları Anabilim Dalı, Diyarbakır

AMAÇ: Non proliferatif diyabetik retinopatisi olan Diayabetes mellitus hastalarında pupiller tutulumun varlığını araştırmayı amaçladık.

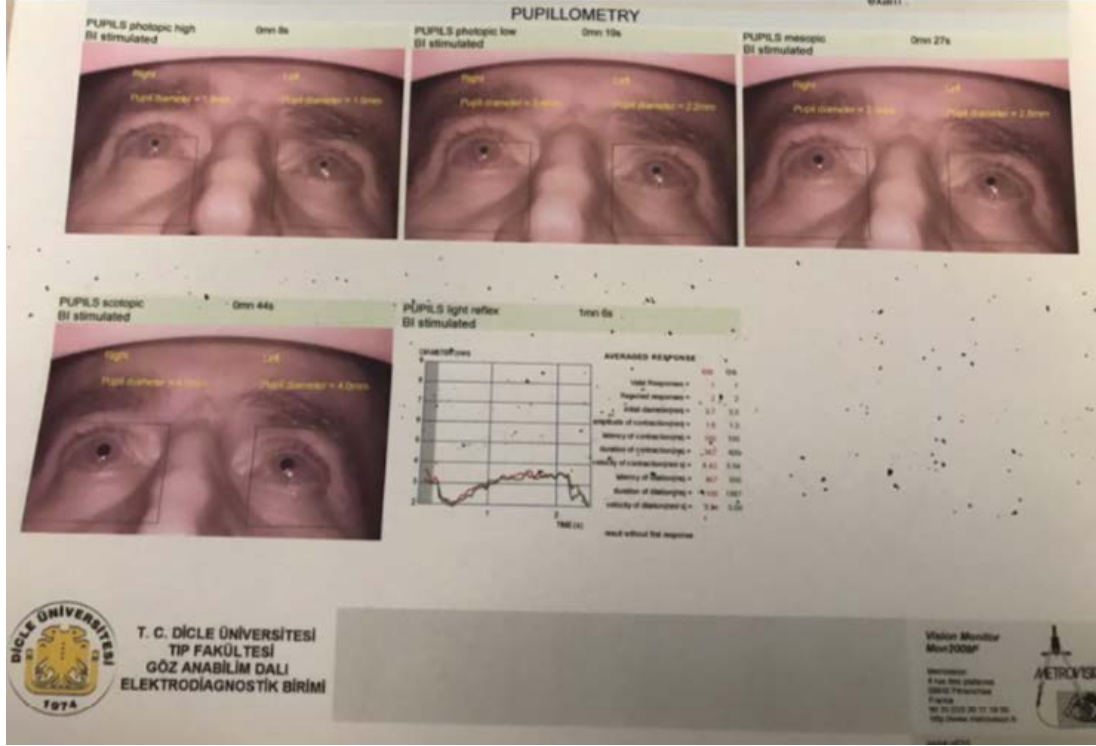
GEREÇ:Çalışmaya non-proliferatif diyabetik retinopati (DR) olan 25 hasta ile 25 sağlıklı kontrol grubu alındı. Hastaların fundus muayenelerini içeren tam bir oftalmolojik muayeneleri yapıldı. Her hasta için sktopik pupil çapı (PÇ), mezopik PÇ, düşük fotopik PÇ, yüksek fotopik PÇ içeren statik pupillometri ölçümleri ile istirahatteki pupil çapı, kontraksiyon amplitüdü, latansı, süresi, hızı ile dilatasyon latansı,süresi ve hızını içeren dinamik pupillometre ölçümleri otomatik pupillometri sistemi ile ölçüldü. Sonuçlar kaydedilip değerlendirildi.

BULGULAR:Non-proliferatif DR olan hastalarda yüksek fotopik cevaplar dışında tüm statik cevapların anlamlı olarak daha düşük olduğu saptandı. Bu hastaların dinamik pupil cevaplarında istirahatteki pupil çapı,amlitüdü,hızı, diatasyon süresi ve hızı anlamlı olarak daha yüksek saptanırken, kontraksiyon latansı ve dilatasyon latansı ise anlamlı olarak daha yüksekti. Ancak iki grup arasında kontraksiyon süresinin benzer olduğu saptandı.

SONUÇ:Non proliferatif diyabetik retinopatisi olan Diayabetes mellitus hastalarında pupiller tutulum olduğunu saptadık. Bu yüzden, diyabetik otonomik nöropatinin erken tanısında otomatik pupillometri sistemi kullanılabilir, non-invaziv bir tarama aracı olabilir.

Anahtar Kelimeler: diyabetik retinopati, pupillometri, otonom nöropati

Non-proliferatif DR olan hastanın pupillometri ölçümü



Non-proliferatif DR olan hastanın pupillometri ölçümü

SS13 HELİKOBAKTERİ PİLORİ ENFEKSİYONU OLAN HASTALARDA KONJONKTİVAL İMPRESYON SİTOLOJİSİ VE KURU GÖZ

Meydan Turan¹, Gülay Turan²

¹Balıkesir Atatürk Şehir Hastanesi, Göz Hastalıkları Kliniği, Balıkesir

²Balıkesir Üniversitesi Tıp fakültesi, Tıbbi Patoloji A.D, Balıkesir

AMAÇ:Helikobakter pilori (HP) enfeksiyonu yaygın olarak görülmektedir. Dünya nüfusunun yarısından çoğunun HP ile enfekte olduğu tahmin edilmektedir. HP'nin birçok hastalık ile ilişkisi bildirilmiştir. Bu çalışmada HP'li hastaların oküler yüzey bulgularını değerlendirmeyi amaçladık.

GEREÇ:Çalışmaya 71 hasta dahil edildi. Grup 1'de, 41 HP'li hasta, Grup 2'de, 30 HP'siz gönüllü hasta mevcuttu. HP tanısı, endoskopik biyopsi örneğinin Giemsa boyası ile boyanarak histopatolojik olarak incelenmesi ile konuldu. Histopatolojik değerlendirmede, Sidney sınıflamasına göre HP yoğunluğu 1+, 2+, 3+ olarak derecelendirildi. 30 gönüllü hastanın endoskopik biyopsi örneğinde HP tespit edilmedi. Tüm hastalara tam oftalmolojik muayene yapıldı. 71 olgunun 71 gözü çalışmaya dahil edildi. Olguların oküler yüzeyi Konjonktival impresyon sitolojisi (CIC), Schirmer I testi, Gözyaşı kırılma zamanı (TBUT) ile değerlendirildi. İstatistiksel analizde, bağımsız T testi ve Pearson korelasyon analizi kullanıldı.

BULGULAR:CIC (grade) değerlendirildiğinde Grup 1'de ortalama 1.12 ± 0.90 , Grup 2'de ortalama 0.60 ± 0.68 idi ve iki grup arasındaki fark anlamlı idi ($p < 0.009$). Schirmer I testi: Grup 1'de ortalama 16.73 ± 7.72 , Grup 2'de ortalama 20.00 ± 2.94 idi. Grup 1 ve grup 2 karşılaştırıldığında, grup 1'de Schirmer I testi anlamlı olarak düşüktü ($p < 0.031$). TBUT değeri, Grup 1'de ortalama 11.27 ± 3.30 , Grup 2'de ortalama 13.27 ± 1.64 idi. Grup 1'de, TBUT değeri anlamlı olarak düşüktü ($p < 0.003$). Korelasyon analizinde, HP yoğunluğu ile CIC arasında anlamlı pozitif korelasyon vardı ($P < 0.001$, $r = 0.82$). HP yoğunluğu ile Schirmer I testi, TBUT arasında anlamlı negatif korelasyon vardı ($P < 0.001$, $r = -0.79, -0.68$, sırasıyla).

SONUÇ:HP'li hastalarda, kuru göz prevalansının artmış olduğu görüldü. Klinikte, HP tespit edilen hastaların kuru göz açısından değerlendirilmesi önemlidir.

Anahtar Kelimeler: Helikobakter Piloni, Kuru göz, Konjonktival impresyon sitolojisi, Schirmer I testi, TBUT.

SS14 FS-LASİK AND WFG FS-LASİK PROSEDÜRLERİNİN YÜKSEK SIRALI ABERASYONLAR AÇISINDAN KIYASLANMASI

Fikret Uçar
Konyagöz Hastanesi

AMAÇ:FS-LASİK ve WFG FS-LASİK prosedürlerinin yüksek sıralı aberasyonlar açısından kıyaslanması.
GEREÇ:Miyopi ve/veya miyopik astigmatı olan ve FS-LASİK prosedürü uygulanan 112 hastanın 224 gözü (Grup 1) ile WFG FS-LASİK prosedürü uygulanan 110 hastanın 220 gözü (Grup 2) yüksek sıralı aberasyonlar açısından kıyaslandı. Birinci grubun ortalama yaşı 26.28 ± 5.98 (21-44) idi. Bu gruptaki hastaların 54'ü erkek (%48), 58'i de kadındı (%52). İkinci grubun ortalama yaşı 25.34 ± 5.73 (20-44) idi. Bu gruptaki hastaların ise 54'ü erkek (%49), 56'sı de kadındı (%51).

BULGULAR:İki grup arasında yaş ve cinsiyet açısından anlamlı bir farklılık yoktu ($p>0.05$). İki grup arasında preoperatif ve postoperatif sferik, silindirik, sferik eşdeğer, düzeltilmemiş ve düzeltilmiş görme keskinlikleri açısından da anlamlı bir farklılık yoktu ($p>0.05$). FS-LASİK uygulanan gözlerde postoperatif koma, trefoil ve sferik aberasyon oranı WFG FS-LASİK uygulanan gözlere göre anlamlı olarak daha fazlaydı ($p<0.05$).

SONUÇ:Miyopi ve miyopikastigmatizmanın tedavisinde uygulanan FS-LASİK ve WFG FS-LASİK prosedürleri etkin ve güvenilir tedavi modaliteleridir. FS-LASİK prosedürü daha fazla postoperatif yüksek sıralı aberasyonlara(koma, trefoil ve sferik aberasyon) neden olmaktadır.

Anahtar Kelimeler: FS-LASİK, koma, sferik aberasyon, trefoil, WFG FS-LASİK, yüksek sıralı aberasyon

SS15 ALFA1-A ANTAGONİST TEDAVİSİ ALAN HASTALARDA İNTRAOPERATİF GEVŞEK (FLOOPY) İRİS SENDROMUNUN PREOPERATİF DÖNEMDE PUPİLLOGRAFİ İLE SAPTANMASI

Gözde Şahin

Balıkesir Üniversitesi Tıp Fakültesi, Göz Hastalıkları Ana Bilim Dalı, Balıkesir

AMAÇ:Alpha-1 antagonist ilaç tedavisi alan ve intraoperatif gevşek (floopy) iris sendromu (İFİS) tanısı alan katarakt hastalarında preoperatif dönemde pupil çaplarının değerlendirilip kontrol grubuyla kıyaslanması ve bu sendrom ile ilişkili postoperatif komplikasyon sıklığının saptanması

GEREÇ:Alfa-1a antagonisti (alfuzosin, tamsulosin) tedavisi alan ve katarakt cerrahisi planlanan erkek hastalar çalışmaya dahil edildi. Hastalar intraoperatif iris davranışına göre (İFİS) var ya da yok olarak gruplandırıldı. Tüm hastalara preoperatif dönemde pupil çapı ölçümleri yapılarak iki grup kıyaslandı.

BULGULAR:Çalışmaya 94 benign prostat hiperplazisi hastası dahil edildi. Bu hastalardan 77'si çalışmaya dahil edilme kriterlerini karşılamaktaydı. Hastaların %51.9'u (n:40) tamsulosin, %48.1'i (n:37) alfuzosin tedavisi almaktaydı. Yaş eşlenik 57 hasta kontrol grubu olarak değerlendirildi. İFİS grubunda yaş ortalaması 66.95 ± 9.22 yıl iken, kontrol grubunda 66.29 ± 7.87 yıl idi. (p:0.148) İFİS grubunda ve kontrol grubunda pupil çapları sırasıyla skotopik 9.54 ± 1.78 mm, 9.72 ± 1.57 mm (p:0.255); mezopik 8.54 ± 1.43 mm, 8.74 ± 1.25 mm (p:0.289) ve fotopik 6.99 ± 1.35 mm, 7.27 ± 1.39 mm (p:0.662) idi. Tüm aydınlatma şartlarında İFİS grubunda pupil çapları daha düşük saptanmasına rağmen istatistiksel anlamlı fark saptanmadı.

SONUÇ:İFİS, intraoperatif ve postoperatif komplikasyon sıklığındaki artış nedeniyle önemli bir klinik durumdur bu nedenle preoperatif dönemde tanısını koymak ve uygun cerrahi yöntemi belirlemek olası komplikasyonları önleme açısından önemlidir. Bu amaçla pupillografik ölçümlerin kullanılması uygun görünmemektedir.

Anahtar Kelimeler: katarakt, gevşek iris sendromu, pupillografi, benign prostat hiperplazisi

SS16 OKÜLER YÜZEY HASTALIKLARINDA PLATELETTEN ZENGİN PLAZMA TEDAVİSİNİN ETKİNLİĞİ

Özlem Dikmetaş, Sibel Kocabeyoğlu, Murat İrkeç
Hacettepe Üniversitesi, Göz Hastalıkları Ana Bilim Dalı, Ankara

AMAÇ:Plateletten zengin plazma (PZP) yüksek oranda büyüme faktörü ve sitokin içermektedir. Oküler yüzeysel rejenerasyonu sağlamada ve inflamasyonunu azaltmada etkili olacağı düşünülmektedir. Oküler yüzeysel hastalıklarının tedavisinde kullanılmakta olan PZP tedavisinin etkinliğini değerlendirmek amaçlanmıştır.

GEREÇ:Nisan 2018 – Kasım 2019 tarihleri arasında kliniğimizde oküler yüzeysel hastalıkları tanısı alan toplam 21 hasta retrospektif olarak incelendi. Hastalara topikal PZP 4x1 hospitalize edilerek 10 gün boyunca uygulandı. Hastaların görme keskinlikleri (logMAR), gözyaşı kırılma zamanı (GKZ), floresein boyanma değerleri ile klinik oküler yüzeysel değerlendirme, subjektif hasta klinik yakınmalarındaki değişiklikler değerlendirildi. Tedavi öncesi ile tedavi sonrası bulgular değerlendirildi.

BULGULAR:Çalışmaya 21 hasta (15 erkek/6 kadın) dahil edildi. Çalışmaya dahil edilen olguların yaş ortalaması 47.38±13.40 (aralık, 2-73) idi. Altı rekürren korneal epitel defekti, 4 kuru göz sendromu, 4 radyasyon epitelopatisi, 3 greft versus host sendromu, 2 nörotrofik keratopati, 1 adenoviral keratit sonrası iyileşmeyen epitel defekti, 1 steroid olmayan antiinflamatuvar ilaç toksisitesine bağlı iyileşmeyen epitel defekti çalışmaya dahil edildi. Tüm hastalarda tedavi ile belirgin klinik düzelme saptandı. Klinikte kötüye gitme veya enfeksiyon bulgusu saptanmadı. Oküler yüzeysel boyanma tüm olgularda normale döndü. Başlangıç GKZ 3.25±1.12 saniye (aralık, 1-4) iken tedavi sonrası 5.24±1.25 saniye olarak saptandı (aralık, 4-6) (p<0.001). Tedavi öncesi floresein boyanma derecesi 3.42±0.69 tedavi sonrası değerler 1.36 ± 0.49 olarak ölçüldü (p<0.001). Tedavi öncesi görme keskinliği 0.58±1.35 logMAR, tedavi sonrası değerler 0.45 ± 0.11 logMAR olarak ölçüldü (p=0.169).

SONUÇ:Genellikle kuru göz tedavisinde kullanılan PZP tedavisinin birçok oküler yüzeysel hastalığında etkili olarak kullanılabileceği akılda bulundurulmalıdır

Anahtar Kelimeler: Plateletten zengin plazma, oküler yüzeysel, kuru göz, rekürren kornea erozyonu

SS17 FARKLI KERATOREFRAKTİF YÖNTEMLERLE DÜZELTİLEN BENZER KIRMA KUSURUNUN KERATOMETRİK DEĞER ÜZERİNE ETKİLERİ

Çağrı İlhan¹, Kemal Tekin², Kemal Özülken³

¹Hatay Devlet Hastanesi, Göz Hastalıkları Kliniği, Hatay

²Erciş Devlet Hastanesi, Göz Hastalıkları Kliniği, Van

³TOBB Üniversitesi, Göz Hastalıkları Ana Bilim Dalı, Ankara

AMAÇ:Fotorefraktif keratektomi (PRK) ve laser in-situ keratomileusis (LASIK) gibi farklı keratorefraktif yöntemlerle düzeltilen benzer büyüklükteki miyopik ve birleşik miyop astigmatik kırma kusurunun, korneal keratometrik güç üzerindeki etkilerinin benzer olup olmadığının araştırılmasıdır.

GEREÇ:Bu geriye dönük, randomize olmayan, karşılaştırmalı klinik araştırma Ocak 2018 ve Haziran 2019 tarihleri arasında TOBB ETÜ Hastanesi'nde gerçekleştirilmiştir. Uygulanan cerrahiye göre olgular PRK (n=100) ve LASIK (n=76) olarak 2 gruba ayrılmıştır ve her bir hastanın sağ gözü çalışmaya dahil edilmiştir. Olguların cerrahi öncesi ve cerrahi sonrası 6. aydaki klinik verileri göz önünde bulundurularak sferik eşdeğerindeki (SE) azalma ile SEfark ve ortalama keratometrideki (Km) değişim ile Kfark değerleri hesaplanmıştır. SEfark/Kfark hesaplaması ile birim SE değişiminin Km üzerindeki etkileri araştırılmış ve gruplar arasında karşılaştırma yapılmıştır.

BULGULAR:PRK ve LASIK grupları arasında cinsiyet (p=0,348) ve yaş (p=0,768) bakımından anlamlı fark yoktu. SEfark değeri PRK grubunda $-3,36 \pm 1,46$ D (-0,88 ile -6,50 D) iken LASIK grubunda $-3,26 \pm 1,41$ D (-1 ile -6,13 D) idi ve gruplar arasında anlamlı fark yoktu (p=0,206). SEfark/Kfark parametresi PRK grubunda $0,78 \pm 0,46$ (-2,66 ile -0,86) iken LASIK grubunda $-1,21 \pm 0,39$ (-3,10 ile -0,30) idi ve gruplar arasında anlamlı fark yoktu (p=0,184).

SONUÇ:Benzer büyüklükteki miyopik veya birleşik miyop astigmatik kırma kusuru düzeltmesinde uygulanan PRK ve LASIK cerrahilerinin Km değerindeki cerrahi ile elde edilen değişim üzerine olan etkileri benzerdir.

Anahtar Kelimeler: Keratometri, LASIK, PRK, refraktif cerrahi, sferik eşdeğer.

SS18 PTERJİUM CERRAHİSİ SONRASI DEKSPANTENOL JEL İLE OTOLOG SERUMUN SUBJEKTİF SEMPTOMLAR ÜZERİNE ETKİSİNİN KARŞILAŞTIRILMASI

Erdoğan Yaşar, Uğur Gürlevik

Aksaray Üniversitesi Tıp Fakültesi Göz Hastalıkları Anabilim Dalı, Aksaray

AMAÇ:Bu çalışmadaki amacımız, otolog serum ve epitelizan özelliği ile ön plana çıkan%5 dekspantenol jelinin pterjium cerrahisi sonrası subjektif semptomlar üzerindeki etkisini araştırmaktır.

GEREÇ:Haziran 2017-Aralık 2017 tarihleri arasında aynı cerrah tarafından pterygium ameliyatı yapılan hastalara ait değerlendirme yapıldı. Hastalar ameliyat sonrası Grup 1'de (n: 18) otolog serum ve Grup 2'de% 5 dekspantenol jel kullanılarak 2 gruba ayrıldı. (n: 12). Her iki grupta da postoperatif ağrı, batma, tahriş, kızarıklık ve greft ödemi yönünden değerlendirme yapıldı.

BULGULAR:Gruplar arasında 1., 3. ve 7. günlerde ağrı, acı ve sulanma açısından istatistiksel olarak anlamlı fark yoktu. Dekspantenol kullanan grupta 3 ve 7. günlerde bu şikayetlerde istatistiksel olarak anlamlı bir azalma gözlemlendi ($p<0.05$) Gruplar arasında kızarıklık ve greft ödemi açısından 1., 3. ve 7. günlerde istatistiksel olarak anlamlı fark yoktu ($p>0.05$). Her iki grupta da, bu bulgularda 3. ve 7. günlerde istatistiksel olarak anlamlı bir artış tespit edildi ($p<0.05$).

SONUÇ:Pterjiyum cerrahisi sonrası birçok ajan hasta konforunu arttırmaktadır. Kullanılan ajanların ortak özelliği epitelizan olmalarıdır.Bu alanda otolog serum en güvenilir ve en çok araştırılan ajandır. Dexpanthenol, hastanın rahatı ve yara iyileşmesi açısından ön segment cerrahisine alternatif olabilir.

Anahtar Kelimeler: Pterjium, dekspantenol jel, otolog serum, subjektif semptomlar

SS19 ENDOPLAZMİK RETİKULUM STRES İNHİBİSYONU ALKALİ KORNEA YANIKLARINA BAĞLI İNFLAMASYONU AZALTABİLİR Mİ?

Umur Karaca¹, Mehtap Savran², Gülşah Usta¹, Kanat Güllü³, Fatma Nihan Cankara², Halil Aşcı²

¹Süleyman Demirel Üniversitesi, Göz Hastalıkları AD, Isparta

²Süleyman Demirel Üniversitesi Tıbbi Farmakoloji AD., Isparta

³Süleyman DEMirel Üniversitesi Histoloji ve Embriyoloji AD, Isparta

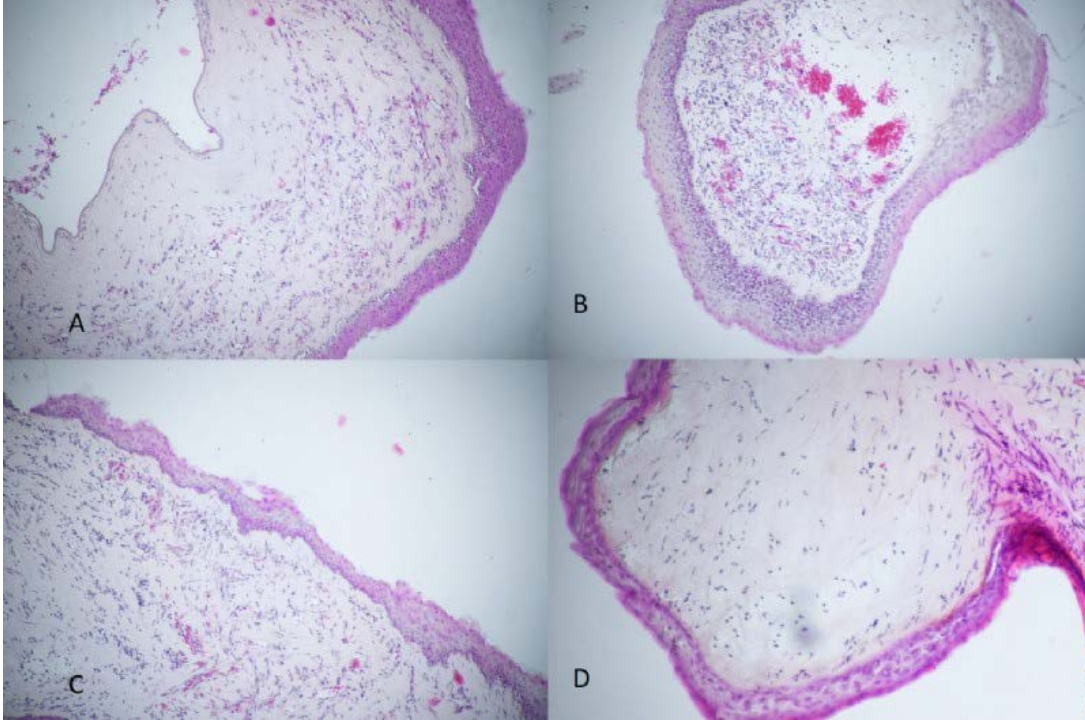
AMAÇ:Endoplazmik Retikulum Stres inhibisyonunun Alkali yanık sonrası oluşan inflamasyon ve neovaskülarizasyona etkisini değerlendirmek ve etki oluşturan en düşük dozu belirlemek

GEREÇ:Endoplazmik Retikulum stres inhibitörü olarak Salubrinal kullanılmıştır. Salubrinalin sistemik dozu 1 mg/kg/gün' dür. Çalışma her grupta 1 hayvan olacak şekilde dört gruba ayrılan 250-300 mg Wistar ratlar ile yapıldı. Anestezi uygulandıktan sonra gruptaki hayvanların her iki gözleri muayene edilerek sağ gözlerinin kornea santraline %75 gümüş nitrat ve %25 potasyum nitrat ile kaplanmış çubukla 4 saniye süresince koter yapılarak yaklaşık 2 mm genişlikte kimyasal yanık (KNV) oluşturuldu. Sağ gözlerle KNV modeli oluşturulduktan sonra 4 gruba sırasıyla 0.1; 0.25; 0.50; ve 1 mg/kg dozlarda subkonjunktival Salubrinal uygulandı. Sol gözlerle ise KNV modeli oluşturmadan yalnızca aynı dozlarda subkonjunktival Salubrinal uygulandı. 7. gün sakrifiye edilen hayvanlardan alınan kornea dokuları histopatolojik olarak değerlendirildi.

BULGULAR:Çalışma sonunda yapılan histopatolojik değerlendirme sonucunda 0.1 mg/kg, 0.25 mg/kg ve 0.5 mg/kg salubrinal verilen gruplarda doza bağlı olarak azalma olsa da inflamasyon ve vaskülarizasyon izlendi. 1 mg/kg salubrinal verilen grupta ise inflamasyonun diğer gruplara göre çok daha az olduğu ve vasküler yapıların bulunmadığı gözledi. Hiçbir grupta sol gözlerdeki sağlam kornea dokusunda histolojik olarak salubrinale bağlı toksik bir bulguya rastlanmadı.

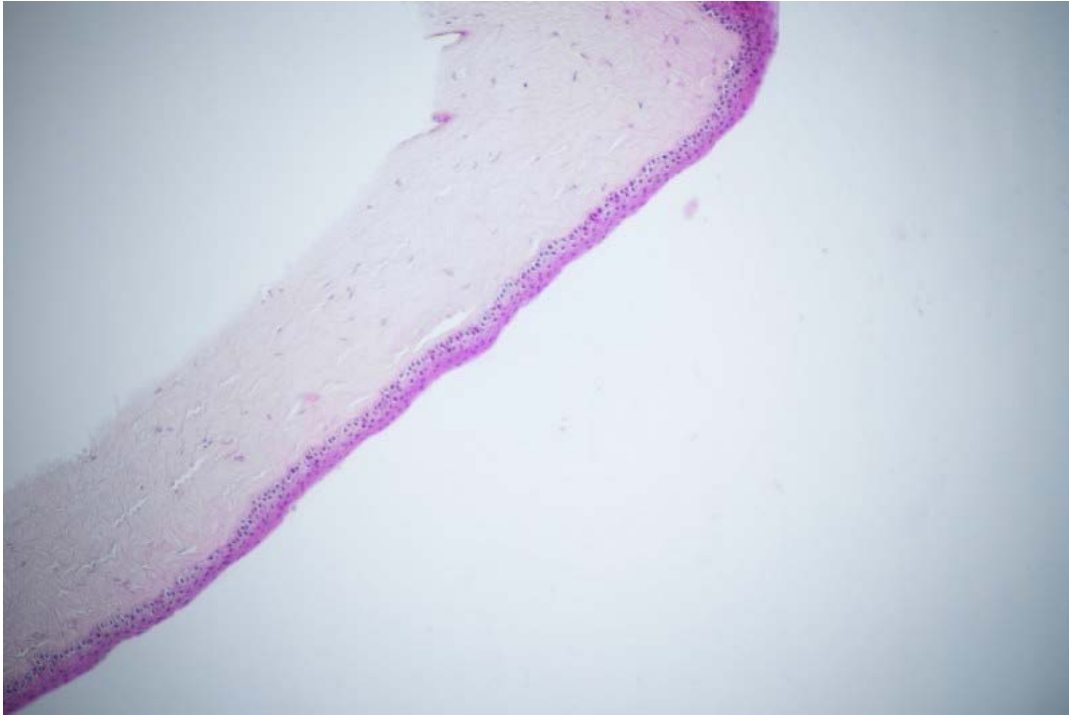
SONUÇ:İnflamasyon kaskadında yer alan yolaklardan birisi olan "endoplazmik retikulum stresi"nin inhibe edilmesi, özellikle alkali yanıklara bağlı gelişen inflamasyon ve neovaskülarizasyonun tedavisi için potansiyel bir araç olabilir. Çalışmamız bir ön çalışma niteliğinde olup, sağlam dokuda hasar oluşturmayan ancak inflamasyon bulgularını geriletken salubrinal dozunu bulmak için tasarlanmıştır. Salubrinalin inflamasyon üzerindeki detaylı etkisini ve olası yan etkilerini belirleyecek geniş kapsamlı ve karşılaştırmalı çalışmalara ihtiyaç vardır.

Anahtar Kelimeler: Alkali yanık, Endoplazmik Retikulum Stres İnhibisyonu, İnflamasyon, Salubrinal



Sırasıyla 0.1, 0.25, 0.50 ve 1 mg/kg dozlarda subkonjonktival Salubrinal uygulanan gözlerin histolojik görünümü. 1 mg/kg (D) uygulama ile belirgin şekilde daha az inflamasyon ve neovaskularizasyon izleniyor.

KONTROL



Kontrol grubunda normal kornea görüntüsü (Toksisite bulgusu yok)

SS20 TOPLUMUN KORNEA BAĞIŞI VE NAKLİ KONUSUNDA BİLGİSİNİN, FARKINDALIK DÜZEYİNİN VE BAKIŞ AÇISININ DEĞERLENDİRİLMESİ: ANKET ÇALIŞMASI

Onur Özalp, Eray Atalay

Eskişehir Osmangazi Üniversitesi Tıp Fakültesi Göz Hastalıkları Anabilim Dalı, Eskişehir

AMAÇ:Toplumun kornea bağış ve nakli konusunda bilgisini, farkındalık düzeyini ve bakış açısını belirlemek.

GEREÇ:Çalışma kapsamında hazırlanan “Kornea Bağış Farkındalık Anketi” yüz yüze veya internet yoluyla okur-yazar kişilere uygulandı. Altı bölümden oluşan ankette kişilerin yaş, cinsiyet, meslek, yaşanan coğrafi bölge gibi demografik verileri; kendisinin ve yakın çevresindekilerinin kronik göz rahatsızlıkları; organ bağış ve kornea bağışına bakış açısı ve bu konularda bilgi düzeyleri; ülkemizde yeterli kornea bağış yapılp yapılmadığı, toplumun kornea bağışına bakışı ve toplumda kornea bağışına olumsuz bakış açısının nedenleri irdelenmektedir.

BULGULAR:Ankete katılan 2301 kişinin ortalama yaşları $35,9 \pm 13,9$ (10 – 80 yaş) yıl olup katılımcıların %63,4’ü (n= 1459) kadındı. Ankete katılanların %56,4’ünün kornea bağışına olumlu baktıkları, %57,4’ünün ise kornea nakli ile ilgili bilgi sahibi olmadığı görüldü. Tüm katılımcılar tarafından kornea bağışına olumsuz bakış açısının olası sebepleri sırasıyla; “bilgi eksikliği” (%84,8), “dini ve kültürel sebepler” (%55,8), “kornea alımı esnasında hastaya ve dokulara yeterli özenin gösterilmeyeceği” (33,9%) ve “korneanın ölümden önce alınacağı endişesi” (%33,7) olarak bildirildi. Kornea bağışına olumsuz bakan kişilerin ise yaklaşık yarısının (%48,8) gerekçesi yeterli bilgiye sahip olmamak idi. Lisans ve üzeri eğitim alanların (OR: 1,33, p= 0,004); sağlık (OR: 1,55, p=0,001), öğrenci (OR: 1,53, p<0,001) ve sanatçı (OR: 5,25, p=0,05) meslek gruplarının; kronik göz rahatsızlığı olanların (OR: 1,22, p=0,02) ve kornea nakli ile ilgili bilgi sahibi olanların (OR: 2,14, p<0,001) kornea bağışına daha olumlu baktıkları tespit edildi.

SONUÇ:Yapılan anket çalışması neticesinde kornea bağış ve nakli konusunda bilgi sahibi olan ve eğitimli kişilerin kornea bağışına daha olumlu baktıkları izlendi. Toplum bilgilendirici eğitim faaliyetleri gerçekdışı inanışların ve önyargıların düzeltilmesini sağlayarak kornea bağışına bakış açısını olumlu yönde geliştirebilir.

Anahtar Kelimeler: kornea bağış, kornea nakli, farkındalık, anket

SS21 KATARAKT CERRAHİSİNİN SCHİRMER TESTİ VE GÖZYAŞI MENİSKÜS PARAMETRELERİ ÜZERİNE ETKİSİ

Cansu Çankaya, Hakan Öztürk, Bediz Özen

S.B.Ü Tepecik Eğitim ve Araştırma Hastanesi, Göz Hastalıkları Kliniği, İzmir

AMAÇ:Katarakt cerrahisi sonrası gelişen inflamasyon ve insizyona bağlı korneal duyarlılığının azalması gözyaşı üretiminde azalmaya neden olabilir. Çalışmamızda katarakt cerrahinin schirmer testi ve gözyaşı menisküs parametreleri üzerine etkilerinin incelenmesi amaçlanmıştır.

GEREÇ:Oküler yüzey hastalığı olmayan, 50-75 yaş arası komplikasyonsuz fakoemülsifikasyon cerrahisi geçirmiş 25 olgu çalışmaya alındı. Olguların cerrahi öncesi, cerrahi sonrası 1. hafta, 1. ay ve 3. ayda Schirmer I testi (SCH), ön segment optik koherans tomografi cihazı (Cirrus HD-OCT; five-line raster imaging mode; Carl Zeiss Meditec; Dublin, CA, USA) kullanılarak gözyaşı menisküs yüksekliği (GMY) ve derinliği (GMD) değerleri kaydedildi.

BULGULAR:Cerrahi öncesi ortalama SCH değeri $13,00 \pm 3,92$ mm iken cerrahi sonrası 1. haftada $7,65 \pm 5,88$ mm, 1. ayda $5,40 \pm 4,23$ mm, 3. ayda $6,40 \pm 3,85$ idi. Cerrahi öncesi, cerrahi sonrası 1. hafta, 1. ay ve 3. ayda ortalama GMY sırası ile $410,20 \pm 170,24$ μ m; $289,05 \pm 124,77$ μ m; $231,35 \pm 93,39$ μ m; $243,10 \pm 51,57$ μ m olarak ölçüldü. Cerrahi öncesi ortalama GMD $219,10 \pm 82,74$ μ m iken cerrahi sonrası 1. haftada $184,85 \pm 90,63$ μ m; 1. ayda $149,40 \pm 87,12$ μ m; 3. ayda $162,10 \pm 77,88$ μ m olarak ölçüldü. Cerrahi öncesi ile karşılaştırıldığında cerrahi sonrası 1. hafta, 1. ay ve 3. ayda SCH, GMY, GMD değerleri istatistiksel olarak anlamlı azalmış idi ($p < 0,001$). Cerrahi sonrası 1. hafta ve 1. ay arasında SCH, GMY ve GMD' de istatistiksel olarak anlamlı azalma saptandı (sıra ile $p = 0,02$; $p = 0,02$; $p < 0,001$). Cerrahi sonrası 1. ay ile 3. ay arasında SCH, GMY ve GMD' de istatistiksel olarak anlamlı fark izlenmedi ($p > 0,05$).

SONUÇ:Katarakt cerrahisi sonrası erken dönemde gözyaşı salgısı azalmakta ve 1. ayda en düşük seviyeye ulaşmaktadır. Gözyaşı üretimindeki iyileşme 3 aydan uzun sürebilir. Katarakt cerrahisi aköz yetmezliğe neden olarak kuru göz gelişimini tetikleyebilir.

Anahtar Kelimeler: Gözyaşı, Katarakt, Kuru göz

SS22 KURU GÖZ HASTALARINDA FAKLI DOZLARDAKİ SODYUM HYALURONATIN VE TREHALOZUN KORNEAL ABERASYONLARA ETKİSİ

Yener Yıldırım, Cemal Özsaygılı, Bekir Küçük
Kayseri Şehir Hastanesi, Göz Hastalıkları Kliniği, Kayseri

AMAÇ:Kuru göz hastalarında üç farklı suni gözyaşının (% 0.15 sodyum hyaluronat -% 0.20 sodyum hyaluronat - Trehaloz +% 0.15 sodyum hiyalüronat) korneal aberasyonlar üzerine kısa süreli etkilerini karşılaştırmak

GEREÇ:Yetmiş beş kuru göz hastasının 150 gözü üç eşit gruba ayrıldı. Prezervansız sodyum hiyalüronat (SH) 1.5 mg / mL, grup 1'e, prezervansız SH 2.0 mg / mL, grup 2'ye ve prezervansız trehaloz 30 mg / mL ve SH 1.5 mg / mL grup 3' e uygulandı. Suni gözyaşı damlası uygulamasından önce ve 10 dakika sonra aberometri ölçümleri yapıldı. Pentacam Scheimpflug görüntüleme sistemi kullanılarak, toplam root mean square (RMS), düşük sıralı aberasyon (LOA), yüksek sıralı aberasyon (HOA), sferik aberasyon (SA), trefoil ve koma aberasyonlar damla öncesi ve damladan 10 dakika sonra ölçüldü.

BULGULAR:Toplam RMS, LOA, HOA, sferik aberasyon, trefoil 0, trefoil 90, koma 0 ve koma 90 aberasyon değerleri tüm gruplarda suni gözyaşı damlasının damlatılmasından sonra anlamlı şekilde azaldı (p <0.001, bağımlı örnekleme t-testi). Ayrıca, düşük konsantrasyonlu (% 0.15) SH grubunda (grup 1) LOA' daki azalma grup 2 ve grup 3' ten anlamlı derecede daha yüksekti (sırasıyla, p: 0.028 ve p: 0.041).

SONUÇ:Üç farklı suni gözyaşının (% 0.15 SH -% 0.20 SH -% 0.15 SH + Trehaloz) tüm korneal aberasyonları azalttığı görüldü. Ayrıca % 0.15 SH' in LOA' yı %0.20 SH ve % 0.15 SH + Trehaloz'a göre daha fazla azalttığı gözlemlendi. Kuru göz hastalarında suni göz yaşı damlaları kullanımının korneal aberasyonları azalttığı göz önünde bulundurulmalıdır.

Anahtar Kelimeler: korneal aberasyon, sodyum hiyalüronat, trehaloz

SS23 AFAKİK VİTREKTOMİZE KAPSÜL DESTEĞİ OLMAYAN GÖZLERDE 25 GAUGE VE 27 GAUGE TROKAR SİSTEMİ İLE UYGULANMIŞ İNTRASKLERAL GÖZ İÇİ LENS İMPLANTASYON TEKNİKLERİNİN KARŞILAŞTIRILMASI

Nilay Kandemir Beşek, Gürkan Erdoğan
Sağlık Bilimleri Üniversitesi Beyoğlu Göz Eğitim ve Araştırma Hastanesi

AMAÇ:Afakik vitrektomize kapsül desteği olmayan olgularda 25 gauge(G) ve 27 gauge trokar sistemi ile uygulanmış intraskleral göz içi lens implantasyon tekniklerini karşılaştırmak amaçlandı

GEREÇ:Ocak 2016- Ağustos 2019 tarihleri arasında vitrektomize afakik kapsül desteği olmayan intraskleral göz içi lens implantasyonu uygulanmış hastaların dosyaları retrospektif olarak incelendi. Çalışmaya vizitlere düzenli gelmeyen, takip süresi 3 aydan kısa hastalar dahil edilmedi. Hastalara intraskleral fiksasyon (ISF) öncesi, ISF sonrası her vizitte tam oftalmolojik muayene, GİB ölçümü ve OKT çekimi yapıldı. İstatistik değerlendirme amacı ile ISF öncesi ve son vizit bulguları kaydedildi. Intraskleral fiksasyon sırasında kullanılan trokar sisteminin genişliğine göre iki gruba ayrıldı.

BULGULAR:Çalışmaya 33 hastanın(20 erkek, 13 kadın) 33 gözü dahil edildi. Onbeş hastaya 25G(Grup1), 18 hastaya ise 27G(Grup2) trokar sistemi ile ISF uygulanmış idi. Grupların ortalama yaşları Grup1 de 48,57±22,52 iken, Grup2 de 62,93±17,37 idi ve gruplar arasında istatistiksel anlamlı fark vardı (p=0.04). Takip süreleri Grup1 de 5,3±4,2ay iken Grup2 de 4,6±0,8 ay idi (p=0.58). En iyi düzeltilmiş görme keskinliği(EİDGK) LogMAR ISF öncesi Grup1 de 1,28±0,49 iken, Grup2 de 1,40±0,86 idi ve gruplar arasında fark yoktu (p=0.68). ISF sonrası son vizitte EİDGK Grup1 de 0,71±0,54 iken,Grup2 de 0,70±0,45 idi(p=0.96). Her iki grupta da anlamlı şekilde EİDGK arttı (p=0.003 vs 0.005). Komplikasyonlar; Grup1 de 2 hastada kistoid maküler ödem, 2 hastada geçici GİB yüksekliği, 3 hastada geçici vitre içi hemoraji gözlemlendi.Grup2 de 2 hastada pars plana vitrektomi ile düzelen vitre içi hemoraji gözlemlendi.İki grupta da retina dekolmanı, endoftalmi,göziçi lens dislokasyonu görülmedi.

SONUÇ:Afakik gözlerde 25G ve 27G trokar girişler ISF tekniğinde etkili ve güvenlidir.Her iki teknik kısa vadede benzer sonuçlara sahip gibi görünmektedir.

Anahtar

Kelimeler: Afaki,

intraskleral

fiksasyon,refraksiyon

SS24 FUNGAL KERATİTLİ HASTALARDA IN-VİVO KONFOKAL MİKROSKOPİ BULGULARI

Fehmi Özkan¹, Banu Bozkurt², Alim Hüseyinov², Süleyman Okudan²

¹Konya Numune Hastanesi, KONYA

²Selçuk Üniversitesi, Göz Hastalıkları Anabilim Dalı, KONYA

AMAÇ: Acanthamoeba ve fungal keratitler, görme kaybıyla sonuçlanan ciddi enfeksiyonlardır. Kornea kültürlerindeki düşük duyarlılık ve uzayan süre tanı koymada gecikmeye yol açmaktadır. In-vivo konfokal mikroskopi, fungal keratitlerin erken tanısında hızlı ve invaziv olmayan bir yöntemdir. Bu çalışmanın amacı mantar keratitli hastaların in-vivo konfokal mikroskopi bulguları, tedavi ve takip sonuçlarının değerlendirilmesidir.

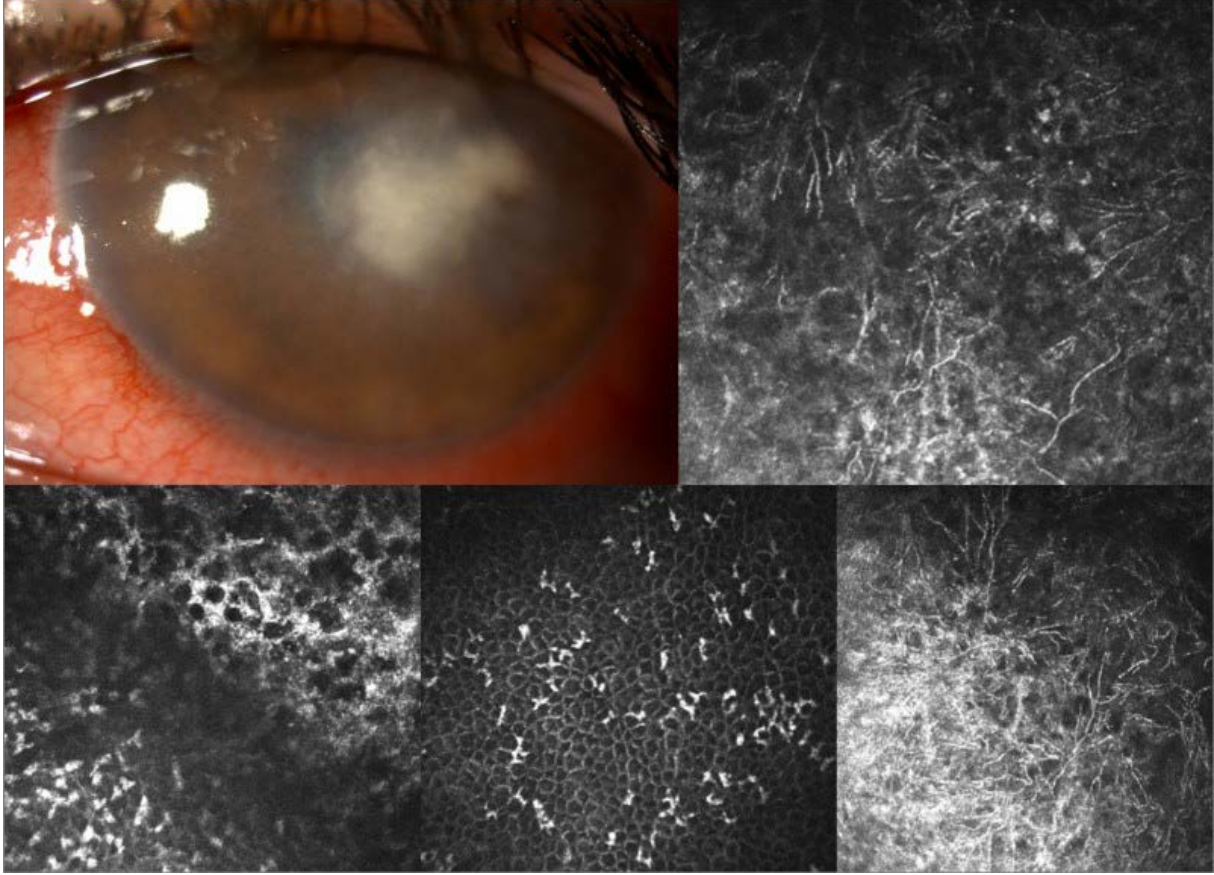
GEREÇ: Yaşları 29 ila 49 arasında değişen 5 hasta yaklaşık 1-1.5 aydır devam eden gözde iltihaplanma, ağrı, kızarıklık ve bulanık görme şikayetleriyle tarafımıza başvurdu. Hastalar daha önce farklı merkezlerde topikal antibakteriyel tedavi almışlardı. Tedavi etkili olmadığı için tarafımıza yönlendirilen hastaların klinik muayene bulgularında üzerinde epitel defektin olduğu derin korneal infiltrat, endotel plak ve hipopiyon mevcuttu. Mantar keratiti ön tanısıyla in-vivo konfokal mikroskopi görüntülemesi yapıldı. Korneal infiltrattan yayma ve kültür için örnek alındı.

BULGULAR: In-vivo konfokal mikroskopide tüm hastaların kornea epiteli ve stromasında dallanma gösteren, yüksek kontrastlı, hife benzeyen ince çizgiler gösterildi (Resim-1). Bunun yanında, enflamatuvar hücrelere benzeyen, çok sayıda küçük, yuvarlak beyaz opasiteler vardı (Resim-2). İki hastada keratosit kaybı ve hiporeflektif kavitasyon alanları mevcuttu. Bir hastada stromada artmış hiperreflektivite izlendi (Resim-3).

SONUÇ: Fungal yapılarla uyumlu yapıları yüksek çözünürlükte görüntüleyen in-vivo konfokal mikroskopinin deneyimli ellerde fungal ve Acanthamoeba keratitlerinin tanısında %80 'e yakın duyarlılıkta olduğu gösterilmiştir. In-vivo konfokal mikroskopi, fungal keratitlerin erken tanısında ve tedaviye olan cevabın izlenmesinde kullanılan ve tıbbi ve cerrahi tedavide klinisyene yol gösteren son derece önemli bir görüntüleme yöntemidir.

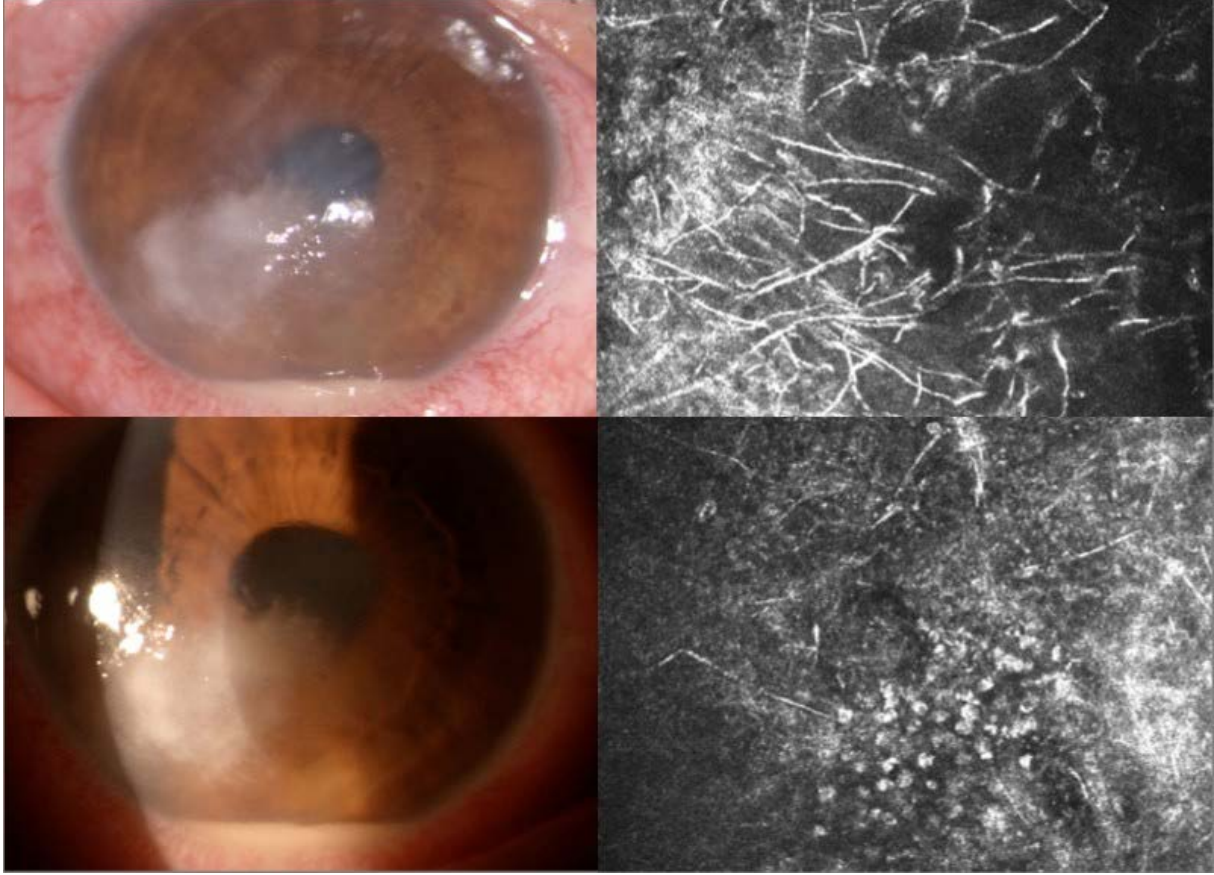
Anahtar Kelimeler: Fungal keratit, konfokal mikroskopi, terapötik keratoplasti.

Resim-1



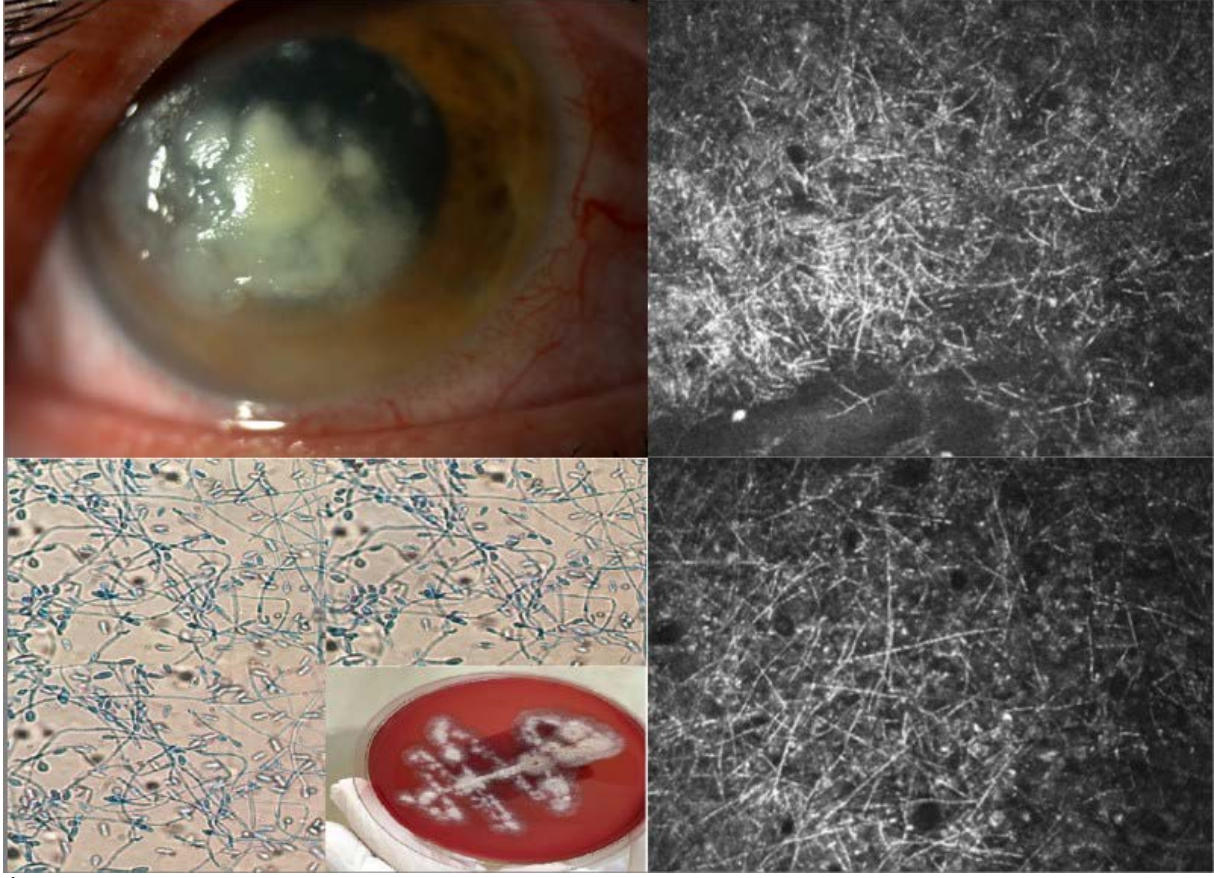
In-vivo konfokal mikroskopide tüm hastaların kornea epitel ve stromasında dallanma gösteren, yüksek kontrastlı, hife benzeyen ince çizgiler gözlemlendi.

Resim-2



Enflamatuar hücrelere benzeyen, çok sayıda küçük, yuvarlak beyaz opasiteler

Resim-3



İki hastada keratosit kaybı ve hiporeflektif kavitasyon alanları mevcuttu. Bir hastada stromada artmış hiperreflektivite izlendi.

SS25 UZUN SÜRELİ GÜNLÜK KONTAKT LENS KULLANAN BİREYLERDE MEİBOMİAN GLAND MORFOLOJİ VE FONKSİYON DEĞERLENDİRMESİ

Serap Yurttaşer Ocak

Sağlık Bilimleri Üniversitesi, Okmeydanı Eğitim ve Araştırma Hastanesi

AMAÇ: Bu çalışmanın amacı uzun süreli günlük kontakt lens kullanan bireylerin meibomian gland morfoloji ve fonksiyonunu değerlendirmek

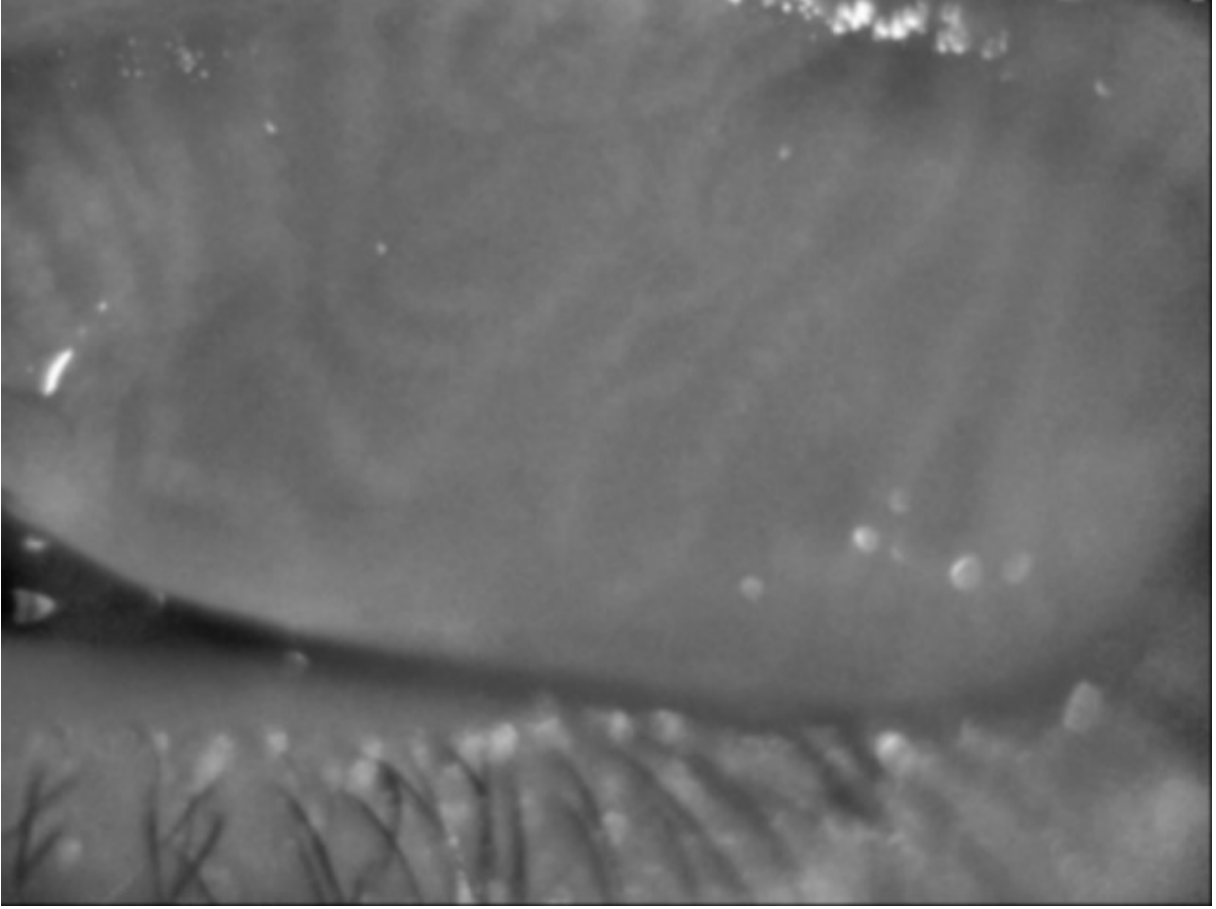
GEREÇ: Günlük kontakt lens (GKL) kullanan olgulardan 18 yaş üstü olan, günde en az 5 saat kullanımı olan, haftada 2 günden fazla kullanıma ara vermeyen ve toplamda en az 3 yıl GKL kullanan 35 olgunun 35 gözü çalışmaya dahil edilirken; gece GKL kullanımı olan, sistemik hastalığı olan ve sistemik ilaç kullanım öyküsü olan olgular çalışmaya dahil edilmedi. KL kullanmayan sağlıklı 35 olgu kontrol grubu olarak seçildi. Morfoloji için meibografi (korneal topografi -Sirius) ile alt ve üst kapak için toplam meibomian gland (MG) kaybı (0-8) ve gland distorsiyonu her iki kapak için toplamda (0-6) değerlendirildi. MG fonksiyonu için invaziv olmayan özel 'gland değerlendiricisi' ile meibum çıktısı (0-3) her bir gland için değerlendirildi. MG fonksiyonu ve meibografi analizi açısından 2 grup ki kare testi ile karşılaştırıldı.

BULGULAR: Her iki grup yaş ve cinsiyet açısından benzerdi ($p < 0,05$). Meibum çıktısı alt kapakta her bir gland için değerlendirildiğinde GKL kullanan grupta $35,38 \pm 2,1$ olarak saptanırken; kontrol grubunda ise $40,9 \pm 1,3$ olarak saptandı. Meibografi analizine göre distorsiyon değerlendirildiğinde GKL kullanan grupta $1,4 \pm 0,7$; GKL kullanmayan grupta ise $0,6 \pm 0,3$ olarak değerlendirildi. Meibum ve distorsiyon açısından iki grup arasındaki fark anlamlı çıktı (sırası ile $p = 0,04, p = 0,03$). GKL kullanan grupta meibografi ile belirlenen MG kaybı $2,1 \pm 2,4$ iken; kontrol grubunda $2,3 \pm 3,1$ idi. İki grup arasındaki fark anlamlı bulunmadı ($p > 0,05$).

SONUÇ: GKL kullanan grubun kontrol grubu ile karşılaştırmasında meibomian gland atrofisi açısından anlamlı fark bulunmazken, distorsiyon açısından ve fonksiyonel olarak istatistiksel anlamlı fark bulunmuştur. GKL kullanan bireylerde belli aralıklarla meibomian gland değerlendirmesi yapmak faydalı olacaktır.

Anahtar Kelimeler: günlük, kontakt lens, meibomian gland

meibografi analizi



distorsiyonun yüzde 50 den çok olduğu evre 3 distorsiyon

meibum



meibum değerlendirmesi

non invaziv meibomian gland fonksiyonu değerlendirici



alt kapak nazal temporal ve santral alan için ayrı ayrı 15 sn itilerek fonksiyon değerlendirilir.

SS26 GLOKOMDA RENKLİ FUNDUS FOTOĞRAFLARINA DAYALI TANIDA DERİN ÖĞRENME YÖNTEMİNİN PERFORMANSI: PİLOT ÇALIŞMA

Eray Atalay¹, Özercan Devecioğlu², Türker İnce², Nilgün Yıldırım¹

¹Eskişehir Osmangazi Üniversitesi Tıp Fakültesi Göz Hastalıkları Ana Bilim Dalı, Eskişehir

²İzmir Ekonomi Üniversitesi Mühendislik Fakültesi Elektrik-Elektronik Mühendisliği, İzmir

AMAÇ:Glokomlu gözlere ait fundus fotoğraflarının normal gözlere ait fundus fotoğraflarından ayırt edilmesinde derin öğrenme yönteminin performansının değerlendirilmesi.

GEREÇ:Eskişehir Osmangazi Üniversitesi Tıp Fakültesi Hastanesi Göz Hastalıkları Kliniği arşivinde bulunan ve daha önceden 3 farklı hekim (2 konsültan, 1 kıdemli konsültan) tarafından etiketlenmiş fundus fotoğrafları (Kowa nonmyd alpha-DIII, Kowa Company Ltd., Tokyo, Japonya) ön çalışma (TÜBİTAK proje no: 218E066) kapsamında analiz edildi. Etiketlemenin ilk etabında tüm fotoğraflar 2 glokom konsültanı tarafından değerlendirilerek glokom şüphesi, glokom ve normal olarak etiketlendirildi. İhtilafa düşülen fotoğraflar 3. bir kişi (kıdemli konsültan) tarafından ayrıca değerlendirildi; kesin kanaat oy çokluğu esas alınarak kaydedildi. Fundus fotoğrafları eğitim (training) ve doğrulama (validation) veri setlerine 4/1 oranında tayin edildi ve her iki set için farklı fotoğraflar kullanıldı. Eğitim (training) aşamasında fotoğraflara augmentation teknikleri (döndürme, yansıtma ve gürültü ekleme) uygulanarak örneklem çoğaltıldı. Daha önce 15 milyon resim (Imagenet) ile resim tanıma amaçlı olarak eğitilmiş bir derin yapı olan Alexnet "Transfer öğrenmesi" tekniği kullanılarak elimizdeki çoğaltılmış Glokom eğitim resimleri ile son 3 katmanındaki parametreleri optimize edilerek Glokom tespiti amacıyla test edildi.

BULGULAR:Arşivde bulunan toplam 9950 fundus fotoğrafından 104'ü normal gözlere ait 96'sı glokomlu gözlere ait toplam 200 fundus fotoğrafı analize dahil edildi. Beş çalıştırmanın sonunda elde edilen ortalama eğri altında kalan alan 0,88, sensitivite ve spesifisite değerleri ise sırasıyla 0,82 ve 0,93 olarak tespit edildi.

SONUÇ:Derin öğrenme yöntemi az sayıda fundus fotoğrafıyla dahi yüksek doğrulukla glokomlu gözleri normal gözlerden ayırt edebilmiştir. Daha fazla sayıda fotoğraf ve optimize edilmiş farklı öğrenme algoritmalarıyla daha yüksek sensitivite ve spesifisite değerlerine ulaşılabilirliği öngörülmektedir.

Anahtar Kelimeler: derin öğrenme, glokom, yapay zeka

SS27 OCULAR SURFACE MICROBIOTA CHANGES AFTER EXTERNAL DACRYOCYSTORHINOSTOMY: A CHICKEN OR EGG PROBLEM

Fatih Aslan¹, Bora Doğan², Caner Şahin³

¹Department of Ophthalmology, Alanya Alaaddin Keykubat University School of Medicine, Antalya, Turkey

²Department of Medical Microbiology, Alanya Alaaddin Keykubat University School of Medicine, Antalya, Turkey

³Department of Otorhinolaryngology, Alanya Alaaddin Keykubat University School of Medicine, Antalya, Turkey

AIM:The aim of this study was to evaluate changes in the ocular surface and nasal microbiota after external dacryocystorhinostomy (DCR) in patients with unilateral nasolacrimal duct obstruction (NLDO).

MATERIAL:This prospective study included 68 eyes from 34 patients. Prior to external DCR, nasal and conjunctival smears were obtained from the affected eye and healthy fellow eye.

RESULTS:Ocular surface cultures were positive for 19 (55.9%) of the NLDO eyes and 4 (11.8%) of the healthy eyes included in the study ($p<0.001$). The most frequently detected organism was methicillin-sensitive coagulase-negative staphylococci (MSCNS), which accounted for 45.8% of ocular surface isolates and 45.1% of nasal isolates. Pathogenic microorganisms (*Citrobacter freundii* and *Candida krusei*) were detected only in two NLDO eyes before DCR and these microorganisms did not grow in any eye and any time after surgery. Although there was no reproduction in repeated swabs, MSCNS growth was observed in 3 (12.5%) eyes postoperatively. Postoperatively, the median time to ocular surface microbiota normalization was 2 weeks. Microorganisms isolated from ocular and nasal cultures were most resistant to penicillin, with rates of 57.1% and 73.3%, respectively.

CONCLUSION:Eyes with NLDO showed significantly greater microorganismal growth in ocular surface cultures compared with healthy eyes. A safety margin of at least 2 weeks after successful external DCR is required for patients scheduled for intraocular surgery. Our susceptibility data suggest that clinicians should avoid penicillin's when selecting antibiotics for NLDO patients.

Keywords: Conjunctiva, Dacryocystorhinostomy, Microbiota, Nasolacrimal duct obstruction, Ocular flora

SS28 DOES ADJUNCTIVE INTRACAMERAL TRIAMCINOLONE ACETONIDE INCREASE THE EFFECTIVENESS OF PHACOTRABECULECTOMY? A RETROSPECTIVE CASE-CONTROL STUDY

Çağlar Öktem, Fatih Aslan

Department of Ophthalmology, Alanya Alaaddin Keykubat University School of Medicine, Antalya, Turkey

AIM: Investigate the surgical success of 5-fluorouracil (5-FU) assisted primary phacotrabeculectomy (PT) in primary open angle glaucoma (POAG) patients with and without intracameral injection of triamcinolone acetonide (TA).

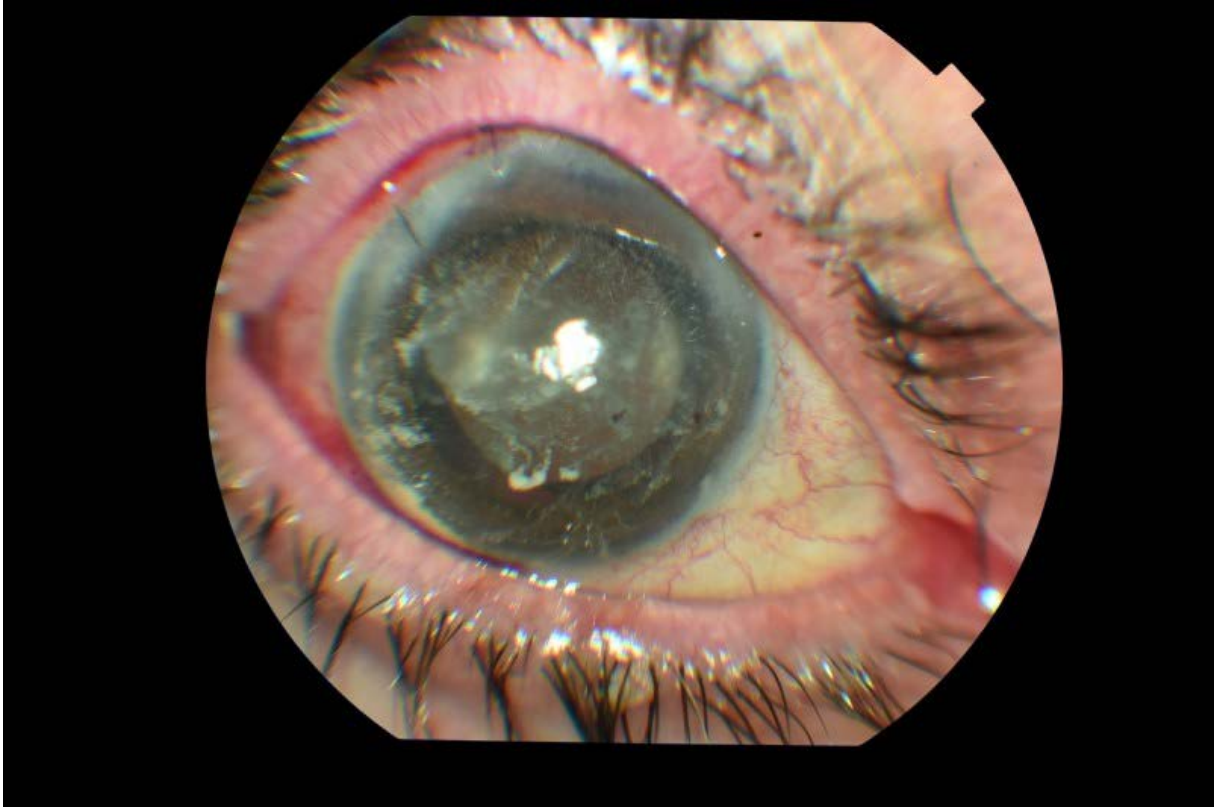
MATERIAL: This study included 23 eyes of 23 patients who underwent PT with TA (study group) and 26 eyes of 26 patients who underwent PT without TA (control group). Patients in the PT group received 1 mg of TA intraoperatively by intracameral injection. Pre- and postoperative visual acuity, intraocular pressure (IOP), and number of antiglaucoma drugs used were compared. Postoperative complications and need for 5-FU injection were evaluated for both groups.

RESULTS: Mean age was 64.12 ± 1.91 (48–86) years in the control group and 66.52 ± 2.02 (52–86) years in the study group ($p=0.824$). Comparison of pre- and postoperative IOP values showed significant decreases in postoperative IOP levels at all-time points in both the control and study groups ($p<0.001$). The only significant difference between groups was on postoperative day 1 (Study group: 9.22 ± 1.41 mmHg; Control group: 6.35 ± 2.17 mmHg, $p<0.001$). Need for postoperative 5-FU injection was significantly more common in the control group ($p=0.023$).

CONCLUSION: Intracameral injection of 1 mg TA at the end of PT surgery did not yield superior results in postoperative IOP compared to PT alone, and the two groups showed similar IOP reduction. When given as an adjunct to PT, 1 mg TA suppresses anterior segment inflammation and reduces the need for 5-FU injection.

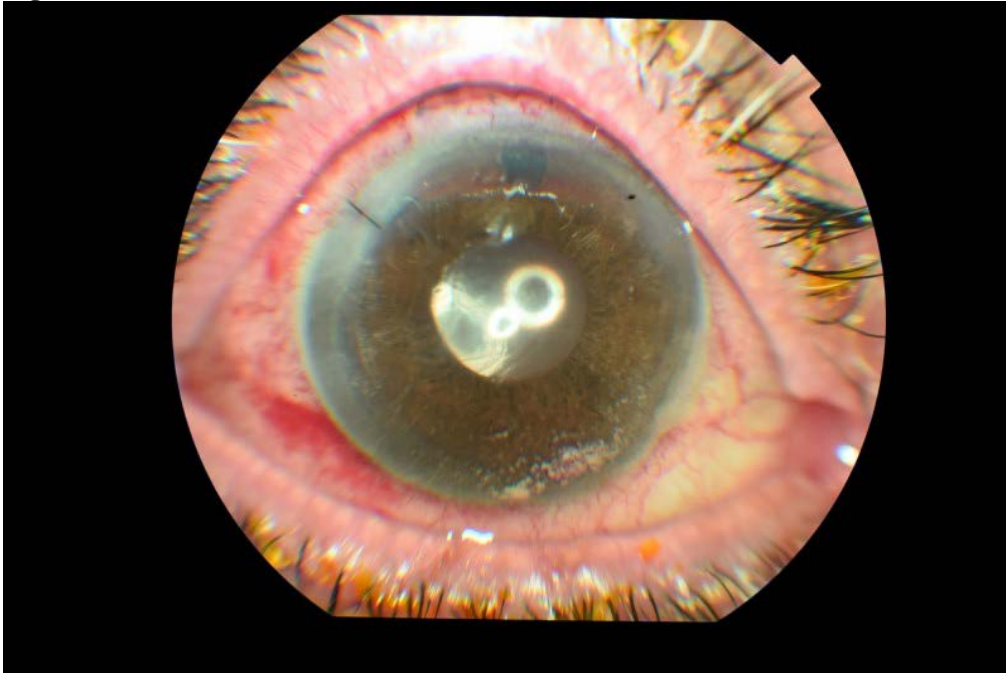
Keywords: 5-Fluorouracil, Phacotrabeculectomy, Triamcinolone acetonide, Trabeculectomy,

Figure 1



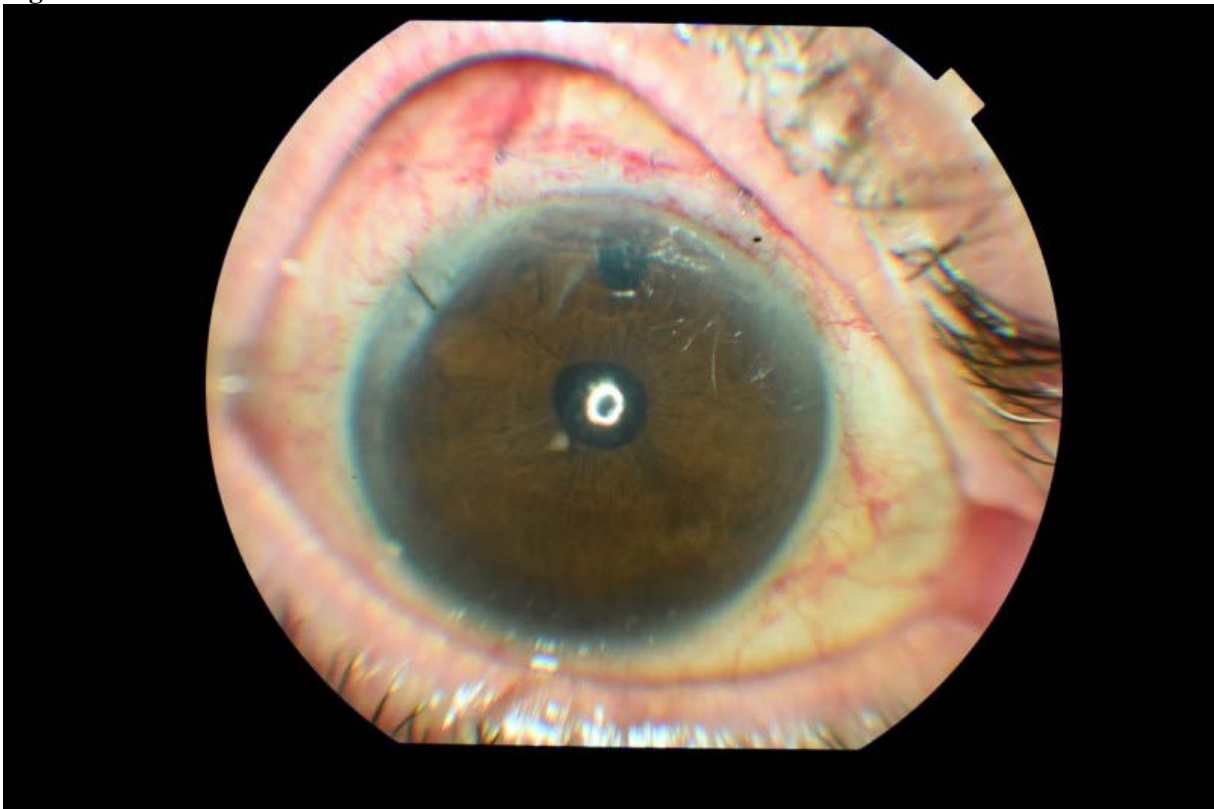
Anterior segment image at postoperative 1 hour in a patient who underwent 5-FU phacotrabeculectomy with intracameral injection of triamcinolone acetonide (TA)

Figure 2



Anterior segment image at 1 day showing TA smeared on the iris surface and corneal endothelium

Figure 3



Anterior segment image at 1 week showing nearly complete clearance of TA from the anterior chamber

SS29 KONJONKTİVAL MELANOMDA ONCOSEQ ANALİZİ VE TEDAVİDE POTANSİYEL UYGULAMA ALANI

Süleyman Çiftçi¹, Hakan Demirci¹, Yesim Demirci², Victor Maurice Elner¹, Yi Mu Wu³, Yu Ning³, Arul Chinnaiyan⁴, Dan Robinson⁴

¹University of Michigan, Kellogg Eye Center, Department of Ophthalmology and Visual Sciences, Ann Arbor

²University of Pittsburgh, Graduate School of Public Health, Department of Human Genetics, Pittsburgh, Pennsylvania

³University of Michigan, Michigan Center for Translational Pathology, Ann Arbor

⁴University of Michigan, Department of Pathology, Ann Arbor

AMAÇ:Konjonktiva melanomunun (KM) moleküler özelliklerinin daha iyi anlaşılmasıyla tedavi yöntemine nasıl katkı sağlayabileceğini ortaya çıkarmak.

GEREÇ:Konjonktiva melanomundan oluşan bu prospektif olgu serisinde OncoSeq analizi yapıldı. OncoSeq, kanser gelişimi ile ilişkili olan 1700'ün üzerinde gen panelinde somatik nokta mutasyonları ortaya çıkaran bir testtir. Çalışma Kasım 2015 ile Mart 2018 arasında yürütüldü.

BULGULAR:8 hastadan oluşan bu olgu serisinde 1 tümörde BRAF V600E, 3 tümörde NRAS Q61R, 3 tümörde NF1 (Q1188X, R440X, veya M1215K+S15fs) ve 1 tümörde triple-wild type (triple-WT) somatik mutasyonları bulundu. Bu 4 somatik mutasyon mitojenle aktive protein kinaz (MAPK) yolağını aktive edebilen 4 farklı mekanizmayı temsil eder. Bunlar dışında 4 tümörde ATRX geninde mutasyon bulundu. ATRX gen protein ürünleri DNA metilasyonunda ve alternatif telomer uzamasında rol oynar. Bir tümörde ise tümör baskılayıcı gen olan FBXW7'de somatik mutasyon saptandı. Bu gen ubiquitin-aracılı oncoprotein yıkımından sorumludur. Aynı somatik mutasyonları göstermesi bakımından cilt melanomuyla benzer özellikler gösteren konjonktiva melanomu NRAS ve NF1 mutasyonlarının BRAF mutasyonundan daha fazla gelişmesi bakımından farklılık gösterir. Büyük tümörü olan ve BRAF V600E mutasyon tespit edilen bir hasta, kombine sistemik BRAF (dabrafenib) ve MEK (trametinib) inhibitörleri ile tedavi edildi. 3 aylık tedavi sonrası KM büyük oranda geriledi ve kalan tümöre lokal cerrahi eksizyon yapıldı.

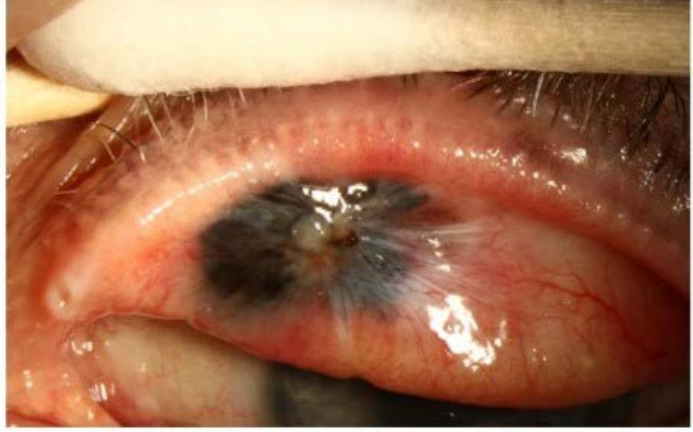
SONUÇ:Küçük tümörler mutasyon profillerine bakılmaksızın eksizyonel biyopsi ile tamamen çıkarılabilmektedir. Ancak ilerlemiş büyük tümörlerde neoadjuvant tedaviden yararlanmak için tümörün mutasyonel profilini ortaya koymakta fayda vardır. BRAF V600E mutasyon içeren büyük tümörlere sistemik BRAF ve MEK inhibitörleri başlanabilir. Bu şekilde büyük tümörler ekzenterasyona alternatif olarak önce gerilemekte ve ardından lokal eksizyonla tamamen çıkarılabilmektedir.

Anahtar Kelimeler: Konjonktiva melanomu, mutasyon profili, neoadjuvant tedavi

Şekil 1. BRAF V600E mutasyonu olan ve sistemik BRAF / MEK inhibitörleri ile tedavi edilen hasta.



Şekil 1A



Şekil 1B



Şekil 1C

Sol gözde multinodüler geniş KM olan hasta (Şekil 1A). Sistemik BRAF / MEK inhibitörleriyle 3 aylık tedaviden sonra, KM önemli ölçüde geriledi (Şekil 1B) ve kalan tümör eksizyonel biyopsi ile çıkarıldı. Takip sırasında lokal nüks olmadı (Şekil 1C), ancak 1 yıl sonra metastaz gelişti ve BRAF / MEK inhibe edici tedavi tekrar başlandı.

SS30 FARKLI YÜZEY ÖZELLİKLERİNE SAHİP İMPLANT KULLANILAN EVİSSERE GÖZLERDE İMPLANT AÇILMA ORANLARI

Umut Dağ

Sağlık Bilimleri Üniversitesi Diyarbakır Gazi Yaşargil Eğitim ve Araştırma Hastanesi, Göz Kliniği, Diyarbakır

AMAÇ: Evissereyasyon cerrahisi sırasında akrilik ve hidroksiapatit implant kullanılan gözlerde implant açılma oranlarını karşılaştırmak

GEREÇ: Çift skleral flep ile posterior sklerotomili evissereyasyon cerrahisi uygulanan ve akrilik ya da hidroksiapatit implant kullanılan 43 göz çalışmaya dahil edildi. Yaş, cinsiyet, evissereyasyon endikasyonu, kullanılan implantın çapı, implant açılımı olup olmadığı ve takip süresi not edildi. İmplant açılma oranları karşılaştırıldı.

BULGULAR: Hastaların 29 unda akrilik, 14 de hidroksiapatit implant kullanılmıştı. Her iki grupta da implant çapı ortalama 18-20 mm di. Akrilik implant grubunda ortalama 5.4±2.4 yıl takip süresinde hiçbir gözde açılma görülmezken, hidroksiapatit implant grubunda 5.5±2.5 yıl takip süresinde 4 (%28.5) gözde implant açılması gerçekleşmişti.

SONUÇ: Hidroksiapatit implantlar, esas olarak inorganik bir kalsiyum fosfat tuzudur. Özellikle uzun dönemde mekanik etki ile tenon ve konjonktivada erozyona neden olabilir. Akrilik implantlar uygun cerrahi teknik ile uygun çapta seçilirse pürüzsüz yüzeyleri sayesinde dokular tarafından daha iyi tolere edilir

Anahtar Kelimeler: evissereyasyon, akrilik, hidroksiapatit, implant açılması

SS31 OKÜLOKUTANÖZ ALBİNİZMLİ ÇOCUKLARDA GÖRSEL BECERİ TESTİ İLE GÖRSEL ALGI BECERİSİNİN DEĞERLENDİRİLMESİ

Esra Şahlı, Aysun İdil

Ankara Üniversitesi Tıp Fakültesi, Göz Hastalıkları Ana Bilim Dalı, Ankara

AMAÇ:Görsel algı becerisi, görsel ayırt etme, görsel hafıza, uzaysal ilişki, biçim tutarlılığı, ardışık hafıza, şekil-zemin ayırımı ve görsel tamamlama becerilerinden oluşur. TVPS-3 görsel algı becerisi testi, bu alt grupları tanımlayarak kişinin motor katılımını gerektirmeden ve dilden bağımsız olarak değerlendirme olanağı sağlar. Çalışmamızın amacı birimimize başvuran okülokutanöz albinizmlı çocuklarda görme keskinliği dışında görsel algı sürecinde sağlıklı yaşlılarına göre bir farklılık olup olmadığını, varsa hangi aşamada olduğunu ve görsel algı becerisine görme fonksiyonunun etkisini değerlendirmektir.

GEREÇ:Birimimize başvuran 6-18 yaş arası 30 okülokutanöz albinizmlı hastaya az görme muayenesini takiben görsel algı becerisi testi (TVPS-3) uygulandı. Hastaların demografik özellikleri, uzak ve yakın görme keskinlikleri ve TVPS-3 test sonuçları istatistiksel olarak değerlendirildi.

BULGULAR:Çalışmaya dahil edilen hastaların 17'si (%56,7) kız, 13'ü (%43,3) erkekti. Ortalama yaş 11,1 (6-18 yaş) idi. En iyi düzeltilmiş görme keskinliği (EİDGK) ortanca değeri 0,16 logMAR (0,05-0,3 logMAR), 25 cm'den yakın görme keskinliği (YGK) ortanca değeri 3 M (1,25-8 M) idi. TVPS-3 testi ile elde edilen alt grup ölçeklendirilmiş skor ortalamaları görsel ayırt etme için 10,26±3,4; görsel hafıza için 11,66 ±3,9; uzaysal ilişki için 10,43±3,4; biçim tutarlılığı için 9,03±4,4; ardışık hafıza için 11,76±3,3; şekil-zemin ayırma için 9,0±4,4 ve görsel tamamlama için 9,7±2,9 idi. Toplam skor ortalaması 52,7±30'du. Toplam skor EİDGK ile pozitif, YGK ile negatif korele bulunmuştur.

SONUÇ:Okülokutanöz albinizmlı çocukların görsel algı becerilerinde uzak ve yakın görme keskinlikleriyle korele bir düşüklük saptanmıştır. Alt grup ölçeklendirilmiş skorları dikkate alındığında okülokutanöz albinizmlı çocuklarda biçim tutarlılığı, şekil-zemin ayırımı ve görsel tamamlama becerilerinde saptanan yaşlıları a göre düşüklük daha önce gösterilmiş olan kiyazmadaki çaprazlaşma anomalileriyle ilişkili olabilir.

Anahtar Kelimeler: okülokutanöz albinizm, görsel beceri, görme fonksiyonu, TVPS-3

SS32 BAŞARILI TRABEKÜLEKTOMİ CERRAHİSİ SONRASI KONJONKTİVAL İMPRESYON SİTOLOJİSİ VE OKÜLER YÜZEY PARAMETLERİNİN DEĞİŞİMİ

Hatice Selen Kanar¹, Raziye Dönmez Gün¹, Murat Erkan²

¹Kartal Lütfi Kırdar Eğitim ve Araştırma Hastanesi, Göz Hastalıkları Ana Bilim Dalı

²Kartal Lütfi Kırdar Eğitim ve Araştırma Hastanesi, Patoloji Ana Bilim Dalı

AMAÇ: Trabekülektomi operasyonu öncesinde ve 3 ve 6 ay sonrasında yapılan oküler yüzey değerlendirilmelerinin karşılaştırılması ve anti-glokomatöz ilaçların oküler yüzeye etkilerini değerlendirmek.

GEREÇ: Bu çalışmaya, primer açık açılı glokom (PAAG) nedeniyle takipli olan ve göz içi basıncı kontrolü için trabekülektomi operasyonu olup, ameliyat sonrası 6. ay kontrolünde herhangi bir anti-glokomatöz ilaç (AGİ) kullanmayan hastalar (başarılı trabekülektomi olanlar) dahil edildi. Hastalara trabekülektomi öncesi ve trabekülektomi sonrası 3. ve 6. ay gözyaşı kırılma zamanı (GZK), Schirmer testi, floroseinle korneal boya tutulumu ve konjunktival impresyon sitolojisi (İS) testleri uygulandı. İS, nazal, inferior ve temporal bulbar konjunktivadan yapıldı, istatistiksel analiz için tüm kadranların ortalama değeri ve kadranların kendi içinde Goblet hücre (GH) sayısı ve metaplazi evreleri karşılaştırılması yapıldı. AGİ'lerin oküler yüzey etkilerini göstermek için sağlıklı kontrollere de tüm oküler yüzey testleri uygulandı. Başlangıç oküler yüzey bulguları sağlıklı kontrol grubuyla karşılaştırıldı ve PAAG hastalarının ameliyat öncesi ve sonrası değerleri de karşılaştırıldı.

BULGULAR: Çalışmaya 22 PAAG tanılı hasta ve 15 sağlıklı kontrol dahil edildi. Başlangıç GZK ve Schirmer testi kontrol grubuna göre istatistiksel olarak anlamlı daha düşük bulundu (sırasıyla, p: 0.022 ve 0.013). Konjunktival impresyon sitolojisinde tüm kadranlar ortalama GH sayısı PAAG grubunda 109.12 ± 33.24 hücre/mm² ve kontrol grubunda 134.46 ± 22.5 h/mm² saptandı ve aradaki fark istatistiksel olarak anlamlı saptandı (p: 0.033). PAAG hastaların başlangıç, 3. ay ve 6. ay oküler yüzey karşılaştırılmalarında istatistiksel olarak anlamlı düzelme saptandı.

SONUÇ: PAAG için kullanılan topikal AGİ'ler oküler yüzey ve kuru göz parametrelerini negatif yönde etkileyebilmektedir. Ancak bu etkilerin başarılı bir trabekülektomi sonrası topikal AGİ'lerin kullanımının bırakılmasıyla düzelme gösterebildiğini bu çalışmada göstermiş bulunmaktayız.

Anahtar Kelimeler: Anti-glokomatöz ilaçlar, İmpresyon sitolojisi, Trabeülektomi

SS33 AMBLİYOPİ TEDAVİSİNDE ATROPİN VE OPTİK PENALİZASYONUNUN ETKİNLİĞİ

Cansu Ekinci, Betül Tuğcu

Bezmialem Vakıf Üniversitesi Göz Hastalıkları Ana Bilim Dalı

AMAÇ: Ambliyopi tedavisinde kombine olarak kullanılan atropin ve optik penalizasyonun etkinliğinin ve tedavi üzerine etki eden faktörlerin incelenmesi amaçlandı

GEREÇ: Kliniğimizde ambliyopi tanısı ile atropin (1 damla/gün) ve optik penalizasyon tedavisi uygulanan 35 hastanın (16 kadın, 19 erkek) verileri incelendi. Hastalar anizometropik ve strabismik ambliyop olarak iki gruba ayrıldı. Hastaların tedavi öncesi, tedavi sonrası 1. ve 6. ay görme keskinlikleri kayıt edildi. Görme keskinliklerindeki değişiklikler değerlendirildi. Tedavi başarısında etkili olabilecek faktörler yaş, ambliyopi tipi, refraksiyon değerleri ve görme keskinliği olarak belirlenerek, bu faktörlerin tedavi başarısı ile ilişkisi incelendi.

BULGULAR: Hastaların yaş ortalaması $7,32 \pm 2,38$ olup, 15'i anizometrop, 20'si strabismik ambliyop idi. Atropin tedavisi alan gözlerde 6. ay görme keskinlikleri başlangıç değerlere göre istatistiksel olarak anlamlı artış gösterirken ($p < 0.01$), 1. ay ile başlangıç görme keskinliği arasında anlamlı fark görülmedi ($p > 0.05$). Anizometropik ve strabismik ambliyop gözlerde başlangıç görme keskinliğine göre 6. ayda anlamlı artış saptandı ($p < 0.01$). Tedavi başarısına etki eden faktörler ambliyopi tipi ve ambliyop gözün refraksiyon değeri olarak saptandı.

SONUÇ: Atropin ve optik penalizasyon hem anizometropik hem de strabismik ambliyop gözlerde anlamlı görme keskinliği artışı sağlamıştır. Tedavi başarısında ambliyopinin tipi ve ambliyop gözün refraksiyon değeri önemli rol oynamaktadır.

Anahtar Kelimeler: anizometropik ambliyopi, strabismik ambliyopi, atropin, optik penalizasyon

SS34 SAĞLIKLI BİREYLERDE BRİMONİDİN TARTRAT DAMLANIN KOROID KALINLIĞINA AKUT ETKİSİ

Raziye Dönmez Gün, Hatice Selen Kanar
Kartal Dr. Lütfi Kırdar Eğitim ve Araştırma Hastanesi

AMAÇ:Sağlıklı bireylerde topikal brimonidinin koroid kalınlığına (KK) akut etkisinin artırılmış derin görüntüleme (enhanced dept imaging-EDI) kullanılarak spektral domain optik koherens tomografi ile değerlendirilmesi.

GEREÇ:Prospektif çalışmamıza 30 sağlıklı, gönüllü hastanın 60 gözü dahil edilmiştir. Sistemik veya göze ait hastalığı bulunmayan, oküler cerrahi geçirmemiş, sistemik veya topikal ilaç kullanımı olmayan hastalar çalışmaya dahil edilmiştir. Tüm gözlerde refraktif kusur (miyop, hipermetrop) ≤ 1 D, astigmatizm $\leq 0,75$ D' dir. Diüurnal ritimden etkilenmemek için muayene ve ölçümler sabah 09:00-12:00 saatleri arasında yapılmıştır. Hastaların en iyi düzeltilmiş görme keskinlikleri (EİDGK), göz içi basınçları (GİB), ön segment ve dilate edilmeksizin fundus muayeneleri değerlendirildikten sonra subfoveal, foveanın 1500 μ m nazali ve 1500 μ m temporalinden KK ölçümleri alındı. Hastaların her iki gözüne brimonidin tartrat damlatıldı. Damla damlatılmasından 45 dakika sonra tekrar KK ölçümleri alındı. Damla öncesi ve sonrası KK ölçümleri karşılaştırıldı.

BULGULAR:Hastaların ortalama yaşı 36.45 ± 7.8 yıl olup, 17 (%51) kadın, 13 (%49) erkek hasta çalışmaya dahil edilmiştir. Brimonidin tartrat damla damlatılmadan önce tüm gözlerin (n=60) ortalama subfoveal, foveanın nazali ve foveanın temporalinden alınan KK ölçümleri sırasıyla 356.66 ± 41.34 μ m, 317.95 ± 35.97 μ m, 332.43 ± 42.42 μ m iken; damla damlatıldıktan sonra bu ölçümler sırasıyla 387.86 ± 53 μ m, 343.63 ± 40.25 μ m, 358.13 ± 50.13 μ m olarak bulunmuştur. Damla öncesi değerlere göre damla sonrası ortalama subfoveal, fovea nazali ve fovea temporalinde KK' da meydana gelen artış istatistiksel olarak anlamlı bulunmuştur (p değerleri sırasıyla <0.01 , 0.023 , 0.01).

SONUÇ:Brimonidin tartrat damla sağlıklı bireylerde akut dönemde oküler kan akımının bir göstergesi olan KK' nı arttırmaktadır. Sonuçlarımız glokomun medikal tedavisinde oldukça yaygın kullanılan brimonidin tartrat damlanın damar koruyucu ve nöroprotektif etkisini destekler niteliktedir.

Anahtar Kelimeler: Brimonidin tartrat, koroid kalınlığı, spektral domain optik koherens tomografi

SS35 SİKLOPENTOLAT (%1) VE TROPİKAMİD (%0.5) DAMLALARININ CİNSİYET VE GÖZ RENGİNE GÖRE; PUPİL ÇAPI, ÖN KAMARA DERİNLİĞİ VE GÖZ İÇİ BASINCINA ETKİLERİNİN DEĞERLENDİRİLMESİ

Berke Temel¹, Yelda Yıldız Taşcı², Sema Yüzbaşıoğlu¹, Demet Özdaş³

¹AYBÜ Ankara Şehir Hastanesi, Göz Kliniği, Ankara

²Ankara Şehir Hastanesi, Göz Kliniği, Ankara

³Mardin Midyat Devlet Hastanesi, Mardin

AMAÇ: Sağlıklı bireylerde %1'lik siklopentolat ve %0.5'lik tropikamid damlalarının cinsiyet ve göz rengine göre; pupil çapı, ön kamara derinliği ve göz içi basıncına etkilerinin değerlendirilmesi

GEREÇ: Refraksiyon kusuru dışında başka oküler patolojisi tespit edilmeyen sağlıklı bireyler çalışmaya dahil edildi. Siklopentolat damlatılanlar grup 1, Tropikamid damlatılanlar grup 2 olarak adlandırıldı. Hastalar göz rengine göre de 3 alt gruba ayrıldı. Koyu kahverengi olanlar grup A, açık kahverengi olanlar grup B ve renkli göz (ela, yeşil, mavi) olanlar grup C olarak adlandırıldı. Hastalara damla öncesi ve damla sonrası Lenstar LS 900 optik biyometri cihazı ile pupil çapı ve ön kamara derinliği (ÖKD), tonopen ile göz içi basıncı (GİB) ölçümü yapıldı.

BULGULAR: Grup 1 ve 2 de 50'şer hastanın 100'er gözü değerlendirildi.. Kadın erkek oranı %52/%48, %48/%52 idi. Her iki grup arasında damla öncesi ve sonrası pupil çapı, ÖKD ve GİB değerlerinde anlamlı farklılık yoktu. Damla sonrası ortalama GİB değişiminin grup 2'de daha fazla olması anlamlı bulundu. Grup 1'de kadın ve erkekler arasında pupil çapı ve GİB değişimde anlamlı farklılık yokken, kadınlarda damla sonrası ÖKD'deki artışın erkeklerden fazla olması anlamlıydı. Grup 2'de ise pupil çapı, ÖKD ve GİB değişiminde kadın ve erkeklerde benzer oranlardaydı. GİB değişiminde grup 1B'deki GİB artış, grup 1C'deki GİB azalma anlamlıydı, pupil çapındaki değişimde grup 1B'nin grup 1A'ya göre daha fazla artması anlamlıydı. Grup 2'de damla sonrası ÖKD ve GİB değişimi göz renklerine göre anlamlı farklılık göstermezken, Grup 2B'de damla sonrası pupil çapındaki değişimin grup 2A ve 2C'ye göre daha az olması anlamlıydı.

SONUÇ: Siklopentolat ve tropikamid damlalarının pupil çapı ve ÖKD açısından etkileri benzer olup, tropikamid damlasının GİB arttırıcı etkisi gözlemlendi. Kadınlarda damla sonrası ÖKD artış daha fazlaydı ve her iki damlanın da pupil çapına etkisinde göz renklerinin etkili olduğu gözlemlendi.

Anahtar Kelimeler: Siklopentolat, tropikamid, optik biyometri,

SS36 PRİMER AÇIK AÇILI GLOKOMDA AZALMIŞ RADİAL PERİPAPİLLER KAPİLLER YOĞUNLUĞU VE RETİNA SİNİR LİFİ KALINLIKLARININ GLOKOMUN ŞİDDETİ İLE KORELASYONUNUN KARŞILAŞTIRILMASI

Gözde Hondur

Sağlık Bilimleri Üniversitesi, Ulucanlar Göz EAH, Ankara

AMAÇ:Primer açık açılı glokomda (PAAG) azalmış olarak izlenen radial peripapiller kapiller (RPC) yoğunluğu ve retina sinir lifi kalınlığının (RNFLT) görme alanı ortalama sapma değeri (MD) ile korelasyonunun karşılaştırılması amaçlanmıştır.

GEREÇ:PAAG (23 hastanın 23 gözü) ve kontrol (25 hastanın 25 gözü) grupları arasında RPC damar yoğunluğu ve RNFLT anlamlı farklılık gösterdi (her ikisi için $p < 0.00001$). PAAG hastalarında gözlenen azalmış RPC ve RNFLT görme alanı MD değeri ile anlamlı korelasyon gösterdi (sırasıyla $r: 0.75$ $p: 0.00004$, $r: 0.72$ $p:0.0001$).

BULGULAR:PAAG (23 hastanın 23 gözü) ve kontrol (25 hastanın 25 gözü) grupları arasında RPC damar yoğunluğu ve RNFLT anlamlı farklılık gösterdi (her ikisi için $p < 0.00001$). PAAG hastalarında gözlenen azalmış RPC ve RNFLT görme alanı MD değeri ile anlamlı korelasyon gösterdi (sırasıyla $r: 0.75$ $p: 0.00004$, $r: 0.72$ $p:0.0001$).

SONUÇ:PAAG'li gözlerde sağlıklı gözlerle göre RPC yoğunluğu anlamlı olarak azalmış bulundu. Ayrıca RPC damar yoğunluğunun glokom şiddeti ile korelasyonu, RNFLT nin glokom şiddeti ile korelasyonu benzer bulundu. Bu bulgular vasküler patolojinin glokom patogenezindeki önemini ve OKTA'nın glokom tanı ve takibinde önemli bir görüntüleme potansiyeli olduğu görüşünü desteklemektedir. Vasküler patolojinin tetikleyici bir faktör mu yoksa sonuç mu olduğunun anlaşılması için ise longitudinal çalışmalara gerek vardır.

Anahtar Kelimeler: Primer açık açılı glokom, görme alanı, radial peripapiller kapiller yoğunluğu, optik koherens tomografi anjiyografi, optik koherens tomografi anjiyografi

POSTER BİLDİRİLER

PS06 NÖROPROTEKTİF ETKİLİ GÖZ DAMLASININ (CİTİCOLİNE) MAKÜLER MİKROSİRKÜLASYONA ETKİSİ

Esat Çınar

Ekol Göz Hastanesi, İzmir

AMAÇ: Laser in situ keratomileusis (LASİK) cerrahisi yapılan hastalarda corneal hipoestezinin daha erken iyileştirilmesi için verilen nöroprotektif etkili göz damlasının (citicoline, OMK1®) retina mikrovasküler yapısına etkisi optik koherens tomografi anjiyografi (OCTA) ile değerlendirildi.

GEREÇ: Prospektif olarak düzenlenen çalışmaya LASİK ameliyatı yapılan ortalama yaşları 25.5 ± 8.6 yıl olan 45 hasta citicolin grubu, ortalama yaşları 26.1 ± 7.3 olan 48 LASİK hastası kontrol grubu olarak dahil edildi. Foveal avasküler alan (FAZ), retina yüzeyel vasküler tabaka damar dansitesi (SVD), derin tabaka damar dansitesi (DVD) foveal ve parafoveal alanda tüm lokalizasyonlarda (superior, inferior, temporal ve nasal) ameliyat öncesi, ameliyat sonrası 1 ve 3. ay değerleri her iki grupta OCTA ile ölçüldü. Subfoveal koriokapilaris kalınlığı (CT) ayrıca ölçüldü.

BULGULAR: Citicolin grubu ile kontrol grubu karşılaştırıldığında LASİK öncesi ve LASİK sonrası hem 1.ay hem de 3. ay değerlerinde Foveal ve parafoveal alanda tüm lokalizasyonlarda ne yüzeyel ne derin retina vasküler yapı damar dansitesinde ne de FAZ alanında anlamlı bir farklılık görülmedi ($p > 0.05$). preoperatif değerler ile karşılaştırıldığında Subfoveal koroidal kalınlık değerlerinde de her iki grup arasında ne 1. Ayda ne de 3. Ay değerlerinde anlamlı farklılık görülmedi ($p > 0.05$).

SONUÇ: Nöroprotektif etkili topikal citicolin damlanın retina yüzeyel ve derin mikrovasküler yapısı ve koriokapilaris üzerine olumsuz bir etkisi bulunmamaktadır.

Anahtar Kelimeler: Citicolin, Damar dansitesi, Mikrosirkülasyon, Nöroproteksiyon,

PS07 KURU GÖZÜN ANKSİYETE VE DEPRESYON İLE İLİŞKİSİ

Müge Fırat

Tutrhal Devlet Hastanesi, Turhal, Tokat

AMAÇ: Kuru göz birçok sistemik hastalıkla ortak patofizyoloji gösteren ve sıklıkla rastlanılan bir rahatsızlıktır. Bu çalışmanın amacı, kuru göz sendromunda anksiyeteye ve depresyona eğilimin daha önce psikiyatrik tanı veya tedavi almamış hastalarda değerlendirmektir.

GEREÇ: 32 kuru göz hastası ve 31 kontrol grubu hastasının dahil edildiği çalışmada, tüm katılımcılar tam oftalmolojik muayeneden geçti. Ayrıca Schirmer ve Gözyaşı Kırılma Zamanı (GKZ) testleri, Oküler Yüzey Hastalığı İndeksi (OSDI) uygulandı. Hastaların psikolojik değerlendirmeleri için Beck Anksiyete Ölçeği, Beck Depresyon Ölçeği kullanıldı.

BULGULAR: Schirmer sonuçları hasta grubunda 6,21 ($\pm 1,62$) mm, kontrol grubunda 12,09 ($\pm 4,93$) idi. GKZ hasta grubunda 5,18 ($\pm 1,71$) sn, kontrol grubunda 9,77 ($\pm 2,52$) sn bulunmuştur. OSDI değerleri hasta grubunda 45,06 ($\pm 20,43$), kontrol grubunda 24,42 ($\pm 23,94$) olarak saptanmıştır. Her iki grup arasında schirmer, GKZ, OSDI değerleri arasında anlamlı fark vardır ($p < 0,001$). Beck Depresyon Ölçeği sonuçlarına göre hasta grubunun %53,1'i depresyon olan grupta yer aldı. Kontrol grubunda ise %35,5'i depresyon olan gruptaydı. Depresyon pozitif hasta sayısı kontrol grubunda daha düşük olmakla birlikte anlamlı farklılık saptanmadı ($p > 0,05$). Beck Anksiyete Ölçeği sonuçlarına göre hasta grubunda anksiyete olan %71,9 hasta bulunurken kontrol grubunda ise %41,9 hasta vardı. Gruplarda anksiyete varlığına göre istatistiksel anlamlı fark saptanmıştır ($p < 0,05$). Anksiyetesi olmayan hasta sayısı, kontrol grubunda hasta grubunun iki katı kadardır. Kontrol grubunda şiddetli anksiyetesi olanlar (%3,2) ile çalışma grubundaki şiddetli anksiyetesi olanlar (%21,9) arasında anlamlı fark saptandı ($p < 0,05$).

SONUÇ: Bu çalışmada kuru göz sendromunun özellikle anksiyete ile ilişki gösterdiği sonucuna varılmıştır. Kuru göz sendromu tedavi uyumunda ve psikiyatri kliniklerindeki tedavi uygulamalarında bu ilişkinin göz önünde bulundurulması gerekmektedir.

Anahtar Kelimeler: kuru göz, anksiyete, depresyon

Hastaların Demografik Verileri

ölçüm	Hasta ort	Kontrol ort	P değeri
YAŞ	40,90 ± 16,11	33,93 ± 13,04	0,089
KADIN	26 (%81,2)	19 (%61,3)	0,080
ERKEK	6 (%18,8)	12 (%38,7)	
SCHIRMER	6,21 ± 1,62	12,09 ± 4,93	0,000
GKZ	5,18 ± 1,71	9,77 ± 2,52	0,000
OSDI	45,06 ± 20,43	24,42 ± 23,94	0,000
DEPRESYON (-)	15 (%46,9)	20 (%64,1)	0,159
DEPRESYON (+)	17 (%53,1)	11 (%35,5)	
ANKSİYETE (-)	9 (%28,1)	18 (%58,1)	0,016
ANKSİYETE (+)	23 (%71,9)	13 (%41,9)	

PS08 PSÖDOEKSFOLİYASYON SENDROMUNDA FAKOEMÜLSİFİKASYON SONRASI ÖN SEGMENT PARAMETRELERİ VE GÖZ İÇİ BASINCI DEĞİŞİMLERİ

Müge Fırat¹, Ali Şimşek²

¹Turhal Devlet Hastanesi, Turhal, Tokat

²Harran Üniversitesi, Şanlıurfa

AMAÇ: Psödoeksfoliyasyon sendromu, katarakt ile sıklıkla birliktelik göstermekte ve katarakt cerrahisinde komplikasyon olasılığını artırmaktadır. Bu çalışmanın amacı psödoeksfoliyasyon varlığında yapılacak katarakt cerrahisine bağlı ön kamara parametreleri ve göz içi basıncı değişiklerinin araştırılmasıdır.

GEREÇ: Bu prospektif çalışmaya elektif fakoemülsifikasyon cerrahisi planlanan, psödoeksfoliyasyonu olmayan 35 hastanın 35 gözü (grup 1), psödoeksfoliyasyonu olan 37 hastanın 40 gözü (grup 2) dahil edildi. Hastaların ameliyat öncesinde ve ameliyat sonrası 1. hafta, 1. ve 3. aylarda Sirius-Scheimflug cihazı ile ön segment değerlendirildi ve Goldman aplanasyon tonometrisi ile göz içi basınçları ölçüldü. Ön segment parametrelerinden santral korneal kalınlık, ön kamara hacmi, ön kamara derinliği, ön kamara açısı ve kornea hacmi parametreleri değerlendirildi.

BULGULAR: Grup 1 ve grup 2 arasında ön kamara hacmi, ön kamara derinliği, ön kamara açısı ve göz içi basıncı değerleri bakımından ameliyat öncesi ile ameliyat sonrası değerler arasında istatistiksel olarak anlamlı fark vardı ($p < 0,001$). Santral korneal kalınlık ölçümlerinde gruplar arasında 1. hafta ve 1. ay değerler arasındaki fark istatistiksel olarak anlamlıydı ($p < 0,05$). Kornea hacmi ise grup 2 de tüm ölçümlerde kontrolden anlamlı yüksek olmakla birlikte pre op değere göre post op ölçümleri anlamlı yüksektir

SONUÇ: Bu araştırmadan elde edilen bulgulara göre fakoemülsifikasyon GİB ve ön segment parametrelerini değiştirmektedir. Bununla birlikte psödoeksfoliatif kataraktlarda, eksfoliyatif materyalin endotel ve ön kamara üzerinde yaptığı strese bağlı parametrelerdeki değişim daha dramatik olmuştur. Bu olgularda ultrasonik enerji mümkün olduğunca az ve kısa süreli uygulanmalı, korneayı daha iyi koruyan viskoelastik ve irrigasyon sıvıları tercih edilmelidir.

Anahtar Kelimeler: psödoeksfoliyasyon, katarakt, fakoemülsifikasyon, göz içi basıncı, ön kamara

Grupların vizitlere göre karşılaştırması

	GRUP 1 (n=35)		GRUP 2 (n=40)			GRUP 1 (n=35)		GRUP 2 (n=40)	
	p	test değeri	p	test değeri		p	test değeri	p	test değeri
1.SKK					4.ÖKA				
preop -postop 1.hafta	0,011*	-2,694	0,000*	-3,887	preop -postop 1.hafta	0,000*	-6,923	0,000*	-5,560
preop-postop 1.ay	0,125	1,572	0,028*	-2,287	preop-postop 1.ay	0,000*	-5,345	0,000*	-9,735
preop-postop 3.ay	0,149	1,478	0,02*	-2,429	preop-postop 3.ay	0,000*	-5,508	0,000*	-11,990
postop 1.hafta-postop1.ay	0,009*	2,763	0,002*	3,258	postop 1.hafta-postop1.ay	0,013*	2,628	0,034*	-2,204
postop 1.hafta-postop 3.ay	0,000*	4,390	0,007*	2,833	postop 1.hafta-postop 3.ay	0,122	1,588	0,004*	-3,044
postop 1.ay-postop 3.ay	0,383	-0,884	0,861	0,77	postop 1.ay-postop 3.ay	0,196	-1,319	0,0049*	-2,037
2.ÖKD					5.KH				
preop -postop 1.hafta	0,000*	-7,735	0,000*	-6,431	preop -postop 1.hafta	0,092	-1,736	-0,001*	-3,570
preop-postop 1.ay	0,000*	-7,803	0,000*	-9,496	preop-postop 1.ay	0,000*	4,429	0,004*	-3,096
preop-postop 3.ay	0,000*	-9,617	0,000*	-10,196	preop-postop 3.ay	0,003*	3,199	0,004*	-3,078
postop 1.hafta-postop1.ay	0,225	-1,235	0,126	-1,564	postop 1.hafta-postop1.ay	0,000*	5,468	0,038*	2,145
postop 1.hafta-postop 3.ay	0,078	-1,815	0,041*	-2,109	postop 1.hafta-postop 3.ay	0,000*	6,059	0,046*	2,061
postop 1.ay-postop 3.ay	0,836	0,209	0,155	-1,448	postop 1.ay-postop 3.ay	0,742	-0,332	0,66	-443
3.ÖKH					6.GİB				
preop -postop 1.hafta	0,000*	-5,355	0,000*	-4,519	preop -postop 1.hafta	0,002*	3,320	0,000*	7,022
preop-postop 1.ay	0,000*	-5,193	0,000*	-8,681	preop-postop 1.ay	0,586	0,550	0,029*	2,273
preop-postop 3.ay	0,000*	-5,137	0,000*	-9,333	preop-postop 3.ay	0,524	0,644	0,000*	8,187
postop 1.hafta-postop1.ay	0,795	0,262	0,614	-0,508	postop 1.hafta-postop1.ay	0,000*	-4,656	0,034*	-2,202
postop 1.hafta-postop 3.ay	0,980	0,334	0,268	-1,123	postop 1.hafta-postop 3.ay	0,000*	-5,311	0,275	1,107
postop 1.ay-postop 3.ay	0,311	1,027	0,109	-1,639	postop 1.ay-postop 3.ay	0,94	0,076	0,002*	3,304

Hastaların gruplar arasında karşılaştırması

	grup1 n=35	grup2 n=40	t değeri	pdeğeri
	ortalama±standart sapma	ortalama±standart sapma		
YAŞ	68,2286±11,995307	70,6500±6,158380	-1,120	0,286
Pre-op				
SKK	0,52037±0,038003	0,53887±0,048788	-1,813	0,074
ÖKD	2,57143±0,504294	2,67575±0,390883	-1,008	0,317
ÖKH	123,866±35,890	118,60±29,876498	0,696	0,489
ÖKA	37,1143±11,8638	39,4000±6,85304	-1,037	0,303
KH	49,7543±4,2416	52,9400±7,424485	-2,238	0,028*
GİB	14,6857±3,8864	17,9925±2,644661	-4,264	0,001*
1.hafta				
SKK	0,52826±0,050170	0,56465±0,060210	-2,820	0,006*
ÖKD	3,24800±0,514975	3,22675±0,42236	0,19	0,845
ÖKH	146,571±35,332276	150,150±38,243183	-0,419	0,67
ÖKA	47,0857±11,877	48,0250±8,160215	-0,403	0,688
KH	50,7457±4,803635	62,075±16,158522	-4,226	0,001*
GİB	12,857±2,045696	15,4750±2,611488	-4,861	0,001*
1.ay				
SKK	0,50543±0,083351	0,54912±0,056177	-2,691	0,009*
ÖKD	3,33000±0,610559	3,30725±0,337874	0,203	0,84
ÖKH	146,086±37,81018	152,275±27,580175	-0,817	0,41
ÖKA	45,400±12,233512	50,00±6,3488	-2,081	0,0051
KH	47,757±4,4362	56,335±5,4711	-7,389	0,0001*
GİB	14,400±2,5981	16,700±3,524275	-3,180	0,002*
3.ay				
SKK	0,5134±0,6613	0,54858±0,0461	1,193	0,206
ÖKD	3,3165±0,51882	3,38625±0,28139	-0,709	0,482
ÖKH	145,029±36,487	155,300±25,578	-1,425	0,158
ÖKA	45,771±12,459548	51,8500±5,833370	-2,644	0,011
KH	47,874±4,1363	56,6725±4,5071	-8,762	0,001**
GİB	14,37±2,961376	15,05±2,659767	-1,038	0,299

PS09 OPTİK NEVRİT YANLIŞ TANISI ALAN BİR AKUT ZONAL GİZLİ DİŞ RETİNOPATİ OLGUSU

Berrak Şekeryapan Gediz, Mehmet Ali Şekeroğlu

Sağlık Bilimleri Üniversitesi Ulucanlar Göz Eğitim ve Araştırma Hastanesi, Ankara

AMAÇ: Bu yazıda yanlılıkla optik nevrit tanısı konup sistemik steroid tedavisi başlanan bir akut zonal gizli dış retinopati (AZGDR) olgusu sunulmaktadır
GEREÇ: Olgu sunumu

BULGULAR: 29 yaşında erkek hasta sağ gözde 1 hafta önce başlayan görme azalması ile başvurdu. Özgeçmişinde sol gözde strabismik ambliyopi mevcuttu. Hikayesinden 3 hafta önce gribal enfeksiyon geçirdiği, takiben gelişen görme azalması nedeniyle göz doktoruna başvurduğu ve nörolojiye yönlendirilip optik nöropati tanısıyla 4 gündür sistemik steroid tedavisi aldığı öğrenildi. Oftalmolojik muayenesinde en iyi düzeltilmiş görme keskinlikleri (EİDGK) sağda 20/32, solda 20/50 olup göz içi basınçları normaldi. Işık refleksleri normal olan hastanın ön segment muayenesinde sağ göz doğal olup sol gözde ekzotropya mevcuttu. Fundus muayenesinde sağ gözde foveanın superiorunda ve temporalinde ve üst temporal periferde retinal soluklaşma alanları görülmektedir. (Resim 1) Sol göz fundus muayenesi doğaldı. Floresein anjiyografide ise sağ gözdeki lezyonlar pencere defekti şeklinde izlenmekteydi. (Resim 2) Optik koherens tomografide sağ gözde soluklaşma alanına denk gelen kesitlerde AZDGR için tipik olan trizonal görünüm mevcuttu, eksternal limitan membran ve elipsoid zonun olmadığı izlendi. (Resim 3) Fundus otofloresans görüntülemesinde retinal atrofik lezyon keskin sınırlı hiperotfloresan görünümdeydi ve optik sinirin üst nazalinde ve foveanın inferiorunda da görülmektedir. (Resim 4) Hastanın beyin manyetik rezonans görüntülemesi normaldi. Hastaya AZGDR tanısı konarak sistemik steroid tedavisine devam edildi. Hastanın 1 ay sonraki muayenesinde EİDGK 20/20'ye çıkarken görüntüleme bulgularının değişmediği izlendi.

SONUÇ: AZGDR etyolojisi bilinmeyen, gençlerde tek taraflı görsel şikayetlerle giden ve belirgin fundus bulgularına sebep olmayan bir hastalıktır. Bu nedenle yanlılıkla optik nöropati tanısı alabilmektedir. Multimodal görüntüleme tekniklerinin gelişmesiyle patognomonik sayılabilecek bulguları hastalığın tanısında anahtar rol oynamaktadır.

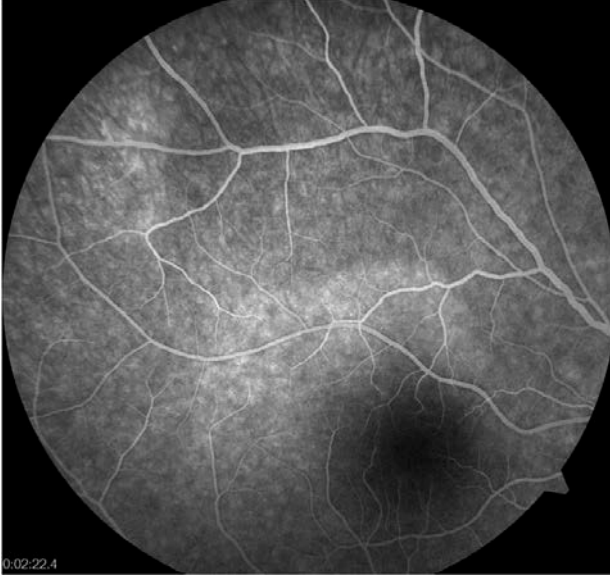
Anahtar Kelimeler: Akut zonal gizli dış retinopati, optik nöropati, optik koherens tomografi, floresein anjiyografi, fundus otofloresans

Resim 1



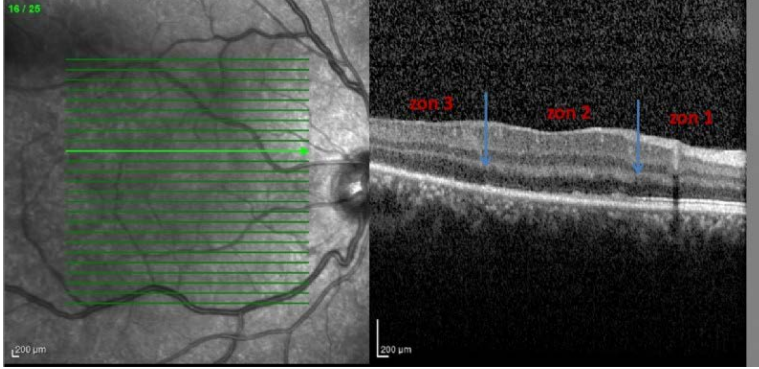
Sağ gözün renkli fundus fotoğrafında foveanın superiorunu ve temporalini tutan retinal soluklaşma alanı ve üst temporal alanda kama şeklinde keskin sınırlı ikinci bir retinal soluklaşma alanı izlenmektedir.

Resim 2



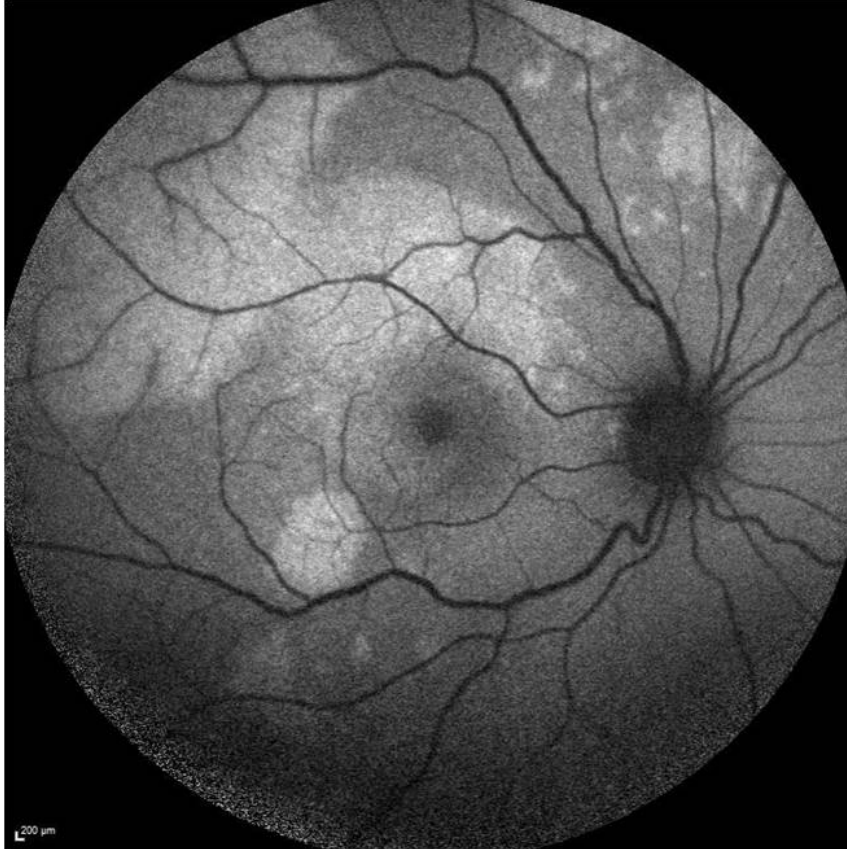
Sağ gözün floresein anjiografi görüntüsünde retinadaki lezyon alanları pencere defekti şeklinde izlenmektedir.

Resim 3



Sağ göz OKT'de retinal soluklaşma alanına denk gelen kesitte trizonal görünüm izlenmektedir. Demarkasyon hattının dışında kalan OKT normal iken (zon 1), demarkasyon hattının içinde subretinal druzenoid birikintileri andıran multifokal hiperreflektif materyal (zon 2) izlenmektedir. Görüntünün devamında ise eksternal limitan membranının ve elipsoid zonun olmadığı (zon 3) görülmektedir.

Resim 4



Fundus otofloresans görüntüleme retinal atrofik lezyon keskin sınırlı hiperotofloresans izlenmekte ve optik sinirin üst nazalinde ve foveanın inferrotemporalinde de görülmektedir.

PS11 FAKOEMÜLSİFİKASYON CERRAHİSİNDE ANTİBİYOTİK PROFİLAKSİSİ

Meryem Donbaloğlu, Muhammed Ömer Bulakçıbaşı
İSKENDERUN DEVLET HASTANESİ

AMAÇ: Fakoemülsifikasyon cerrahisinde preoperatif, intraoperatif ve postoperatif antibiyotik profilaksiye ihtiyaç olup olmadığını araştırmak

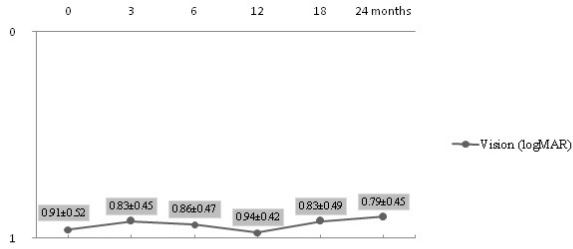
GEREÇ: 21 Temmuz 2014- 8 Kasım 2019 tarihleri arasında fakoemülsifikasyon ameliyatı yapılan 328 olgu retrospektif olarak incelendi. Olgular iki gruba ayrıldı. Birinci grup 2019 eylül ayına kadar intraoküler antibiyotik profilaksi yapılmış olanlar, ikinci grup eylül ayından kasım ayına kadar intraoperatif ve postoperatif profilaksi yapılmayan olgular oluşturmaktadır. Olguların, yaş, cinsiyeti, arka kapsül rüptürü olanlar, vitrektomi yapılanlar, postoperatif birinci gün, birinci hafta ve birinci ay kontrollerinde ön kamarada hücre reaksiyonu değerlendirildi.

BULGULAR: Grupların yaş ortalaması sırası ile 67 ve 69 yıl idi. Birinci grubun 57.8 erkek, 42.2'si kadın iken ikinci grubun 67,2 erkek, 37,2 kadın oluşmaktadır. Her iki grubun ön kamara hücre reaksiyonlarının birinci gün, ilk hafta ve ilk aydaki kontrollerinde anlamlı fark tespit edilmemiştir. (p değeri 0,157) Arka kapsül rüptürü ve yapılan işlem ile birinci haftada gelişen fibriller membran arasında da bir ilişki bulunamamıştır.

SONUÇ: Sonuç olarak fakoemülsifikasyon cerrahisinde preoperatif, intraoperatif ve postoperatif antibiyotik profilaksisine ihtiyaç olmadığı anlaşılmıştır. Her iki grupta postoperatif 1. haftada tespit edilen fibriller membran cerrahi süresinin uzun olan olgularda görüldüğü tespit edilmiştir. Arka kapsül rüptürü gelişen ve ön vitrektomi yapılan olgularda da iki grup arasında fark tespit edilmemiştir.

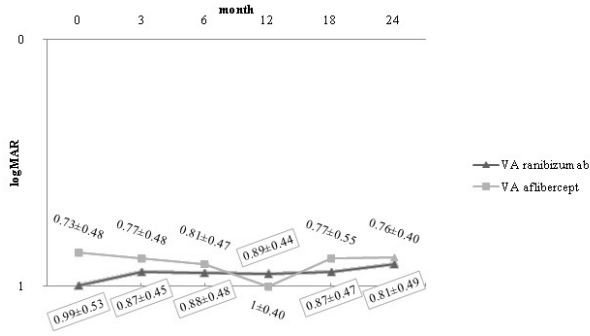
Anahtar Kelimeler: antibiyotik, endoftalmi, profilaksi

Figür 1



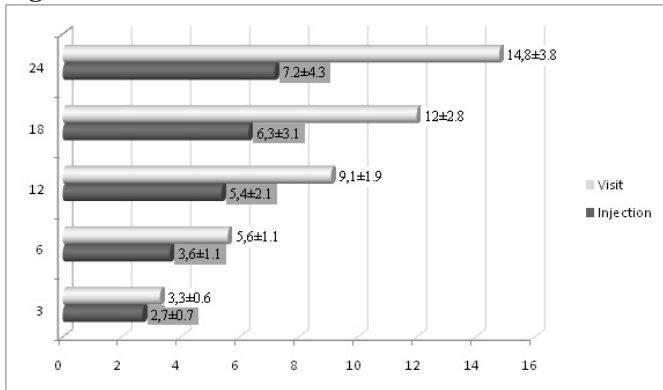
İki yıllık tedavi süresince ortalama logMAR görme keskinliği değişimi

Figür 2



Ranibizumab veya aflibersept ile tedavi edilen hastalarda ortalama logMAR görme keskinliği değişimi

Figür 3



Hastaların anti-VEGF tedavileri süresince ortalama ziyaret ve enjeksiyon sayısı değişimleri

PS13 ORAL İZOTRETİNOİN TEDAVİSİNİN RETİNA SİNİR LİFİ TABAKA KALINLIĞI ÜZERİNE ETKİSİ

Uğur Gürlevik, Erdogan Yaşar

Aksaray Üniversitesi Tıp fakültesi, Göz hastalıkları Ana Bilim Dalı, Aksaray

AMAÇ: Isotretinoin (13, cis-retinoik asit), özellikle diğer tedavilere cevap vermeyen şiddetli kistik akne için kullanılan sentetik bir retinoiddir. İzotretinoin etkili bir ilaçtır ancak aynı zamanda geniş bir yan etki profiline sahiptir. İzotretinoin tedavisinde oküler yan etkiler yaygın olarak görülmektedir. Özellikle, bulanık görme, keratit, korneal opasiteler, blefarokonjonktivit, kuruluk, azalmış karanlık adaptasyon, fotofobi, retinal anormallikler ve idiyopatik intrakraniyal hipertansiyon, optik nörit, görme alanı defektleri gibi nörolojik bozukluklardır. Bu çalışmada oral izotretinoin tedavisinin retina sinir lifi tabakası (RNFL) kalınlığına olan etkisini optik koherens tomografi (OKT) ile saptamayı amaçladık.

GEREÇ: Çalışma popülasyonu oral izotretinoin (Roaccutane) tedavisi alan nodülokistik akneli 20 hastanın 20 gözünden oluşuyordu. Peripapiller RNFL kalınlık ölçümleri, tedaviden önce ve sonra 1.ay 3.ay 6.ay da optik koherens tomografisi (OCT) kullanılarak yapıldı.

BULGULAR: Hastaların inferior kadranda RSLT ye göre tedavi öncesi; 125,20µm, tedavi sonrası 1,3,6 aylar da sırası ile; 127.20µm, 127.85µm, 127.55µm idi. Temporal kadranda tedavi öncesi; 81,80µm, tedavi sonrası 1,3,6 aylar da sırası ile; 81.20µm, 79.90µm, 78.85µm idi. Nazal kadranda tedavi öncesi; 82.25µm, tedavi sonrası 1,3,6 aylar da sırası ile; 85.20µm, 84.25µm, 82.85µm idi. Süperior kadranda tedavi öncesi; 120.85µm, tedavi sonrası 1,3,6 aylar da sırası ile; 119.90µm, 121.90µm, 120.70µm idi. Tüm kadranda RSLT kalınlık değişimleri istatistiksel olarak anlamlı değil idi fakat en fazla düşüş temporal kadranda izlendi.

SONUÇ: Oral izotretinoin tedavisinin kullanımı son yıllarda artmıştır. Oral izotretinoin tedavisi, oküler sistem üzerinde geniş bir olumsuz etki potansiyeline sahiptir. RNFL kalınlığının, OCT ile ölçülmesi, oral izotretinoin tedavisinin RNFL üzerindeki olası toksik etkisinin saptanması için faydalı olabilir.

Anahtar Kelimeler: isotretinoin, Optik kohorens tomografi, Retina sinir lifi

PS16 ERİŞKİN HASTALARDA UYGULANAN ŞAŞILIK CERRAHİSİNİN BİNOKÜLARİTE VE STEREOPSİS ÜZERİNE ETKİSİ

Pınar Bingöl Kızıltunç, Huban Atilla

Ankara Üniversitesi Tıp Fakültesi, Göz Hastalıkları Ana Bilim Dalı, Ankara

AMAÇ :Bu çalışmada erişkin yaşta şaşılık cerrahisi geçiren hastaların demografik ve klinik özelliklerinin belirlenmesi ve cerrahinin binoküler görme ve stereopsis üzerine etkisinin değerlendirilmesi amaçlanmıştır.

GEREÇ: On sekiz yaşından sonra şaşılık cerrahisi geçiren 119 hastanın dosyası retrospektif olarak tarandı. Hastaların preoperatif ve postoperatif görme keskinliği, kayma açısı, duyu ve motor füzyonu değerlendirildi. Gelişme döneminde ve sonrasında ortaya çıkan şaşılıklar arasındaki farklılığın değerlendirilmesi amacıyla olgular şaşılığı 9 yaşından önce ve sonra başlayan olacak şekilde 2 gruba ayrıldı.

BULGULAR: Yüz on dokuz hastanın %73,1'inde şaşılık başlangıç yaşı 9 yaşından önceydi. Hastaların %58,8'inde ekzotropanya, %21,9'unda ezotropanya, %16,7'sinde kranial sinir felci vardı. Görme keskinliği 1,3 logMAR'dan az olan 29 (%24,4) hastaya kozmetik amaçla cerrahi uygulandı. Hastaların %58,8'inde preoperatif ve postoperatif stereopsis değerlendirilebildi. Stereopsisi değerlendirilebilen hastaların %54,3'ünde postoperatif stereopsiste iyileşme izlendi. Bu iyileşme şaşılık başlangıç yaşının 9 yaş öncesi veya sonrası olması ile ilişkili değildi. Erişkin başlangıçlı ekzotropanya (XT) hastalarının tamamında, çocukluk dönemi başlangıçlı XT hastalarının ise % 51,7'sinde postoperatif stereopsiste düzelme izlendi. Ezotropanya (ET) grubunda nonakomodatif ET hastalarının %44,4'ünde stereopsiste artış oldu. Preoperatif uzak veya yakında supresyonu olan hastaların %50'sinde ise postoperatif füzyon gelişti.

SONUÇ: Erişkin hastalarda şaşılık cerrahisi kozmetik nedenlerle uygulanabileceği gibi, diplopiyi ortadan kaldırmak, binoküler görme ve stereopsisi geliştirmek için de uygulanabilir. Şaşılık başlangıç yaşından bağımsız olarak erişkin hastalarda uygulanan şaşılık cerrahisi sonrası binoküler görme kazanılabilir.

Anahtar Kelimeler: Binoküler Görme, Erişkin, Füzyon, Stereopsis, Şaşılık, Şaşılık Cerrahisi

PS21 YÜKSEK MİYOPİLİ HASTADA FAKİK GÖZ İÇİ LENS İMPLANTASYONU SONRASI GELİŞEN SUBFOVEAL HEMORAJİ

Shargıyya Bayramova, Volkan Hürmeriç
Dünyagöz Hastanesi Tunus, Ankara

AMAÇ: Fakik göz içi lens (FGİL) implantasyonu sonrası gelişen subretinal hemoraji vakasını değerlendirmek

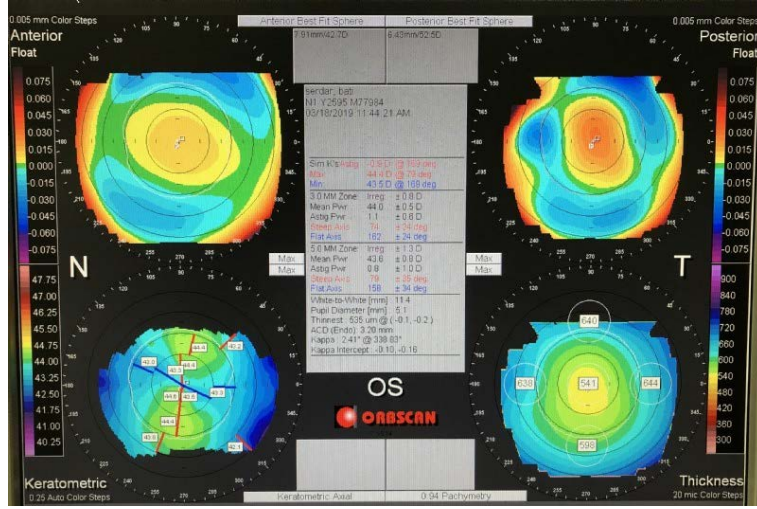
GEREÇ: Olgu sunumu

BULGULAR: 24 yaşında erkek hasta kliniğimize yüksek miyopi ve astigmatizma tanısı ile başvurdu. Otofektometre değeri sağ göz -8.25-2.25x60, sol göz -12.25-2.25x145, GİB sağ göz 19 mmHg, sol göz 21 mmHg, sağ göz EİDGK 0.8, sol göz EİDGK 0.5 olarak saptandı. Ön segment muayenesi bilateral doğal, fundus muayenesinde miyopik retina bulguları izlendi. Aksiyel uzunluk sağ gözde 27.29 mm, sol gözde 28.47 mm olarak ölçüldü. Korneal topografide endotelden ölçülen ön kamera derinliği sağ gözde 3.29 mm, sol gözde 3.20 mm, white-to-white mesafesi sağ göz 11.2mm, sol göz 11.4mm olarak ölçüldü. Skotopik pupil çapı bilateral 6 mm olarak ölçüldü. Bilateral Torik FGİL implantasyonu (Visian ICL) planlandı. İntraoperatif sol göze FGİL implantasyonu sırasında lensin ters açılması nedeni ile lens çıkarılarak tekrar implante edildi. Birinci ay kontrolünde sağ göz OR +1.25-1.25x30, sol göz OR +1.25-1.00x130, GİB değeri bilateral 21 mmHg, sağ gözde düzeltilmemiş görme keskinliği 0.9, sol gözde 0.8 düzeyindeydi. Bilateral ICL ile lens arasındaki mesafe normaldi. Endotel hücre sayısı sağ göz 2535, sol göz için 2035 olarak ölçüldü. Postoperatif 6. cı ayda hasta sol gözde bulanık görme şikayeti ile başvurdu. Sol gözde foveada bir optik disk çapında subretinal hemoraji, makula OCT'de sol göz SMK 426 mkrn'du. Sola intravitreal Bevacizumab enjeksiyonu (1.25 mg, 0.5 ml) yapıldı. Beşinci gün kontrolünde sol göz SMK 315 mkrn olarak ölçüldü, retinal hemorajinin azaldığı izlendi.

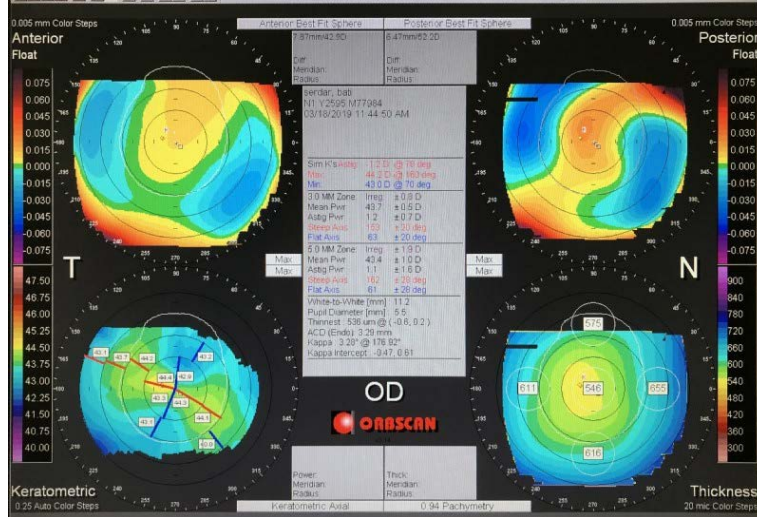
SONUÇ: FGİL implantasyonu sonrası oluşan akut makular hemoraji retinada Lacquer çatlaklarına bağlı oluşa bilir(1). Postoperatif 1 ci ayda endotel hücre kaybının 9.9% olduğu gösterilmiştir(2). Olgumuzda subretinal hemorajinin yüksek miyopili retinada Lacquer çatlaklarına ve spontan Bruch membran rüptürüne bağlı olduğunu düşünmekteyiz. İntraoperatif manevralara bağlı Bruch membranında mekanik disturbans olasılığı da nedenler arasında ola bilir.

Anahtar Kelimeler: Fakik Göz İçi Lens, Subretinal Hemoraji, Yüksek Miyopi

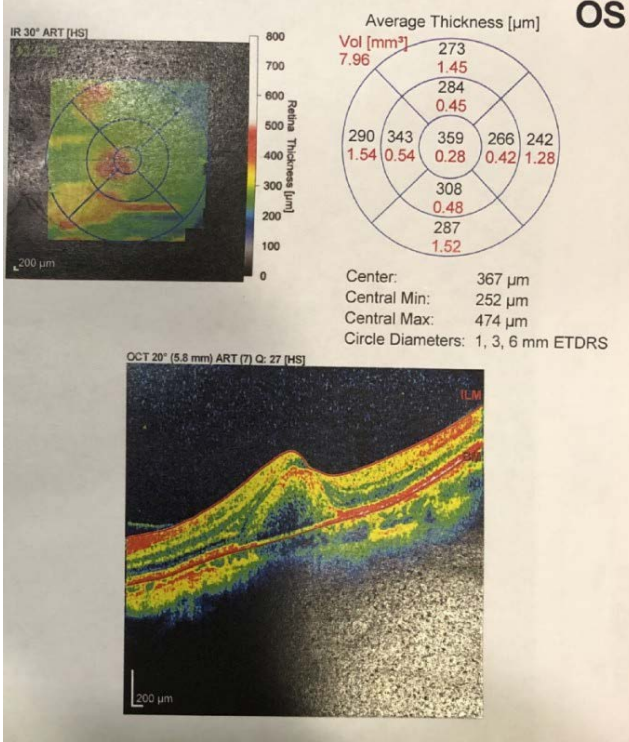
Kornea Topografisi



Kornea Topografisi



Optik Koherens Tomografisi



OS Renkli Fundus Resmi



PS22 PUPİL DİLATASYONUNUN BİOMETRİK PARAMETRELER ÜZERİNDEKİ ETKİSİNİN IOLMASTER 700 İLE DEĞERLENDİRİLMESİ

Yalçın Karaküçük, Serhat Eker, Bengü Ekinci Köktekir
Selçuk Üniversitesi Tıp Fakültesi, Göz Hastalıkları Anabilim Dalı, Konya

AMAÇ: Biometrik parametrelerin pupil dilatasyonu ile değişip değişmediğini IOLmaster 700 biometri cihazı değerlendirmek

GEREÇ: Bu çalışmada 28 katarakt hastasının aksiyel uzunluk, ön kamara derinliği göz içi lens gücü, keratometri değerleri ve pupil çapı, pupil dilatasyonu öncesi ve sonrasında IOLmaster 700 biometri cihazı kullanılarak değerlendirildi. Kataraktı olan 25 gözde pupil dilatasyonu yapılmadan iki ardışık ölçüm alınan hastalar kontrol grubu olarak seçildi.

BULGULAR: Çalışma grubunda pupil dilatasyonu öncesi yapılan ölçümlerde keratometri değerleri ve ön kamara derinliği pupil dilatasyonu sonrası yapılan ölçümlerden istatistiksel olarak farklı idi (her iki parametre için $p < 0,05$) fakat aksiyel uzunluk ve göz içi lens gücü pupil dilatasyonu öncesi ve sonrası ölçümlerde istatistiksel olarak farklı değildi. Çalışma grubunda iki olguda kontrol grubunda ise bir olguda göz içi lens gücü 0,5 dioptriden farklı idi.

SONUÇ : Pupil dilatasyonu IOLmaster 700 kullanılarak yapılan göz içi lens ölçümlerini etkilememektedir.

Anahtar Kelimeler: aksiyel uzunluk, biometri, IOLmaster 700, pupil dilatasyonu

PS23 DİYABETİK MAKÜLA ÖDEMİ NEDENİYLE İNTRAVİTREAL AFLİBERCEPT TEDAVİSİ UYGULANAN HASTALARDA SUBFOVEAL KOROIDAL KALINLIK İLE SANTRAL MAKÜLA KALINLIK DEĞİŞİM KORELASYONUNUN DEĞERLENDİRİLMESİ

Bekir Küçük, Ender Sırakaya
Kayseri Şehir Hastanesi, Göz Hastalıkları Kliniği, Kayseri

AMAÇ: Tedavi naif diyabetik maküla ödemi nedeniyle intravitreal aflibercept enjeksiyonu yapılan hastalarda subfoveal koroidal kalınlık ile santral maküla kalınlığı ve en iyi düzeltilmiş görme keskinliği ilişkisini değerlendirmek.

GEREÇ: Retrospektif bu çalışmaya diyabetik maküla ödemi bulunan 25 hastanın (15erkek, 10 kadın) 25 gözü dahil edildi. Hastalar 3 aylık aflibercept yükleme dozundan sonra pro-nata tedavi rejimi ile tedavi edildi ve takip süresi 6 aydı. Tüm hastaların tedavi öncesi, tedavi sonrası 3. ve 6. aylarda snellen eşeli ile en iyi düzeltilmiş görme keskinliği, spektral domain optik koherens tomografi ile subfoveal koroidal kalınlık ve santral maküla kalınlık ölçümleri değerlendirildi.

BULGULAR: Çalışmaya alınan hastaların ortalama yaşı 61.7 ± 9.1 yıl idi. Tedavi öncesi en iyi düzeltilmiş görme keskinliği ortalaması 0.32 ± 0.19 iken tedavi sonrası 3. ayda 0.48 ± 0.22 ; 6. ayda 0.52 ± 0.20 seviyesine çıktığı görüldü ($p < 0.001$). Tedavi öncesi santral maküla kalınlığı 492 ± 105 mikron iken, 3. ayda 379 ± 77 mikrona, 6. ayda 332 ± 66 mikrona gerilemişti ($p < 0.001$). Subfoveal koroidal kalınlık, tedavi öncesi 273 ± 61 mikron iken, tedavi sonrası 3. ay ve 6. ayda sırasıyla 244 ± 47 mikron, 238 ± 46 mikron olarak ölçüldü ($p < 0.001$). Hastalara 6 aylık takip süresinde yapılan enjeksiyon sayısı 4.3 ± 0.7 idi. Santral maküla kalınlığı değişimi ile subfoveal koroidal kalınlık değişimleri arasında 3. ay ve 6. ayda pozitif korelasyon olduğu görüldü (sırasıyla $r = 0.490$, $p = 0.013$; $r = 0.510$, $p = 0.009$ Pearson korelasyon).

SONUÇ: Diyabetik maküla ödemi tedavisinde uygulanan intravitreal aflibercept, santral maküla kalınlığına ek olarak subfoveal koroidal kalınlığı da azaltmaktadır. Subfovea koroidal kalınlıktaki bu azalma ile santral maküla kalınlığı değişimi arasında pozitif korelasyon vardır.

Anahtar Kelimeler: Aflibercept, diyabetik maküla ödemi, santral maküla kalınlığı, subfoveal koroidal kalınlık

PS25 1000 CST VE 5000 CST SİLİKON YAĞI KULLANILARAK TEDAVİ EDİLEN REGMATOJEN RETİNA DEKOLMANLI HASTALARDA MAKULA KATMANLARININ SEGMENTAL ANALİZİ

Mehmet Fuat Alakuş, Umut Dağ, Mehtap Çağlayan, Hasan Öncül
Sağlık Bilimleri Üniversitesi Diyarbakır Gazi Yaşargil Eğitim ve Araştırma Hastanesi, Göz
Kliniği, Diyarbakır

AMAÇ: Makula tutulumlu regmatojen retina dekolmanı nedeniyle farklı viskozite ve moleküler ağırlığa sahip 1000 cst ve 5000 cst silikon yağı kullanılarak opere edilen hastalarda makula katmanlarındaki kalınlık değişimlerini ve görsel iyileşmeyi karşılaştırmak.

GEREÇ: Çalışmaya semptomların başlangıç tarihi ile cerrahi arasında geçen süre 2-7 gün olan ve 3 aydan daha uzun olmamak kaydı ile silikonu alınan 43 hastanın 82 gözü dahil edildi. 1000cst silikon yağı kullanılan 19 göz Grup 1, 5000cst silikon yağı kullanılan 24 göz grup 2 olarak sınıflandırıldı. Kontrol grubu ise bu hastaların 39 sağlıklı gözü ile oluşturuldu. Tüm hastaların silikon yağı çıkarıldıktan sonraki en iyi görme keskinliği değerleri (EİGK) ve segment analiz sistemi kullanılarak Optik Koharens Tomografi cihazı ile otomatik olarak ölçülen merkezi makula kalınlığı (MMK), retina sinir lifi tabakası (RSLT), gangliyon hücre tabakası (GH), iç pleksiform tabaka (İP), iç nükleer tabaka (İN), dış pleksiform tabaka (DP), dış nükleer tabaka (DN), retina pigment epitel, (RPE), iç retina (İR) ve dış retina (DR) kalınlık değerleri karşılaştırıldı.

BULGULAR: Gruplardaki EİGK değerleri snellene göre sırasıyla Grup 1’de $0,16 \pm 0,18$, Grup 2’de $0,4 \pm 0,19$ ve kontrol grubunda $0,85 \pm 0,19$ olup, gruplar arasında anlamlı farklıydı (Grup 1-Grup 2 için $p:0,046$, Grup 1-Kontrol grubu için $p<0,001$ ve Grup 2-Kontrol grubu için $p<0,001$). Merkezi makula kalınlığı, DN ve İR kalınlıkları 5000cst silikon kullanılan grupta kontrol grubuna göre anlamlı daha düşüktü (sırasıyla $p:0,007$, $p:0,016$, ve $p:0,009$). 1000 cst silikon grubunda MMK, DN ve İR kalınlık değerleri kontrol grubuna göre daha düşük bulunsada istatistiksel olarak anlamlı fark yoktu.

SONUÇ: Yüksek moleküler ağırlığa sahip silikon yağları makula off olgularda daha güçlü mekanik bası ile makula katmanlarının yapışmasını sağlarken mekanik basının etkisi ile bu tabakalarda bir miktar incelmeye neden olabilir.

Anahtar Kelimeler: retina dekolmanı, silikon, makula katmanları

PS28 SWEPT SOURCE-OPTİK KOHERENS TOMOGRAFİ VE DÜŞÜK KOHERENS REFLEKTOMETRİ CİHAZLARININ BİOMETRİK PARAMETRELER AÇISINDAN KARŞILAŞTIRILMASI

Sule Nur Acar Duyan, Yalçın Karaküçük, Bengü Ekinci Köktekir
Selçuk Üniversitesi, Göz Hastalıkları Ana Bilim Dalı, Konya

AMAÇ: Katarakt hastalarında swept source-optik koherens tomografi (IOLmaster) ve düşük koherens reflektometri (Lenstar 900) cihazlarının biometrik parametreler açısından karşılaştırılması

GEREÇ :Bu prospektif çalışmada 31 hastanın 31 gözü IOLmaster 700 ve Lenstar 900 optik biometri cihazları ile aynı gün ölçüm alınarak değerlendirildi. Ortalama ölçüm süreleri, aksiyel uzunlukları, ön kamara derinlikleri, lens kalınlıkları ve keratometri değerleri(K1, K2) karşılaştırıldı.

BULGULAR: IOLmaster 700 biometri cihazı, Lenstar 900 biometri cihazı ile karşılaştırıldığında ölçüm süresi istatistiksel anlamda daha kısa idi ($p<0.001$). Her iki cihaz ölçümlerinde aksiyel uzunluk, ön kamara derinliği, lens kalınlığı ve keratometri değerleri (K1 ve K2) açısından istatistiksel anlamda fark yoktu (her bir değer için $p>0.05$ idi). Matur kataraktı olan 2 hastada Lenstar 900 cihazı ile ölçüm alınmazken IOLmaster 700 ile biometrik ölçüm alınabildi.

SONUÇ: IOLmaster 700 biometri cihazı ve Lenstar 900 biometri cihazı biometrik parametreler açısından benzer sonuçlara sahipken, ölçüm süresinin kısalığı ve yoğun kataraktı olan hastalarda biometrik ölçüm alınabilmesi açısından IOLmaster 700 optik biometri cihazı avantajlı gibi gözükmektedir.

Anahtar Kelimeler: Optik biometri, IOLmaster 700, lenstar 900, Keratometri

PS30 VERNAL KONJONKTİVİTE BAĞLI ‘SHIELD’ ÜLSER GELİŞEN BİR OLGU

Dilek Özkaya, Gülşah Usta, Umut Karaca

Süleyman Demirel Üniversitesi Tıp Fakültesi Göz Hastalıkları Ana Bilim Dalı, Isparta

AMAÇ: Oküler yüzeyin kronik ve allerjik inflamasyonu olan vernal konjonktivite bağlı shield ülser gelişen bir olguyu sunmak.

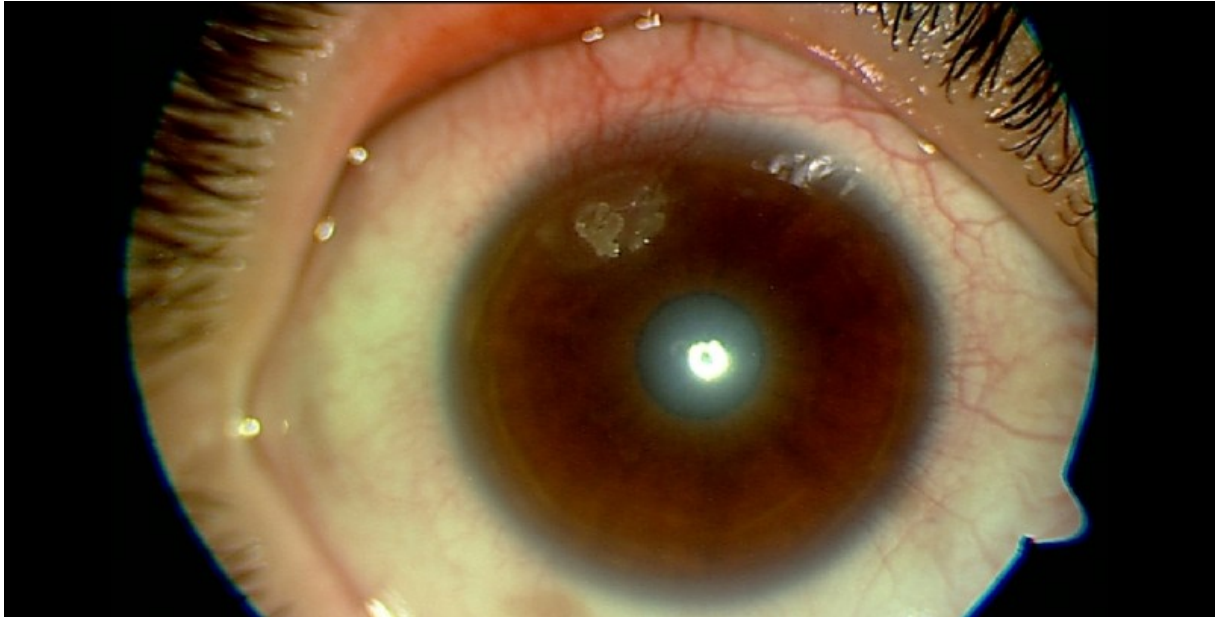
GEREÇ: Olgu sunumu

BULGULAR: Vernal konjonktivit tanısıyla mevsimsel ataklar geçiren 12 yaşındaki erkek hasta sağ gözünde batma, kaşıntı ve kızarıklık şikayetleri ile kliniğimize başvurdu. Hastanın oftalmolojik muayenesinde vizyonlar sağ gözde 0.7, sol gözde 1.0'dı. Biyomikroskopik muayenede sağ gözde konjonktiva hiperemikti, palpebral konjonktivada dev papiller yapılar mevcuttu, korneada saat 11-12 arasında limbus komşuluğunda 2x2 mm boyutlarında floresein boya tutan, tabanı ülser, üzerinde plak olan shield ülser (grade-3 shield ülser) mevcuttu. Sol gözde palpebral konjonktivada dev papiller yapılar dışında patolojik bulguya rastlanmadı. Hastanın anamnezinden 6 ay önce aynı şikayetlerle tedavi olduğu ve korneal debritleme yapıldığı öğrenildi. Hasta tedavide verilen topikal %0.1'lik siklosporin damlayı semptomları düzeldikten sonra kendi inisiyatifiyle kestğini ve 6 ay sonra şikayetlerinin tekrar ettiğini belirtti. Hastaya moksifloksasin 4x1, olapatadin 2x1, loteprednol 4x1 ve prezervansız suni gözyaşı 6x1 ile birlikte topikal %0.1'lik siklosporin 4x1 başlandı. Topikal anestezi altında korneal debritleme yapılarak ülser üzerindeki plak temizlendi. Takiplerinde hastanın semptomları düzeldi, vizyonlar her iki gözde 1.0'a ulaştı, korneal ülseri kapandı, ülser alanı opasite ve neovaskülarizasyon olarak skar kaldı. Hastaya tedaviye topikal %0.1'lik siklosporin damla 2x1 ile devam etmesi ve ilaçlarını kesmemesi önerildi.

SONUÇ: Vernal konjonktivit nadir görülen bir komplikasyonu olan shield ülser tedavisinde korneal debritleme ile birlikte topikal siklosporin faydalıdır. Vernal konjonktivite bağlı inflamasyon etkin bir şekilde baskılanamazsa shield ülser nüks edebilir.

Anahtar Kelimeler: Vernal konjonktivit, shield ülser, topikal siklosporin, korneal debritleme

Resim-1



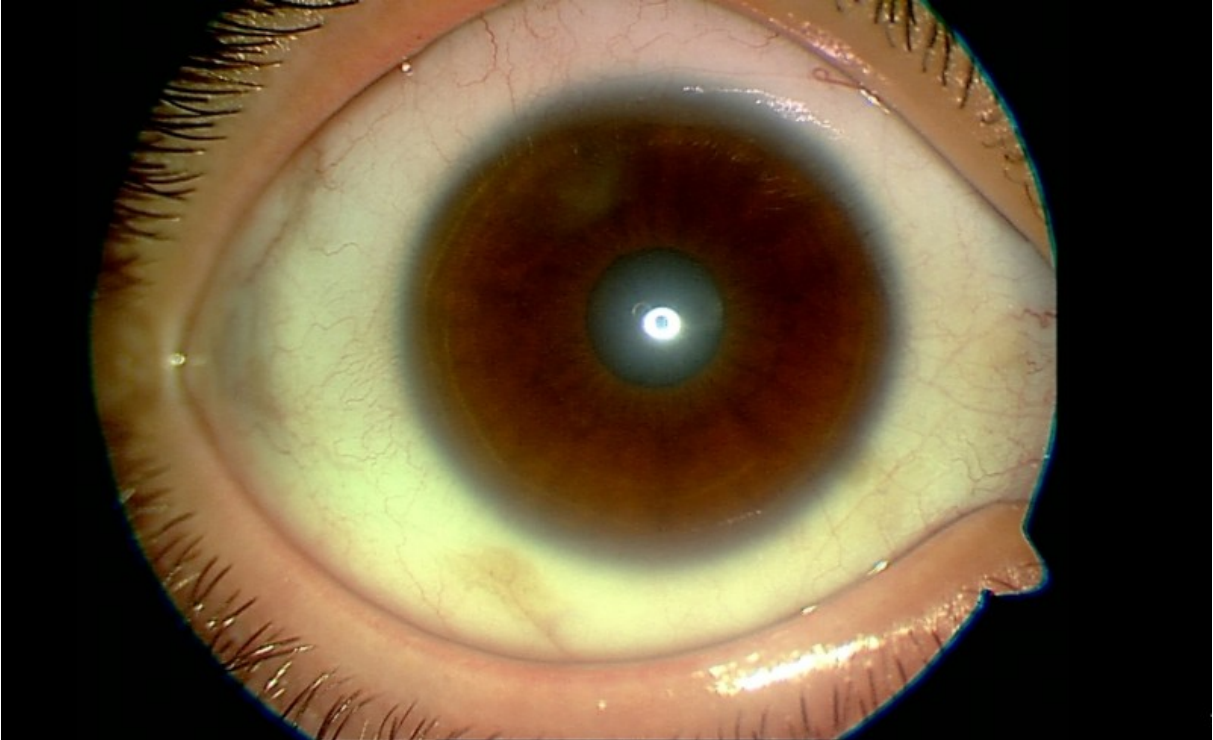
Korneada saat 11-12 arasında limbus komşuluğunda grade-3 shield ülser

Resim-2



Üst palpebral konjonktivada dev papiller yapılar

Resim-3



Tedaviden 3 ay sonra geçirilmiş shield ülserine bağlı korneal opasite

PS32 SUBCONJUNCTIVAL HEMORRHAGE FOLLOWING EXTRUSION OF SODIUM HYPOCHLORITE SOLUTION DURING ENDODONTIC TREATMENT

Gülsah Usta¹, Umut Karaca¹, Dilek Özkaya¹, Mesut Avcı¹, Muhammed Demirbaş², Bulem Üreyen Kaya²

¹Department of Ophthalmology, Faculty of Medicine, Suleyman Demirel University, Isparta, Turkey

²Department of Endodontics, Faculty of Dentistry, Suleyman Demirel University, Isparta, Turkey

AIM: We report a case of periorbital ecchymosis and subconjunctival hemorrhage following the extrusion of sodium hypochlorite solution during routine endodontic treatment

MATERIAL: This case report describes a complication that occurred during the dental treatment of a 43-year-old female who was undergoing root canal therapy for maxillary first premolar (tooth # 24) due to necrotic pulp. After local anesthesia and rubber dam isolation, access opening was done, and working length was determined by periapical radiograph. The patient experienced acute severe pain during root canal irrigation with 2.5% sodium hypochlorite (NaOCl) solution. The root canal preparation was discontinued immediately, and the root canal was irrigated with saline and temporarily dressed. Fifteen minutes later, extensive edema was seen on the ipsilateral periorbital area (Figure 1).

RESULTS: Antibiotic was prescribed against secondary infection and analgesic was also administered for pain control. The next day, her dentist noticed redness in her left eye, so she was referred to an ophthalmologist. Complete ophthalmologic examination revealed periorbital ecchymosis around the left eye (Figure 2) and subconjunctival hemorrhage lateral to the left bulbar conjunctiva (Figure 3). Hemolysis was responsible for profuse interstitial bleeding, probably causing immediate or secondary facial hematomas. The patient's bilateral vision was complete, and eye movements were free in all directions, and visual field examination was normal. Fundus examination was unremarkable. Ciprofloxacin, diclofenac sodium and sodium hyaluronate eye drop were prescribed for treatment.

CONCLUSION: Several cases in the literature have reported postoperative skin complications and altered nerve sensation arising from the use of sodium hypochlorite in endodontics (de Sermeño et al., 2009; Guivarc'h et al., 2017). However, to our knowledge, this would appear to be the first case of subconjunctival hemorrhage following extrusion of sodium hypochlorite solution.

Keywords: Endodontics, periorbital edema, sodium hypochlorite, subconjunctival hemorrhage

Figure 1



Periorbital edema

Figure 2



Original photograph of sodium hypochlorite accident, showing ecchymotic involvement of the eyelid and the angle of the mouth. (b) "Digital dissection" of the adipose tissues enables the underlying facial vein to be reviewed. Visible subconjunctival hemorrhage in the left eye.

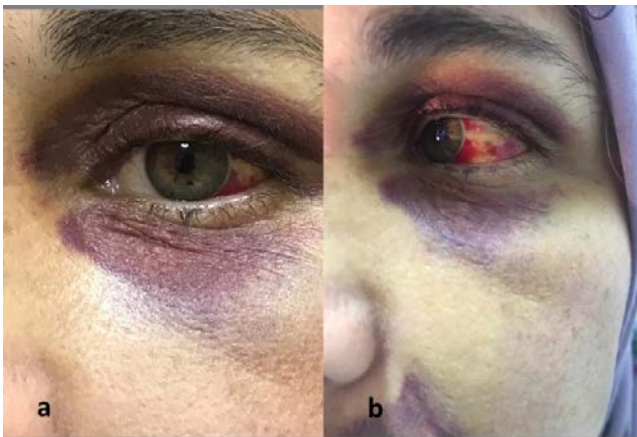


Figure 3

Subconjunctival hemorrhage

PS33 HİPOPARATİROİDİZM İLE RETİNAL MİKROVASKÜLARİTE İLİŞKİSİNİN DEĞERLENDİRİLMESİ

Hilal Kılınç Hekimsoy, Mehmet Ali Şekeroğlu
Ulucanlar Göz Eğitim ve Araştırma Hastanesi

AMAÇ: Tiroid cerrahisi sonrası gelişen kalıcı sekonder hipoparatiroidizmde retinal mikrovaskülaritenin optik koherens tomografi anjiyografi (OKTA) ölçümleri ile tespiti ve bu değerlerin sağlıklı bireylerle karşılaştırılması amaçlanmıştır.

GEREÇ: Kesitsel prospektif çalışmamıza 40 hipoparatiroidik hasta ile yaş ve cinsiyeti eşleştirilmiş 37 sağlıklı birey dahil edilmiştir. Detaylı oftalmolojik muayenenin ardından, OKTA (Optovue Inc., Fremont, Kaliforniya, ABD) ile foveal avasküler zon (FAZ), FAZ perimetre, FAZ avaskülarite indeksi, foveal dansite-300, radial peripapiller kapiller pleksus, superfisiyal ve derin kapiller pleksus damar dansitesi ölçülmüştür. İstatistiksel analizde hastaların sağ göz verileri kullanılmıştır.

BULGULAR: Ortalama yaşları 45.55 ± 10.98 (17-71) yıl ve ortalama hastalık süresi 8.33 ± 6.15 (1-22) yıl olan toplam 40 hastasının 30'unda (% 75) benign ve 10'unda (%25) malign tiroid patolojisi saptanmıştır. Peripapiller kapiller pleksus damar dansitesi hipoparatiroidik hastalarda sağlıklı kontrol grubuna göre istatistiksel olarak anlamlı düzeyde daha yüksek bulunmuştur ($p=0.012$). Superfisiyal foveal, parafoveal ve perifoveal damar dansitesi hipoparatiroidik hastalarda sağlıklı kontrol grubuna göre istatistiksel olarak anlamlı düzeyde daha düşük bulunmuştur (tümü için $p < 0.05$). FAZ, FAZ perimetre, FAZ avaskülarite indeksi, foveal dansite-300 değerlerinde ise istatistiksel olarak anlamlı bir fark bulunmamıştır (tümü için $p > 0.05$).

SONUÇ: Hipoparatiroidizm ile ilişkili göz bulguları katarakt ve papil ödemdir. Çalışmamızda hipoparatiroidizmi bulunan hastalarda klinik olarak tespit edilebilen bir optik disk ve retina patolojisi bulunmamasına rağmen peripapiller kapillerlerde damar dansitesi sağlıklı bireylerle karşılaştırıldığında daha yüksek bulunmuştur. OKTA papilödem gelişmeden önce subklinik değişiklikleri saptayabilmektedir.

Anahtar Kelimeler: Derin kapiller pleksus, hipoparatiroidizm, optik koherens tomografi anjiyografi, peripapiller kapiller pleksus, yüzeyel kapiller pleksus